

EVOLUCIÓN DE LOS MODELOS ANÁLOGOS (MA) A MDT PARA EL  
DEPARTAMENTO DE SANTANDER SOPORTADO SOBRE UN SID APLICADO  
A LA CUENCA DEL RÍO SUÁREZ

ELKIN BARBOSA ALVARADO

JOHN JAVIER MORALES ABUABARA

LILI PATRICIA SERRANO MANTILLA

UNIVERSIDAD INDUSTRIAL DE SANTANDER

FACULTAD DE INGENIERÍAS FÍSICO MECÁNICAS

ESCUELA DE INGENIERÍA CIVIL

BUCARAMANGA

2004

EVOLUCIÓN DE LOS MODELOS ANÁLOGOS (MA) A MDT PARA EL  
DEPARTAMENTO DE SANTANDER SOPORTADO SOBRE UN SID APLICADO  
A LA CUENCA DEL RÍO SUÁREZ

ELKIN BARBOSA ALVARADO

JOHN JAVIER MORALES ABUABARA

LILI PATRICIA SERRANO MANTILLA

Tesis como requisito para optar el título de ingeniero Civil

Director

Germán Eduardo Gavilán León

Ing. Civil, M.Sc., Ph.D

UNIVERSIDAD INDUSTRIAL DE SANTANDER

FACULTAD DE INGENIERÍAS FÍSICO MECÁNICAS

ESCUELA DE INGENIERÍA CIVIL

BUCARAMANGA

2004



*ELKIN*

*A Eduardo, por ser mi apoyo en esta larga jornada.*

*PATRICIA*



*JAVIER*

## AGRADECIMIENTOS

Los autores expresan sus agradecimientos a:

GERMÁN EDUARDO GAVILÁN LEÓN, Ingeniero Civil y director de la investigación, por su dedicación, orientación, y apoyo en la realización del proyecto.

GRUPO DE INVESTIGACIÓN GEOMÁTICA – GESTIÓN Y OPTIMIZACIÓN EN SISTEMAS, Escuela de Ingeniería Civil, por su colaboración en información, equipos, e instalaciones.

LUIS ALBERTO CAPACHO SILVA, Ingeniero Civil, por su gran aporte y colaboración.

EDDY DUARTE, Ingeniera de Sistemas, por su asesoría en el producto final de este proyecto.

A todos aquellos que contribuyeron en el desarrollo exitoso de este proyecto.

## CONTENIDO

### INTRODUCCIÓN

#### 1. PLANTEAMIENTO DEL PROBLEMA

##### 1.1 CARTOGRAFÍA EN PROYECTOS DE INGENIERÍA

##### 1.2 SISTEMAS DE INFORMACIÓN GEOGRÁFICA

### MODELOS DIGITALES DEL TERRENO

#### 2. MARCO TEÓRICO

##### 2.1 MODELOS DIGITALES DEL TERRENO

###### 2.1.1 Conceptos básicos

###### 2.1.2 Concepto y propiedades del MDT

###### 2.1.3 Estructura de datos en el MDT

###### 2.1.3.1 Estructura de datos vector

###### 2.1.3.2 Estructura de datos raster

###### 2.1.3.3 Ventajas y desventajas de los modelos vectorial y raster

###### 2.1.4 Tipos y aplicaciones

## 2.2 MODELOS DIGITALES DE ELEVACIÓN

### 2.2.1 Definición y estructura del MDE

### 2.2.2 Elaboración o construcción del MDE

#### 2.2.2.1 Obtención de la información

#### 2.2.2.2 Métodos de construcción del MDE

### 2.2.3 Aplicaciones

## 3. DEFINICIÓN Y ALCANCE DEL PROYECTO

### 3.1 OBJETIVOS

#### 3.1.1 Objetivo general

#### 3.1.2 Objetivos específicos

### 3.2 ALCANCE

### 3.3 ENTIDADES INTERESADAS

## 4. METODOLOGÍA

### 4.1 RECOPIACIÓN DE LA INFORMACIÓN

### 4.2 CONTROL DE CALIDAD DE LA INFORMACIÓN

### 4.3 PROCESAMIENTO DE LA INFORMACIÓN

#### 4.3.1 Unión de planos

#### 4.3.2 División hidrológica de la cuenca

4.3.3 Preparación de archivos para el software

4.3.4 Descripción del proceso de cálculo de ArcView

## 5. EJEMPLO DE APLICACIÓN

### 5.1 LOCALIZACIÓN Y EXTENSIÓN

### 5.2 CARACTERIZACIÓN FÍSICA DE CUENCAS HIDROGRÁFICAS

#### A PARTIR DE UN MDE

##### 5.2.1 Elevación

###### 5.2.1.1 Elevación media

###### 5.2.1.2 Elevación máxima

###### 5.2.1.3 Elevación mínima

###### 5.2.1.4 Elevación mediana

###### 5.2.1.5 Método de la curva Hipsométrica para definir la elevación

mediana

##### 5.2.2 Pendiente

##### 5.2.3 Parámetros de forma

###### 5.2.3.1 Coeficiente de forma

###### 5.2.3.2 Coeficiente de compacidad

###### 5.2.3.3 Coeficiente de masividad

## 5.2.4 Parámetros de la red de drenaje

### 5.2.4.1 Recorrido máximo

### 5.2.4.2 Orden

### 5.2.4.3 Orientación

### 5.2.4.4 Densidad de drenaje

### 5.2.4.5 Pendiente del cauce principal

## 5.2.5 Parámetros morfométricos adicionales

### 5.2.5.1 Relación de circularidad

### 5.2.5.2 Radio o relación de elongación

### 5.2.5.3 Índice de alargamiento

### 5.2.5.4 Rectángulo equivalente

### 5.2.5.5 Índice asimétrico

### 5.2.5.6 Alejamiento medio

### 5.2.5.7 Sinuosidad

### 5.2.5.8 Tiempo de concentración

## 5.3 OBTENCIÓN DE PARÁMETROS A PARTIR DEL MDE

### 5.3.1 Sumideros

### 5.3.2 Dirección de flujo

5.3.3 Flujo acumulado

5.3.4 Delimitación del área subsidiaria

5.3.5 Red de drenaje

5.4 OBSERVACIONES, PROBLEMAS Y SOLUCIONES

5.4.1 Error por no llenado de sumideros

5.4.2 Error debido a las curvas de nivel

5.4.3 Error por la no continuidad de ríos

5.4.4 Error por la no colocación de puntos en la red de drenaje

5.4.5 Error por topografía irregular

5.4.6 Error en el trazado del parteaguas

6. RESULTADOS

6.1 RESULTADOS OBTENIDOS A PARTIR DEL EJEMPLO DE

APLICACIÓN

6.1.1 Generalidades

6.1.2 Caracterización física de la cuenca

6.1.3 Análisis de resultados

6.2 CONSTRUCCIÓN DE LA BASE DE DATOS

6.2.1 Conceptos básicos

6.2.2 Diseño de la base de datos

6.2.3 Creación de la base de datos

6.3 DISEÑO Y CREACIÓN DEL SITIO WEB

6.3.1 Uso de PHP y MySQL

6.3.2 Descripción del sitio web

6.3.3 Distribución, edición y mantenimiento

7. OBSERVACIONES

8. CONCLUSIONES

BIBLIOGRAFÍA

ANEXOS

## LISTA DE TABLAS

**Tabla 1** Relación de la información inicial y la trabajada a nivel de planchas

IGAC para cada una de las cuencas y clasificada según el formato

**Tabla 2** Distribución de las planchas para la cuenca del río Suárez en cuanto

a localización

**Tabla 3** Listado de las planchas IGAC con su localización y formato

**Tabla 4** Distribución de las planchas utilizadas en la zona de estudio

**Tabla 5** Listado de las planchas reales trabajadas por zona de estudio

**Tabla 6** Listado donde se relacionan las planchas con su fuente de adquisición

48

**Tabla 7** Planchas con restitución cartográfica en la zona de estudio

**Tabla 8** Listado donde se mencionan las cuencas de primera y segunda

división de la cuenca del Río Suárez

**Tabla 9** Codificación de la primera y segunda división de la cuenca del Río Suárez

64

**Tabla 10** Características de los valores de  $K_f$

**Tabla 11** Forma de la cuenca, según valores de  $K_c$

**Tabla 12** Resumen de los parámetros de forma

<b>Tabla 13</b> Otras formulas para calcular el tiempo de concentración	
<b>Tabla 14</b> Resumen de los parámetros morfométricos, según su método de calculo	94
<b>Tabla 15</b> Ficha técnica de las planchas IGAC, para la plancha 120-III-D.	112
<b>Tabla 16</b> Ficha técnica de la cuenca principal, para la cuenca del río Suárez	113
<b>Tabla 17</b> Ficha técnica de las cuencas de primera división, para la cuenca del río Lenguaruco perteneciente al río Suárez	
<b>Tabla 18</b> Ficha técnica de las cuencas de primera división de la cuenca del río Tolotá	115

#### LISTA DE FIGURAS

<b>Figura 1</b> Esquema de componentes básicos de un Sistema de Información Geográfica	
<b>Figura 2</b> Modelo vectorial	
<b>Figura 3</b> Modelo raster	
<b>Figura 4</b> Modelo de contornos utilizado para describir la superficie de la Subcuenca Quebrada La Vega perteneciente a la cuenca del Río Suárez (Santander)	
<b>Figura 5</b> Vista de la triangulación proveniente de una estructura TIN aplicado	

a la topografía de la Subcuenca Quebrada La Vega perteneciente a la cuenca del Río Suárez (Santander) donde la variable estudiada es la elevación

**Figura 6** Vista de la superficie del terreno proveniente de una estructura

TIN aplicado a la topografía de la Subcuenca Quebrada La Vega perteneciente

a la cuenca del Río Suárez (Santander) donde la variable estudiada es la elevación.

**Figura 7** Ejemplo de representación de un plano a formato raster y

codificación de la información de cada celda o pixel

**Figura 8** Representación gráfica de la técnica de subdivisión utilizado

por el modelo raster de las matrices jerárquicas o Quadrees

**Figura 9** Vista 3D de un volcán antes y después de su erupción

**Figura 10** División hidrológica del Departamento de Santander

**Figura 11** Área real trabajada para la Cuenca del Río Suárez

**Figura 12** Distribución de planchas IGAC para la cuenca del Río Suárez

35

**Figura 13** Distribución inicial de las planchas para las cuencas de los principales afluentes del departamento de Santander

**Figura 14** Distribución de las planchas para las cuencas trabajadas del departamento de Santander

**Figura 15** Distribución de las planchas de acuerdo a su localización

**Figura 16** Planchas utilizadas en el estudio de la Cuenca Baja del Río

Suárez

**Figura 17** Planchas encontradas en formato digital y planchas digitalizadas

47

**Figura 18** Curva de nivel no continua (caso1)

**Figura 19** Curva de nivel no continua (caso 2)

**Figura 20** Nodo final de la línea que no coincide con el nodo al que debería

llegar

**Figura 21** Nodo final de la línea que se pasa del nodo al que debería llegar

51

**Figura 22** Ejemplo de una laguna que no es un polígono cerrado

**Figura 23** Ejemplo donde otros elementos diferentes de las curvas de nivel

tenían elevación

**Figura 24** Ejemplo de Reconstrucción de la Información Cartográfica

**Figura 25** Ejemplo de Restitución de la Información Cartográfica

**Figura 26** Unión de los planos 136-IV-A y 137-III-B (caso1)

**Figura 27** Unión de las planchas 121-III-A y 121-III-B (caso 2)

**Figura 28** Unión las planchas 121-III-A y 121-III-B (caso 3)

**Figura 29** Codificación de las cuencas principales del departamento de

Santander

**Figura 30** Esquema de la organización de los archivos de AutoCAD

**Figura 31** Estructura de la organización de los archivos dwf y dwg

**Figura 32** Esquema de la organización de los archivos

**Figura 33** Estructura de las carpetas con la información necesaria

para la utilización de ArcView

**Figura 34** Estructura de las carpetas finalizado el modelamiento de

la cuenca principal y las de primera y segunda división

**Figura 35** Vistas y temas que se visualizan al finalizar la aplicación

**Figura 36** Localización de la cuenca del Río Suárez

**Figura 37** Límites geográficos de la Cuenca del Río Suárez

**Figura 38** Ejemplo de curva hipsométrica de la microcuenca Río

Chino Tenó perteneciente a la Cuenca del Río Suárez

**Figura 39** Ejemplo de una red de drenaje

**Figura 40** Ejemplo del cálculo del orden de la red de drenaje

**Figura 41** Ejemplo de llenado de un sumidero

**Figura 42** Código de direcciones de flujo

**Figura 43** Asignación de la dirección de flujo para una celda teniendo

en cuenta la elevación de las celdas adyacentes

**Figura 44** Distribución de direcciones de flujo para todas las celdas del modelo

**Figura 45** Ejemplo de direcciones de flujo normal Microcuenca Río Chino Teno

**Figura 46** Ejemplo de dirección de flujo forzado Microcuenca Río Chino Teno

100

**Figura 47** Ejemplo del flujo acumulado de la Microcuenca Chino Teno con detalle en el punto de drenaje

**Figura 48** Comparación entre el parteaguas trazados en AutoCAD y ArcView para la Microcuenca del Río Chino Teno

**Figura 49** Comparación de la red de drenaje de AutoCAD con la de ArcView para la Microcuenca Río Chino Teno

**Figura 50** Ejemplo del error por no llenar los sumideros en la Microcuenca Río Chuqueque perteneciente a la Cuenca del Río Suárez

**Figura 51** Ejemplo de error por la discontinuidad de los ríos de la Microcuenca Río Chino Teno perteneciente a la Cuenca del Río Suárez

**Figura 52** Error por la falta de puntos en la red de drenaje de la Microcuenca Río Chino Teno perteneciente a la Cuenca del Río Suárez

**Figura 53** Ejemplo de error por ríos sinuosos

**Figura 54** Error en el trazado del parteaguas por omitir los ríos vecinos

**Figura 55** Localización de la cuenca del Río Suárez

**Figura 56** División municipal de la cuenca del Río Suárez

**Figura 57** Límites de la cuenca del Río Suárez

**Figura 58** División hidrológica de la cuenca del río Suárez

**Figura 59** Ubicación de las segundas divisiones que no se modelaron para la cuenca baja del Río Suárez

**Figura 60** Distribución espacial de la elevación media de la cuenca del río Suárez 123

**Figura 61** Distribución espacial de la pendiente media de la cuenca del río Suárez 124

**Figura 62** Distribución espacial del coeficiente de forma de la cuenca del río Suárez 125

**Figura 63** Distribución espacial del coeficiente de compacidad de la cuenca del río Suárez

**Figura 64** Distribución espacial del coeficiente de masividad de la cuenca del río Suárez

**Figura 65** Distribución espacial de la densidad de drenaje de la cuenca del río Suárez 128

**Figura 66** Distribución espacial del tiempo de concentración de la cuenca del río Suárez

**Figura 67** Modelo entidad relación de la base de datos aplicada al proyecto

132

**Figura 68** Mapa del sitio Web HidroAtlas – Departamento de Santander

## LISTA DE ANEXOS

**ANEXO A** Distribución de capas según los lineamientos del IGAC.

**ANEXO B** División hidrológica de la cuenca baja del Río Suárez.

**ANEXO C** Parámetros morfométricos relacionados con la cuenca para las segundas divisiones de la cuenca baja del Río Suárez.

**ANEXO D** Parámetros morfométricos relacionados con la red de drenaje para las segundas divisiones de la cuenca baja del Río Suárez

## GLOSARIO

**ALEJAMIENTO MEDIO:** la relación del curso de agua más largo con la superficie de la cuenca.

**BASE DE DATOS:** es una colección de datos representados mediante una estructura que permite interrelacionarlos entre sí.

**CARTOGRAFÍA:** arte y ciencia de trazar mapas.

**CARTOGRAFÍA BÁSICA O CONVENCIONAL:** constituye la representación de las características, propiedades y objetos presentes en una zona mediante símbolos y convenciones gráficas. La información corresponde a elementos como puntos de control, catastro, transporte, vegetación, hidrografía, relieve y delimitación de áreas importantes.

**CARTOGRAFÍA TEMÁTICA:** constituye la representación de una propiedad presente en una zona mediante una distribución espacial dividida en intervalos o franjas. Por ejemplo, se tienen mapas temáticos de población, profundidad, elevación, pisos térmicos, amenaza sísmica, etc.

**CATASTRO:** Conjunto de operaciones topográficas necesarias para el levantamiento de planos, en el que se señalan los límites de las propiedades rurales y urbanas.

**COEFICIENTE DE FORMA:** cociente entre la superficie de la cuenca y el cuadrado de su longitud.

**COEFICIENTE DE MASIVIDAD:** cociente entre la elevación media de la cuenca y su respectiva área.

**CONFLUENCIA:** Lugar en el cuál un río tributario o afluente se une al curso fluvial principal.

**CUENCA:** se denomina cuenca hidrográfica, o cuenca de drenaje de un río o corriente de agua al área topográfica limitada por un contorno al interior del cual las aguas lluvias que caen drenan hacia el mismo punto, ya sea de salida o de interés particular.

**DBMS - DATA BASE MANAGEMENT SYSTEM:** Sistema de Administración de Base de Datos. Es el programa que facilita la interacción de la base de datos con el administrador.

**DEPURAR:** detectar, localizar y corregir una avería o arreglar un sistema que no funciona.

**DIRECCIÓN DE FLUJO:** camino de descenso que tomaría el agua precipitada para cada celda en función de la máxima pendiente de descenso.

**ELEVACIÓN:** variación altitudinal de la cuenca hidrográfica e incide directamente sobre el clima y por tanto sobre el régimen hidrológico.

**ELEVACIÓN MÁXIMA:** es aquella altitud correspondiente al punto más alto de la cuenca hidrográfica.

**ELEVACIÓN MEDIA:** es el promedio aritmético de los valores de elevación de diferentes puntos que pertenecen a la superficie de la cuenca.

**ELEVACIÓN MEDIANA:** Es aquella altitud correspondiente al 50% del área total de la cuenca y está determinada por el método de la curva hipsométrica.

**ELEVACIÓN MÍNIMA:** es aquella altitud correspondiente al punto más bajo de la cuenca hidrográfica.

**ENTIDAD:** es una unidad de almacenamiento de información en una base de datos, con nombre y contenido definidos.

**ESTRUCTURA RASTER:** estructura de datos donde las características físicas del terreno se representan por medio de una matriz que contiene celdas rectangulares o cuadradas llamadas píxeles.

**ESTRUCTURA VECTORIAL:** estructura de datos donde las características geográficas del terreno son representadas por puntos, líneas y polígonos.

**FLUJO ACUMULADO:** proceso consistente en analizar en sentido horizontal de la matriz de datos, cada una de las celdas con respecto a sus ocho celdas vecinas, procesando cuantas celdas aportan a una celda determinada y procediendo a contabilizar y almacenar el número de celdas portantes.

**FOTOGRAFETRÍA:** ciencia desarrollada para obtener medidas reales a partir de fotografías, tanto terrestres como aéreas, para realizar mapas topográficos.

**ÍNDICE DE COMPACIDAD:** relación entre el perímetro de la cuenca y el perímetro de un círculo de igual área que la cuenca.

**MATRIZ JERÁRQUICA:** tipo de estructura de datos raster que se basa en la técnica de dividir un plano en cuadrantes y si los objetos que se desean modelar aparecen en una determinada celda, ésta continúa subdividiéndose en cierta cantidad de cuadrantes hasta llegar a una resolución determinada.

**MATRIZ REGULAR:** tipo de estructura de datos raster que es el resultado de dividir cualquier superficie en pequeñas celdas que pueden ser cuadradas o rectangulares, las cuales toman valores numéricos representando objetos geográficos del terreno.

**MDE - MODELO DIGITAL DE ELEVACIÓN:** es una estructura de datos que representa la distribución espacial de la elevación de la superficie en forma cualitativa y continua.

**MDT - MODELO DIGITAL DEL TERRENO:** es una estructura de datos que representa la distribución espacial de una variable cualitativa y continua.

**MODELO:** es una representación simplificada de la realidad en la que aparecen algunas de sus propiedades.

**MODELO ANALÓGICO:** es un modelo físico en el que las características de los objetos se representan por medio de convenciones gráficas que facilitan la lectura e interpretación de sus propiedades. Ejemplo: mapas impresos.

**MODELO DE CONTORNOS:** tipo de dato vectorial formado por vectores de  $n$  – pares de puntos utilizados para enmarcar la forma o contorno de líneas que tienen un mismo valor (líneas isométricas).

**MODELO DE ISOHIPSAS:** llamado también modelo de contornos. Ver definición de modelo de contornos.

**MODELOS ICÓNICOS:** es un modelo donde se hace una reducción a escala conservando las propiedades morfométricas del objeto real bajo la limitación de no poder representar todas sus propiedades en algunos casos. Ejemplo: maquetas.

**MODELO ENTIDAD-RELACIÓN:** el esquema conceptual que constituye la esencia lógica de una base de datos en el que se definen las entidades y su relación entre si.

**MORFOMETRÍA:** Sistema de mediciones de los rasgos fundamentales externos del relieve. (Pendientes, cursos fluviales, cuencas etc.)

**MySQL:** es un programa que interpreta el lenguaje estructurado de consultas SQL y permite la administración y edición de la base de datos.

**PENDIENTE:** es el indicador del grado de inclinación de la cuenca hidrográfica.

**PENDIENTE MEDIA:** ponderado de las pendientes medias de áreas entre curvas de nivel.

**PHP - PERSONAL HOME PAGE:** es un lenguaje de programación de lado del servidor que facilita la creación de código html, conexión con la base de datos, generación de gráficos e imágenes, e impresión de documentos en formato pdf, entre muchas otras funciones.

**QUADTREES:** llamada también matriz jerárquica. Ver definición de matriz jerárquica.

**SCRIPT:** es un conjunto de archivos que contienen, en un lenguaje más o menos parecido a C, unos comandos y/o eventos programados por alguien.

**SERVIDOR:** es un programa de aplicación alojado en un ordenador que satisface las solicitudes HTTP realizadas por navegadores de internet.

**SID - SISTEMA DE INFORMACIÓN DISTRIBUIDO:** es un sistema de información en el cual se integra una base de datos a un sitio Web orientado a operaciones de búsqueda y consulta.

**SIG - SISTEMA DE INFORMACIÓN GEOGRÁFICA:** es un sistema integrado de hardware, software, datos, recurso humano y un conjunto de procedimientos que permiten la captura, administración, almacenamiento, manipulación, análisis y despliegue de datos referenciados espacialmente para dar solución a propósitos específicos.

**SQL - STRUCTURED QUERY LANGUAGE:** Lenguaje Estructurado de Consultas. Es un lenguaje estándar de comunicación con bases de datos.

**SUMIDERO:** celdas bajas con respecto a sus ocho celdas vecinas que se pueden encontrar distribuidas en cualquier parte del área de la cuenca.

**TABLETA DIGITALIZADORA:** rectángulo plano de plástico con componentes electrónicos bajo su superficie, que se utiliza junto con un dispositivo señalador en muchas aplicaciones de ingeniería y diseño y en trabajos de ilustración.

**TIN - TRIANGULATED IRREGULAR NETWORK:** Red Irregular de Triángulos. Es una estructura de datos de tipo vectorial formada por un conjunto de triángulos unidos que caracterizan la superficie terrestre, quedando de esta manera la topografía representada por una red completa de caras planas.

## RESUMEN

**TÍTULO:** EVOLUCIÓN DE LOS MODELOS ANÁLOGOS (MA) A MDT PARA EL DEPARTAMENTO DE SANTANDER SOPORTADO SOBRE UN SID APLICADO A LA CUENCA DEL RÍO SUÁREZ. □\*

### **AUTORES:**

BARBOSA ALVARADO, Elkin. MORALES ABUABARA, John Javier. SERRANO MANTILLA, Lili Patricia.\*\*

**PALABRAS CLAVES:** Sistema de Información Distribuido (SID), Modelo Digital del Terreno (MDT), Modelo Análogo (MA), Modelo Digital de Elevación (MDE), Modelo raster, Modelo vectorial, Base de datos distribuidos, Parámetros morfométricos, Cuenca, Río Suárez.

### **DESCRIPCIÓN**

Los Modelos Digitales del Terreno (MDT) son una herramienta práctica que tienen gran aplicabilidad en diversas áreas del saber, (medicina, biología, comunicaciones, entre otras áreas). En lo referente a la ingeniería se ha evolucionado de manera considerable en la optimización y el manejo de datos a gran escala. Esta capacidad permite reemplazar el

---

\* Proyecto de grado

\*\* Facultad de Ingenierías Físico Mecánicas, Escuela de Ingeniería Civil, Gavilán León Germán Eduardo

manejo tradicional de los planos en ingeniería a través de Modelos Análogos (MA) con MDT.

En el presente proyecto se desarrolló el MDT de Santander y a partir de este se efectuó una caracterización hidrológica del departamento, para lo cual fue necesario dividir el área total del departamento (30537 Km<sup>2</sup>) en siete cuencas que corresponden a sus principales afluentes: Carare, Chicamocha, Fonce, Opón, Sogamoso, Suárez y Lebrija (no se trabajó por logística).

Este proceso exigió la manipulación (digitalización, restitución y depuración) de 223 planchas cartográficas del IGAC a escala 1:25000. Los resultados de la caracterización hidrológica fueron los referentes a elevación, pendiente, tiempo de concentración, forma y sistema de drenaje de las cuencas. La magnitud del proyecto y la valiosa información obtenida exigió la estructuración de una base de datos, que permitiera el fácil manejo y acceso a la misma a través de un Sistema de Información Distribuido (SID). El MDT generado en el presente trabajo abre las puertas para que se puedan desarrollar estudios en diversas áreas que requiera información codificada que facilite, agilice obtención de resultados.

## ABSTRACT

**TITLE:** EVOLUTION FROM AM TO DTM FOR THE STATE OF SANTANDER  
BASED ON A DIS APPLIED TO THE SUÁREZ RIVER WATERSHED.\*

## **AUTHORS:**

BARBOSA ALVARADO, Elkin. MORALES ABUABARA Jhon Javier. SERRANO  
MANTILLA, Lili Patricia\*\*.

**KEYWORDS:** Distributed Information System (DIS), Digital Terrain Model (DTM),  
Analog Model (AM), Digital Elevation Model (DEM), Raster Model, Vector Model,  
Distributed Database, Morphometric Parameters, Watershed, Suárez River.

## **DESCRIPTION:**

Digital Terrain Models (DTM) are tools with great applicability in different areas (medicine, biology, communications among other areas). In the Engineering area it has gone through a lot of new developments optimizing the way great scale problems are

---

\* Grade project.

\*\* Physics Mechanics Engineering Faculty, Civil Engineering School, Gavilán León Germán Eduardo.

handled. This capacity allows the replacement with DTM of the traditional way analog drawings are handle.

On this project a DTM of Santander was developed and a hydrologic characterization from this DTM was done. The state of Santander area (30537 Km<sup>2</sup>) was divided in seven watersheds which correspond to the main rivers: Carare, Chicamocha, Fonce, Opón, Sogamoso, Suárez and Lebrija (this one was not worked out due to the fact of logistic problems).

During this process a total of 223, 1:25000 scale cartographic drawing from the IGAC were digitalized, restituted and depurated. Results from the hydrologic characterization were: elevation, slope, concentration time, and drainage system. The quality and magnitude of the project required the design of a database for handling and accessing the information through a Distributed Information System (DIS).

The DTMs generated on this project open the doors for the development of new research on diverse areas that require coded information to makes easier and optimize the way results are obtained.

## INTRODUCCIÓN

En el ejercicio de su profesión el hombre se enfrenta comúnmente a proyectos de gran escala que implican la recopilación de grandes volúmenes de información. Tradicionalmente esta se ha utilizado en formato impreso por su manejo práctico y facilidad de adquisición. Sin embargo, las desventajas propias de manipular información impresa no permiten realizar estudios con un alto grado de complejidad ni garantizan la obtención de resultados en forma rápida y confiable. La creciente necesidad de realizar análisis complejos influye de manera directa en que los avances de los medios informáticos tienden a mejorar el manejo de la información. Con la aparición de sistemas y modelos digitales se puede vincular información gráfica y alfanumérica aumentando las posibilidades de encontrar soluciones cercanas a la realidad.

Este proyecto orientado a la caracterización física, geográfica e hidrográfica de la cuenca del río Suárez exige un tratamiento especial de la información cartográfica de la zona en estudio que incluye su recopilación, revisión, procesamiento, organización y manipulación. Estas actividades se realizan para diferentes tipos de información que involucran varios procedimientos y estos a su vez se relacionan con distintas herramientas informáticas. Además se hace necesario utilizar datos específicos y métodos de cálculo soportados sobre algoritmos numéricos que permiten obtener información adicional y establecer observaciones y conclusiones.

La publicación de los resultados en un medio de fácil acceso y administración implica el diseño y construcción de una base de datos debido a la gran cantidad de información derivada de los procesos descritos anteriormente con vínculo a sitios Web dinámicos. Por último, para la realización de este proyecto se necesitan amplios conocimientos previos en diferentes disciplinas para desarrollar la metodología de trabajo, la definición de reglas claras y estrictas para la coordinación y control de las actividades y la logística adecuada para garantizar un trabajo de alta calidad y reconocimiento.

## **PLANTEAMIENTO DEL PROBLEMA**

A través del tiempo el hombre en el intento de modelar los procesos físicos que suceden en su entorno, se ha visto limitado por el número de variables relacionadas y su grado de complejidad. Esto ha constituido siempre un reto para el hombre y su conocimiento, llevándolo a buscar solución en el uso de todos los medios disponibles a su alcance sin encontrar una respuesta satisfactoria. Por ejemplo, para dar solución a problemas relacionados con la ubicación de los elementos geográficos, inicialmente se han utilizado mapas descriptivos con escasa información, pero la evolución del hombre ha dado lugar a un mejoramiento completo en ciencias como la cartografía, convirtiendo a los mapas impresos en una buena herramienta para almacenar y consultar datos geográficos así como para dar respuesta a problemas donde el manejo práctico de la información sea uno de sus requerimientos.

Aunque el manejo de la información en formato impreso sea de gran ayuda para problemas específicos, no siempre en todos los casos se logra una respuesta satisfactoria al problema planteado. Los inconvenientes se derivan propiamente de su naturaleza impresa, no se puede lograr un manejo práctico de la información si los proyectos son de gran magnitud, ya que el volumen de información necesaria para desarrollarlo sería inmanejable en esas circunstancias. Así mismo no puede hablarse de estudios con cierto grado de dificultad, teniendo en cuenta que los planos impresos son funcionales en procedimientos de lectura o inspección visual, medición aproximada de algunos de sus elementos, pero en ningún caso permite una manipulación de la información de tal forma que pueda generarse cualquier resultado de forma ágil y exacta.

Los inconvenientes que presenta la utilización de planos impresos, descartan su uso en algunos problemas de ingeniería. Es evidente que en estos casos, la información debe manejarse en forma rápida y eficiente con el fin de obtener los resultados esperados en menos tiempo y con la seguridad de que son los más cercanos y fieles a la realidad. En este capítulo se hace una recopilación de las formas en que se ha manejado la información a través del tiempo, la manera cómo se ha dado respuesta al creciente número de

requisitos y se han superado limitaciones que impiden el desarrollo óptimo de cualquier proyecto de ingeniería.

### **Cartografía en proyectos de ingeniería**

Tradicionalmente la información, en especial la información geográfica, ha sido representada en modelos analógicos para su análisis y manipulación. Un ejemplo de un modelo analógico es un mapa impreso, en el que se representan las características de los objetos por medio de convenciones gráficas que facilitan la lectura e interpretación de sus propiedades. Estos mapas hacen parte de lo que se conoce como cartografía convencional.

La posibilidad de obtener la información impresa de una forma rápida y sencilla y el manejo práctico que se le puede dar a la misma, hace de la información cartográfica una fuente efectiva para la interpretación visual, medición u otro procedimiento manual en el desarrollo de proyectos de ingeniería.

A pesar de todos los beneficios por los cuales se han empleado tradicionalmente los formatos impresos, existen desventajas al momento de trabajar proyectos a gran escala. Dichas desventajas son:

1. La información geográfica que maneja la cartografía impresa es estática, es decir, no permite la actualización, duplicación, edición y generación de nueva información.
2. La dificultad de manipular la información en forma directa.
3. La imposibilidad de realizar procesos de análisis complejos.
4. La incapacidad de obtener resultados complejos sobre un elemento en particular y de generar nueva información mediante el análisis o la combinación de varios tipos de información.

Considerando las desventajas que se derivan del uso de la cartografía análoga, y en especial de los mapas convencionales, se ve la necesidad de encontrar la forma de traducir esta información a un formato que posibilite su tratamiento numérico, con el fin de realizar operaciones con los datos de una manera más ágil, procesos de manipulación más organizados y eficaces, y combinar dos o más tipos de información, a través de herramientas o algoritmos matemáticos soportados en programas de computador. El formato que se caracteriza por tener una estructura de datos numérica, donde la codificación de los elementos no obedece sólo a la representación gráfica sino a relaciones internas y puede manejarse a través de medios informáticos, es el formato digital.

La información geográfica representada en un formato digital posee gran cantidad de ventajas que se derivan propiamente de su naturaleza numérica. Se pueden mencionar las siguientes:

Debido a su proceso de codificación, la información puede representarse virtualmente a través de cualquier medio informático.

Cada uno de los elementos tiene propiedades y valores específicos.

Su estructura permite desarrollar una gran capacidad de almacenamiento de la información. Permite generar nueva información mediante el análisis y manipulación de los datos, o mediante la combinación o superposición de la dos o más tipos de información.

1. La capacidad de obtener resultados sobre un elemento en particular de una manera más ágil que la convencional.
2. Se facilitan los procesos de edición, duplicación, actualización y creación de nueva información.

Aunque los beneficios son evidentes y parece ser el formato más útil y recomendable para la solución de proyectos de gran envergadura, el formato digital tiene sus limitaciones. Primero, el software utilizado para procesarla, no siempre es el más adecuado para cumplir con los objetivos que se pretende alcanzar. Segundo, el hardware o equipo, está limitado por su capacidad de memoria necesaria para manejar grandes volúmenes de información. Tercero, la información se ve limitada principalmente por su tamaño y calidad; la información geográfica tradicional se traduce al formato digital mediante diferentes procedimientos de captura de datos, entre ellos la digitalización manual; al efectuar este proceso, el tamaño en disco de cualquier archivo puede ser exagerado si las necesidades de calidad y resolución son altas, así mismo, la calidad y exactitud de la información depende tanto de la naturaleza del mapa impreso como del proceso manual como tal. Y cuarto, el costo. Cuando se realiza cualquier estudio, adquirir las licencias de software necesarias y obtener información digital implica un costo muy elevado, y se requiere de equipos de altas especificaciones técnicas y personal altamente calificado.

Teniendo en cuenta que para la ejecución de un proyecto en particular, el manejo de la información no sólo involucra la representación gráfica de los datos, sino que además considera las propiedades asociadas a los mismos, se ve la necesidad de desarrollar una herramienta que integre estos dos o más tipos de información cuando sea necesario. Como respuesta a esta necesidad nacen los Sistemas de Información Geográfica (SIG), los cuales se caracterizan por ser capaces de asociar diferentes formatos digitales, realizar y facilitar los procesos de análisis y permitir la integración de nuevas herramientas para optimizar y agilizar los resultados.

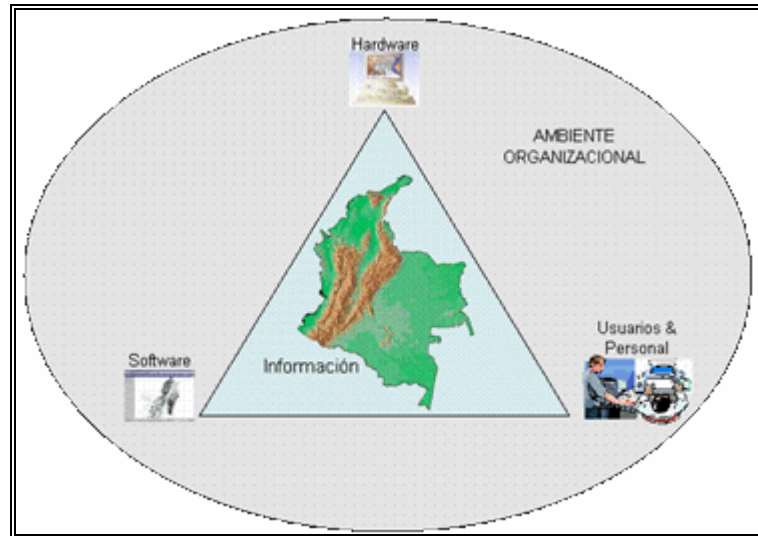
### **Sistemas de Información Geográfica (SIG)**

Un SIG es un sistema integrado de hardware, software, datos, recurso humano y un conjunto de procedimientos que permiten la captura, administración, almacenamiento, manipulación, análisis y despliegue de datos referenciados espacialmente para dar solución a propósitos específicos. (Ver figura 1).

El hardware es el equipo o componente físico del sistema con el cual opera el SIG, se compone tanto de una estación o PC como de una serie de dispositivos para la entrada y salida de datos. El software de un SIG proporciona las herramientas y funciones necesarias

para almacenar, analizar y desplegar la información geográfica. Los datos son el componente más importante de un SIG y su obtención es la base para su implementación y posterior funcionamiento. El recurso humano en un SIG está compuesto por el personal especializado y los usuarios, los primeros trabajan en la implementación del SIG (introducción de datos, programación, actualización, análisis, administración, corrección, etc.) y los segundos son aquellos que en algún momento requieren la información una vez el sistema se encuentra en operación. Y por último, el conjunto de procedimientos o métodos que se refieren a reglas o normas específicas que permiten un buen desarrollo del SIG.

Figura 1. Esquema de componentes básicos de un Sistema de Información Geográfica



Tomado de UNISIG. Unidad de sistemas de información geográfica [online].  
<URL:<http://www.humboldt.org.co/sig/queesunsig.html>>

Aunque en los años cincuenta hayan existido una serie de antecedentes, es en los años 1960 y 1970 donde surgieron nuevas tendencias en la forma de usar mapas para la valoración de recursos y planificación. En esa época se desarrolla por primera vez un sistema informático que trabaja con datos geográficos orientado principalmente a la evaluación y planificación del uso de la tierra. Este constituye uno de los primeros avances en la carrera tecnológica del SIG, aún así considerando que en esa época los procesos más complejos se reducían a la simple superposición de mapas.

A finales de la década de 1970, se empieza a aplicar la tecnología del computador al desarrollo de programas dirigidos hacia la automatización del trabajo cartográfico. Esta producción automática del dibujo se basa en el diseño asistido por computador (CAD), el cual maneja la información espacial por medio de entidades gráficas organizadas en capas de visualización. Al mismo tiempo se inicia un desarrollo paralelo de las disciplinas para la captura, el análisis y la representación de los datos en áreas como catastro, topografía, ingeniería civil, geografía, planeación urbana y rural, implicando la duplicidad de esfuerzos pero aumentado también la posibilidad de generar sistemas de información más integrales.

En los 80's se ve la expansión del uso de los SIG, facilitado por la comercialización de un gran número de herramientas de dibujo y de diseño, una generalización de las bases de datos relacionales como soporte al análisis y manipulación de la información, y la aplicación en cualquier disciplina que necesite la integración de planos cartográficos y las bases de datos con sus atributos y características de cada uno de los elementos. Los años 90 se caracterizan por la aceptación en el uso de nuevas tecnologías y la expansión a nuevos campos de acción; el uso de ordenadores de gran capacidad y accesibles a un costo

no muy elevado, los avances en las telecomunicaciones, en especial en Internet, el avance en la captura de la información, fotografías digitales, imágenes satelitales con resoluciones óptimas, todo con el fin de llegar a la consolidación de los SIG, y a su popularización como la herramienta mejor utilizada en el manejo de datos geográficos.

Las limitaciones propias de un SIG están relacionadas con sus principales componentes. Primero, no se puede implementar un SIG si no se cuenta con soporte físico o hardware con las especificaciones apropiadas; segundo, no se debe seleccionar el software hasta no tener claras las necesidades y los objetivos que se pretenden alcanzar; tercero, la captura de la información requiere especial cuidado ya que es el proceso más susceptible a las fuentes de error. Este procedimiento requiere un alto nivel de precisión ya que de él depende la calidad de los resultados; y cuarto, el personal especializado, si este no es lo suficientemente idóneo no se puede esperar resultados satisfactorios.

Aunque estas son las limitaciones propias de un SIG, existen otras que se relacionan con la necesidad de mejorar la descripción aproximada del problema y su cercanía a la realidad, como son:

No posee un conjunto de métodos de representación de la realidad y de simulación de los procesos propios de cada problema de ingeniería.

No tienen la capacidad de realizar análisis distribuidos de una variable en particular ya que la información que se maneja es puntual.

No se contempla una estructura de datos donde se puedan vincular los datos entre si y se representen de alguna manera las relaciones espaciales entre ellos.

Conociendo que la falencia principal de los SIG radica en su incapacidad de construir modelos y representaciones cercanas a la realidad, existen nuevas herramientas que suplen estas necesidades, ayudadas por la modernización de los medios informáticos. Es así como surgen los Modelos Digitales del Terreno (MDT) como una respuesta al creciente número de requerimientos del usuario y a la necesidad de simular procesos sobre un determinado escenario.

### **Modelos Digitales del Terreno (MDT)**

Un MDT es un modelo simbólico donde los objetos reales se representan mediante una codificación matemática lo que permite realizar procesos de simulación o modelamiento de un problema en particular.

Los MDT nacieron en la década de los 50's en el laboratorio de fotogrametría del Instituto de Tecnología de Massachusetts (MIT). En 1958 Miller y Laflamme utilizan los MDT para fines militares, tecnológicos y científicos. El objeto fundamental de estos modelos, era en ese entonces, trazar vías a partir de información tomada del terreno por medios fotogramétricos, que con el apoyo de algoritmos permitían la determinación de la pendiente, el área y otras características del terreno.

En los primeros años de utilización de los MDT, el almacenamiento y manipulación de la información se veía limitada por los ordenadores de la época, debido a sus deficientes propiedades en hardware, no estaban en capacidad de manejar una estructura de datos de considerables dimensiones, la cual es característica inherente de los MDT. Con el paso de los años han surgido aplicaciones informáticas capaces de minimizar este problema y lograr un manejo eficaz de los MDT, igualmente los grandes avances en el área tecnológica han permitido el desarrollo de hardware especializado lo que consolidó el manejo de los MDT.

La utilización de los MDT en la solución de problemas de ingeniería se fundamenta en el amplio rango de aplicaciones que pueden derivarse de su particular manejo de la información. Su importancia radica en que los MDT, gracias a su estructura de datos permiten modelar variables distribuidas espacialmente obteniendo así visualizaciones más cercanas a la realidad. Permite además, un manejo eficiente de la información facilitando una obtención más rápida de los resultados. Adicionalmente los MDT se consideran un medio de investigación de gran potencialidad porque a través de ellos pueden generarse nuevas herramientas o complementarse con otras para lograr descripciones más complejas y dar solución a los problemas de una forma más exacta.

Atendiendo a los beneficios que presenta el uso de los MDT, se entiende porque en la actualidad son los más utilizados a la hora de analizar procesos espaciales y ambientales. Los MDT superan funcionalmente a cualquier otra estructura de datos, facilitan junto con otras tecnologías el manejo de la información cartográfica para la solución de problemas de ingeniería, especialmente cuando estos requieren modelar y distribuir espacialmente una variable.

A través de un MDT, puede obtenerse resultados sobre la variabilidad de una propiedad en estudio, por ejemplo, la pendiente media, la presión y contaminación del aire, la temperatura, la reflectancia, la elevación media, o características morfométricas de una cuenca, son algunas de las tantas aplicaciones que pueden desarrollarse. En particular, el MDT se presenta como la solución más adecuada al problema del presente estudio, es decir, se aprovecha las potencialidades del mismo para realizar la caracterización física y geográfica del Departamento de Santander.

## **MARCO TEÓRICO**

Con el transcurrir del tiempo el hombre ha buscado la manera de agilizar y perfeccionar su trabajo. Esta necesidad lo ha llevado a estar en continua experimentación de sistemas y métodos para lograrlo sin importar en ocasiones los costos que estas experimentaciones conllevan. La aparición de las computadoras ha sido en este sentido un invento de gran relevancia por todos los beneficios que han traído.

Motivados por la nueva máquina aparecieron los científicos ansiosos de optimizar el tiempo y el manejo de la información, así, en los años 50 el Laboratorio de Fotogrametría del Instituto de Tecnología de Massachussets presentó los primeros indicios de uso de un Modelo Digital del Terreno (MDT) para la solución de problemas tecnológicos, científicos y militares. Hoy los MDT se han popularizado y sus aplicaciones van en aumento ya que facilitan y soportan investigaciones en muchos campos.

En el presente capítulo se presenta en la primera parte los conceptos relacionados con el MDT, sus propiedades, la estructura de datos que utiliza los tipos y aplicaciones. En la segunda parte se habla de los Modelos Digitales de Elevación MDE, que son un derivado del MDT, de la manera de obtener la información de los métodos de construcción de los mismos y de sus aplicaciones.

### **Modelos digitales del terreno – MDT**

En el desarrollo de este numeral se presenta una introducción a los MDT con el fin que el lector a medida que va consultando esta investigación pueda tener claridad de forma sencilla y puntual en los fundamentos de un MDT, sus propiedades, su estructura, tipos y aplicaciones.

Teniendo en cuenta la complejidad y extensión del tema, la intención es dar a conocer los conceptos básicos, con el objetivo de entender de manera global todo lo concerniente a los MDT.

**2.1.1 Conceptos básicos.** Antes de llegar a la definición formal del MDT es necesario enunciar algunos conceptos básicos para tener claridad en su fundamento.

Un modelo es “una representación simplificada de la realidad en la que aparecen algunas de sus propiedades”<sup>1</sup> y se construye para conocer o predecir sus características y permitir obtener e interpretar resultados coherentes. Su función y utilidad se basa principalmente en la definición adecuada de sus variables que dependen del problema a estudiar y de los resultados esperados cuya calidad está sujeta a la cantidad y veracidad de la información obtenida del objeto real.

Existen diferentes tipos de modelos los cuales reúnen diferentes características. En función de su construcción, se tienen los modelos icónicos que conservan mediante una reducción a escala las propiedades morfométricas del objeto real bajo la limitación de no poder representar todas sus propiedades en algunos casos. Este tipo de modelos se ve representado por las maquetas o réplicas a escala de un objeto en particular.

Otro tipo de modelos son los análogos, que por el contrario, no se basan estrictamente en la morfometría del objeto, y lo representan mediante un conjunto de convenciones que ayudan a interpretar sus características y propiedades. Dentro de este caso se tienen por ejemplo los mapas impresos que muestran mediante una nomenclatura especial la información contenida en ellos.

Los modelos simbólicos obedecen a una nomenclatura más definida que representa el objeto a través de una codificación matemática. Una representación de una máquina y de sus elementos como modelo simbólico, permite determinar una estructura geométrica que identifique cada una de sus partes y facilite su visualización para su diseño y optimización.

Por otro lado, se tiene una clasificación de los modelos en función de su manejo y representación. Los modelos analógicos que corresponden directamente a los modelos físicos y los modelos digitales que requieren que la información se encuentre codificada para facilitar operaciones informáticas. Un mapa cartográfico en formato analógico, por ejemplo, obedece simplemente a un mapa impreso con determinadas características. El mismo mapa en versión digital necesita de un conjunto informático que reúne equipos, programas y personal capacitado.

---

<sup>1</sup> JOLY, F. La cartografía. En : FELICÍSIMO, Ángel Manuel. Modelos digitales del terreno : curso de introducción [online]. Cáceres : 1999. p.2

**2.1.2 Concepto y propiedades del MDT.** Un MDT es “una estructura numérica de datos que representa la distribución espacial de una variable cuantitativa y continua”<sup>2</sup>

A partir de la interpretación del concepto anterior pueden enunciarse las siguientes propiedades de los MDT:

Son manejables en operaciones informáticas.

Adoptan una estructura de datos que controla el almacenamiento y el esquema interno y lógico de la información conservando su relación espacial.

Distribuyen espacialmente una variable, lo que le permite evaluar su comportamiento ante un evento de tipo geográfico.

Representa las variables en forma cuantitativa y las distribuye continuamente.

En general, los MDT reúnen dos tipos de información: información explícita que contiene los datos de la variable o atributo del modelo, e información implícita que contiene la relación espacial de los datos.

La diferencia fundamental entre los MDT y los mapas temáticos está en la distribución espacial de la variable representada. Los mapas temáticos son equivalentes a versiones analógicas de los MDT donde la información se muestra a partir de un sistema de convenciones gráficas. En ellos, la variable representada no se distribuye espacialmente al ser precisamente un medio físico en donde la información se extrae directamente a partir de inspección visual. Ambos modelos presentan múltiples ventajas y desventajas en su manejo práctico e interpretación. Los MDT, al ser digitales, pueden ser aplicados en diferentes herramientas informáticas, lo cual facilita el proceso matemático de los datos, el análisis de la información representada, la implementación de datos adicionales, la combinación con otros MDT que reúnan características compatibles y coherentes, y la realización de modelos de simulación dinámica que representen fenómenos físicos reales. Así mismo, el acceso a la información de los MDT requiere de un equipo informático que incluya programas especiales y operadores capacitados. Los mapas temáticos, por el contrario, exigen conocimientos cartográficos relativamente profundos y no son tan versátiles en el sentido de manejo de la información, pero la cualidad de tenerlos en formato impreso permite manejar rápidamente la información que contengan.

**2.1.3 Estructura de datos en el MDT.** En la cartografía convencional, la descripción de la superficie terrestre se realiza por medio de objetos geométricos (puntos, líneas), en donde las elevaciones del terreno son representadas por las curvas de nivel. En lo que respecta a los MDT, la información geográfica y la descripción morfológica del terreno en

---

<sup>2</sup> FELICÍSIMO, Ángel Manuel. Modelos digitales del terreno : curso de introducción [online]. Cáceres : 1999. p. 5

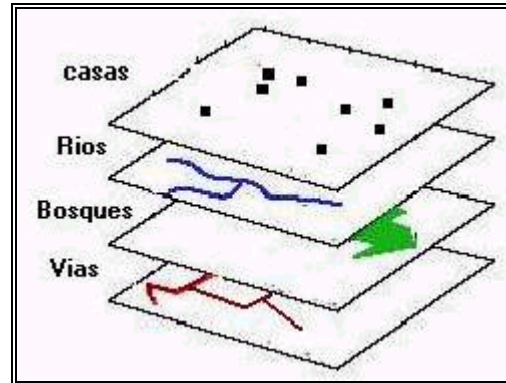
un modelo digital, se puede hacer de dos formas, cuya clasificación es producto de cómo se lleva a cabo la representación de los datos: vectorial o raster.

En el modelo vectorial, cada rasgo o entidad geográfica se realiza por medio de objetos geométricos (puntos, líneas y polígonos) como se puede observar en la figura 2.

En el modelo raster, las características topográficas y geográficas se realizan por medio de un único elemento básico que es la celda o píxel. Ver figura 3.

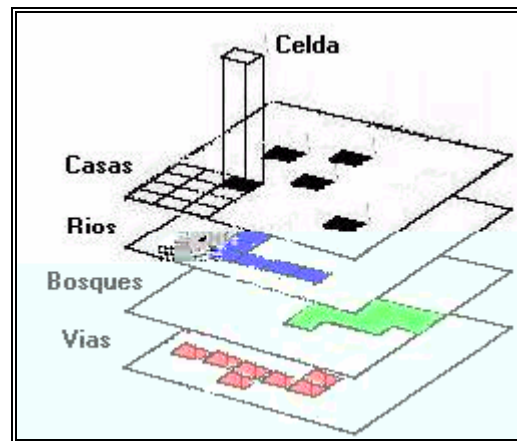


Figura 2. Modelo Vectorial. En el modelo vectorial los atributos del terreno son representados por puntos, líneas y polígonos.



Tomado de FRANCO, Rodolfo. Curso de sistemas de información geográfica [online]. <URL:[http://gemini.udistrital.edu.co/comunidad/profesores/rfranco/vector\\_raster](http://gemini.udistrital.edu.co/comunidad/profesores/rfranco/vector_raster)>

Figura 3. Modelo Raster. En el modelo raster los objetos del terreno se representan por la celda o píxel



Tomado de FRANCO, Rodolfo. Curso de sistemas de información geográfica [online]. <URL:[http://gemini.udistrital.edu.co/comunidad/profesores/rfranco/vector\\_raster](http://gemini.udistrital.edu.co/comunidad/profesores/rfranco/vector_raster)>

**2.1.3.1 Estructura de datos vector.** En el modelo vectorial, los rasgos del terreno y los objetos geográficos se representan por medio de tres elementos geométricos: puntos, líneas y polígonos, definidos o ubicados espacialmente por medio de las coordenadas en sus nodos. Las propiedades inherentes de cada uno de los objetos geométricos constituye la base para diferenciarlos de los demás atributos del terreno. Por ejemplo, los datos

correspondientes a las planchas cartográficas del Instituto Geográfico Agustín Codazzi (IGAC) en formato digital son de tipo vectorial, en donde la información consignada en cada plancha es separada en diversas capas temáticas o layers como curvas de nivel, ríos, caminos, etc.

Existen diferentes maneras de representar un modelo de acuerdo a las distintas estructuras de datos que existen. La escogencia de una determinada estructura de datos va supeditada de la información accesible, de la calidad, de la cantidad (referido a cantidad si la información está o no completa) y de la disponibilidad tanto a equipos, software y personal idóneo.

Según Felicísimo<sup>3</sup>, de todas las estructuras vectoriales existentes, las más utilizadas para construir MDT son dos:

- Las isohipsas o contornos
- Los TIN.

El modelo vectorial de contornos está conformado por vectores en donde estos a su vez están formados por un conjunto de  $n$  - pares de puntos que se encuentran definidos y georreferenciados de acuerdo a un sistema de coordenadas. El número de puntos de cada vector es variable al igual que la separación entre los propios puntos que forman el vector. Cabe destacar que un vector se define con 2 puntos y un conjunto de vectores constituye una línea.

Los vectores se utilizan para enmarcar la forma o contorno de líneas que tienen un mismo valor (líneas isométricas). Por ejemplo, este modelo se puede utilizar para describir la forma de las curvas de nivel de un determinado plano topográfico. Ver figura 4.

---

<sup>3</sup>Ibid., p.11.

Figura 4. Modelo de contornos utilizado para describir la superficie de la Subcuenca Quebrada La Vega perteneciente a la cuenca del Río Suárez (Santander).



La estructura de datos TIN (Triangulated Irregular Network) que en español quiere decir Red Irregular de Triángulos está formada como su sigla lo indica por un conjunto de triángulos unidos que caracterizan la superficie terrestre, quedando de esta manera la topografía representada por una red completa de caras planas. (ver figura 5 y 6). Las superficies TIN se crean a partir de puntos no colineales sucesivos distribuidos

irregularmente en donde cada punto se localiza espacialmente por un par de coordenadas  $x$  e  $y$ , y cada punto tiene asociada la propiedad en estudio (coordenada  $z$ ).

Figura 5. Vista de la triangulación proveniente de una estructura TIN aplicado a la topografía de la Subcuenca Quebrada La Vega perteneciente a la cuenca del Río Suárez (Santander) donde la variable estudiada es la elevación.

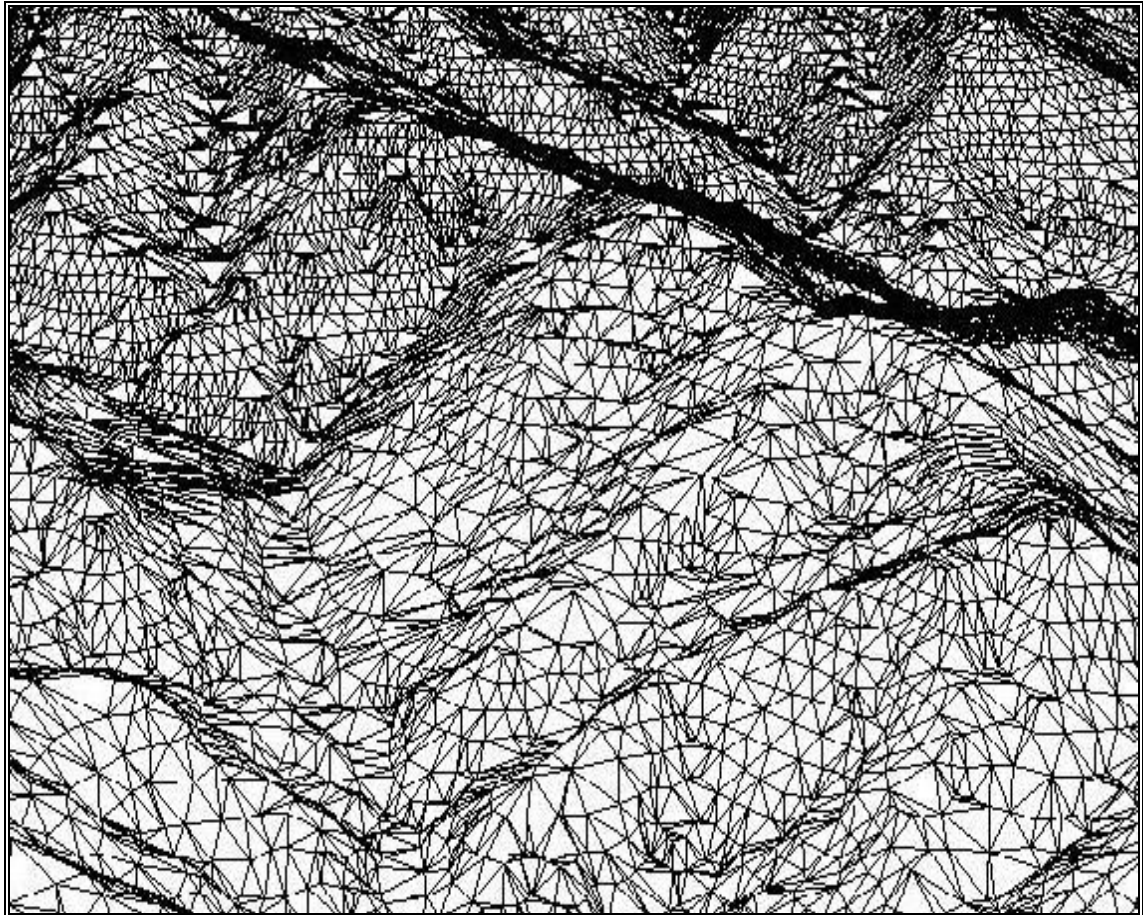
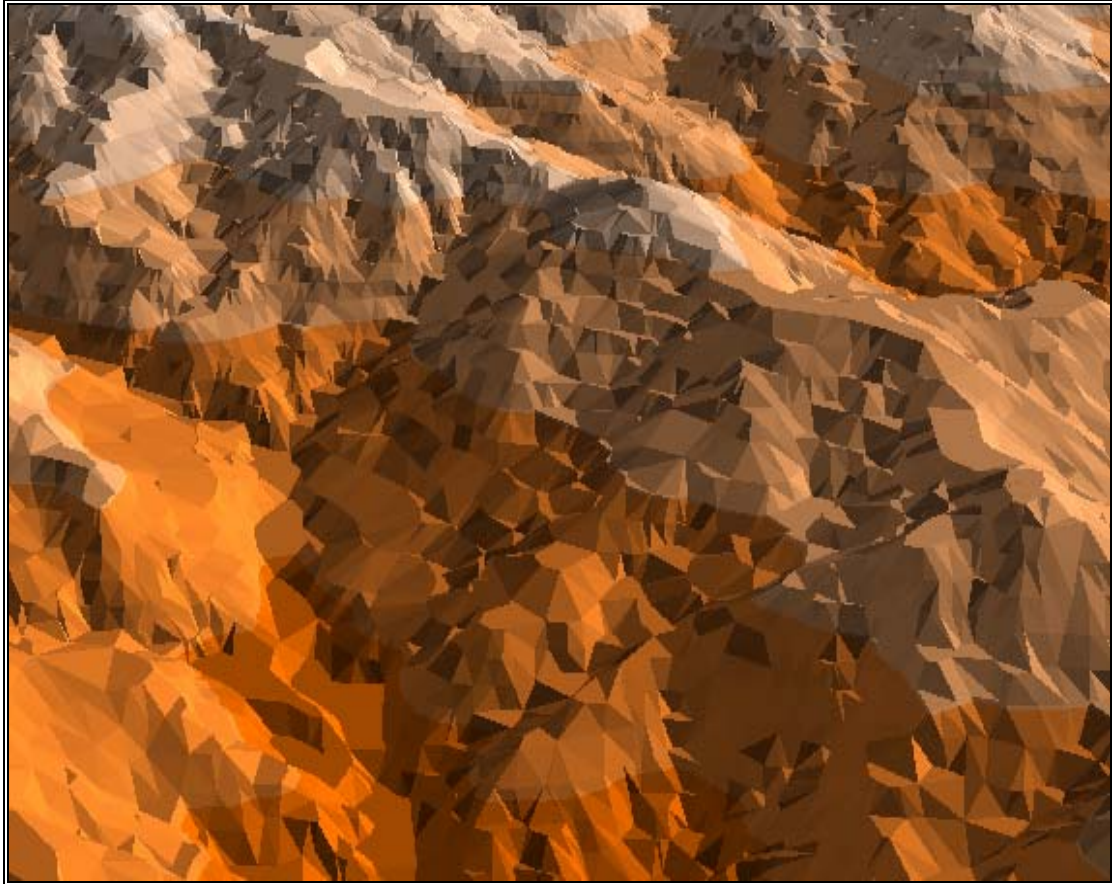


Figura 6. Vista de la superficie del terreno proveniente de una estructura TIN aplicado a la topografía de la Subcuenca Quebrada La Vega perteneciente a la cuenca del Río Suárez (Santander) donde la variable estudiada es la elevación. El área representada es igual a la figura anterior.



El método más común en los SIG utilizado para construir los triángulos es de la triangulación de Delauney que se basa en el principio de que un círculo que pasa por tres nodos o puntos no debe contener otro nodo. Cada lado del triángulo se forma a partir de un arco de círculo definido por dos nodos. Los vértices del triángulo y en general los nodos de la red de los TIN son los valores o datos originales introducidos. La triangulación de Delauney genera triángulos con ángulos aproximados de  $60^\circ$ , es decir, se construyen triángulos casi equiláteros.

Una de las ventajas de los TIN es que se puede variar la utilización de los nodos en función de la variable que se encuentra en estudio, eliminando de esta manera datos redundantes que no aportan información trascendente. Por otro lado, otra ventaja de los TINs es que existe una buena calidad en la interpolación de los datos porque cada punto toma el valor de la variable en estudio de los puntos más cercanos a éste.

**2.1.3.2 Estructura de datos raster.** En el modelo raster las características físicas del terreno se representan por medio de una matriz que contiene celdas rectangulares o cuadradas, de forma tal que cada celda contiene un atributo cualquiera (como por ejemplo reflectancia o altura). El tamaño de cada celda es fundamental y determina su resolución. En el modelo raster la precisión de la localización de cualquier objeto geográfico (georreferenciación) se encuentra limitado por el tamaño del píxel debido a que éste único elemento de dibujo es la mínima unidad de longitud y de superficie.

Según Felicísimo<sup>4</sup>, de las estructuras raster existentes y las más utilizadas se pueden destacar dos:

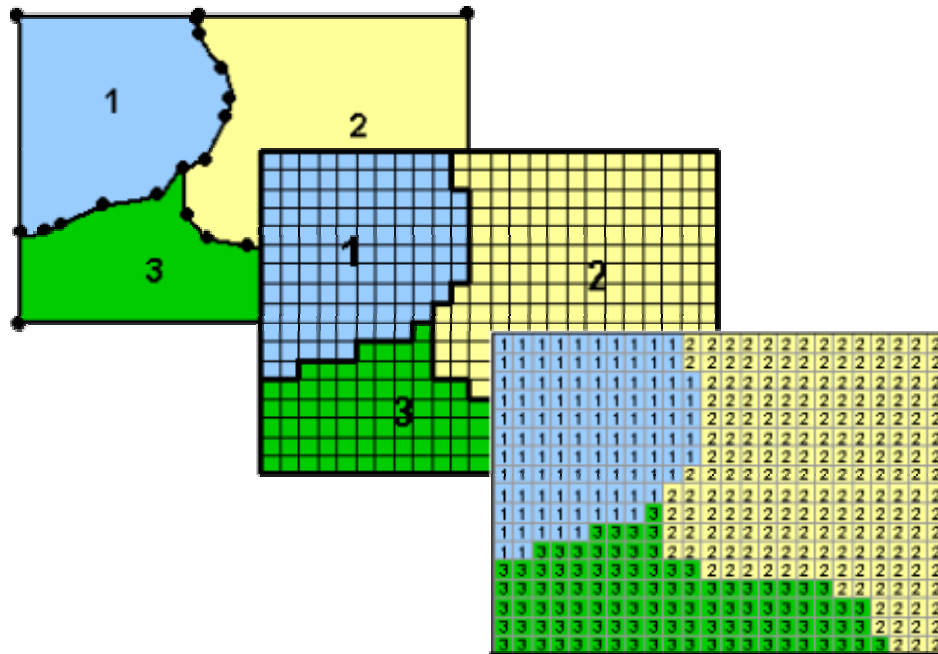
- Las matrices regulares.
- Las matrices jerárquicas, Quadrees.

Las matrices regulares son el resultado de dividir cualquier superficie en pequeñas celdas que pueden ser cuadradas o rectangulares, las cuales toman valores numéricos representando de esta manera objetos geográficos (Ver figura 7). El resultado final consiste en que la superficie terrestre es descrita por una malla de puntos de forma cuadrada o rectangular. El número de celdas que conforman la malla define la resolución, siendo mejor cuantas más pequeñas sean éstas. Es por ello que las matrices regulares se encuentran sesgadas en cuanto a la precisión en la georreferenciación de los objetos con un margen de error equivalente a la mitad de la base y de la altura de la celda o píxel.

---

<sup>4</sup> Ibid.,p. 11.

Figura 7. Ejemplo de representación de un plano a formato raster y codificación de la información de cada celda o pixel.

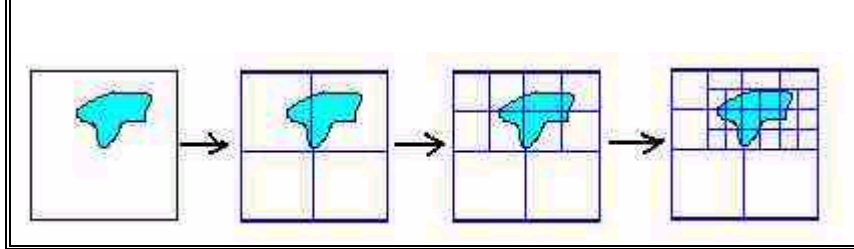


Tomado de FAO, Sistemas de información geográfica [online].  
<URL:<http://www.fao.org/sd/frdirect/gis/chat3>>

La ventaja del modelo raster de la matriz regular es su facilidad de organización de los datos permitiendo realizar procesos de análisis, operaciones y algoritmos computacionales entre matrices, superposición de planos, y simulaciones de cualquier evento, entre otros, logrando de esta manera poder simular un fenómeno cualquiera de la naturaleza con las limitaciones implicadas de acuerdo al evento modelado.

Una de las grandes desventajas del modelo raster de las matrices regulares es el volumen de almacenamiento de los datos asociado con cada celda, es por ello que entre más grande sea la matriz, mayor será el volumen de información limitando de esta forma el tiempo de procesamiento de los datos. Es por ello que el tipo de modelo raster Quadrees corrige el inconveniente en mención y se basa en la técnica de dividir un plano en cuadrantes y si los objetos que se desean modelar aparecen en una determinada celda, ésta continúa subdividiéndose en cierta cantidad de cuadrantes hasta llegar a una resolución que es función de la escala del plano cartográfico modelado. Este método de división jerárquica permite utilizar celdas de distintos tamaños y también recibe el nombre de árboles cuaternarios.

Figura 8. Representación gráfica de la técnica de subdivisión utilizado por el modelo raster de las matrices jerárquicas o Quadrees.



Tomado de FRANCO, Rodolfo. Curso de sistemas de información geográfica [online]. <URL:[http://gemini.udistrital.edu.co/comunidad/profesores/rfranco/vector\\_raster](http://gemini.udistrital.edu.co/comunidad/profesores/rfranco/vector_raster)>

**2.1.3.3 Ventajas y desventajas de los modelos vectorial y raster.** En el momento de ejecutar un determinado proyecto de ingeniería o de modelar un fenómeno terrestre, ha existido el problema de escoger cuál será la manera más adecuada de representar los datos de tal manera que faciliten las operaciones, arroje buenos resultados y sobre todo que sea lo más cercano posible a la realidad. Hoy en día, la rivalidad vector-raster está técnicamente superada o minimizada debido a que la gran mayoría de los SIG actuales están empleando los atributos más destacados de cada estructura de datos y las han integrado en sus programas.

El modelo raster tiene como ventajas que es una estructura simple de datos, tiene compatibilidad con información proveniente de imágenes de satélite, se puede hacer análisis poligonal permitiendo realizar la superposición de mapas temáticos, análisis estadístico y gráfico. En general, la gran mayoría de las simulaciones físicas en los SIG necesita de una estructura raster. Por otro lado, tiene como desventajas en que el tamaño de la celda limita la resolución de los objetos geográficos y por lo tanto no es viable representar entidades lineales cuando el tamaño de la celda es grande. También requiere de una gran cantidad de espacio para el almacenamiento de la información de cada celda donde el volumen de los datos es proporcional a la resolución del modelo.

La estructura de datos vectorial tiene como puntos a favor que los atributos del terreno son representados en su forma y escala original, permite formar buenas relaciones topológicas, es por esto que es la estructura adecuada para realizar análisis de redes y proximidad, ocupa poco volumen de almacenamiento de datos con respecto al raster y esta estructura es la más acorde para construir mapas cartográficos. El modelo vectorial tiene inconvenientes como los algoritmos de programación y manejo de la información son bastante complejos resultando imposible realizar simulaciones de procesos físicos. Para grandes cantidades de información no es posible visualizarla por completo en una misma capa temática y se vuelve inmanejable.

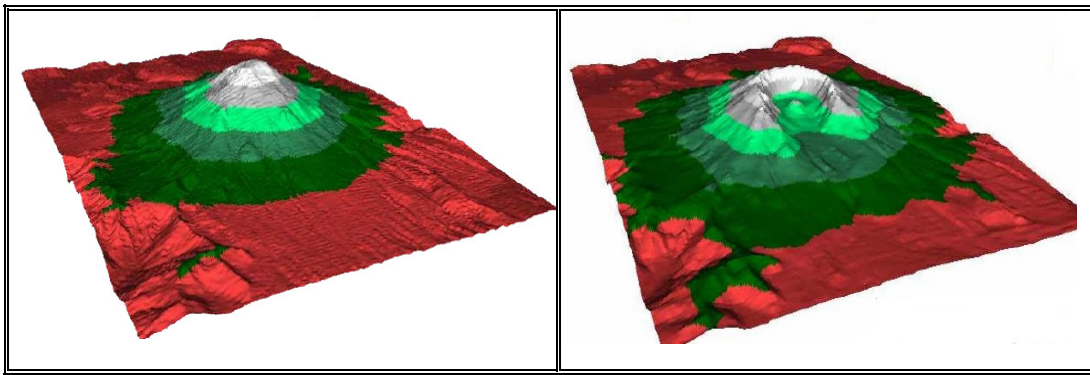
**2.1.4 Tipos y Aplicaciones.** Los usos de los MDT son múltiples de acuerdo con la variable representada. Existe diversidad de aplicaciones y disciplinas que encuentran en ellos la solución más adecuada para el manejo de información distribuida espacialmente. Pueden obtenerse modelos de utilidad en diferentes áreas de ingeniería, salud, geología, meteorología, biología, economía, y comunicaciones, entre muchas otras.

La posibilidad de usar los MDT como herramienta para realizar procesos de simulación dinámica, amplía grandemente su aplicación mediante el diseño de algoritmos numéricos que ayudan a resolver situaciones determinadas y a obtener nuevos MDT denominados modelos digitales derivados. Los MDT pueden representar todo tipo de variables, los cuales adoptan un nuevo nombre en función de la variable representada. Un modelo digital de temperatura indicará precisamente la distribución espacial y cuantitativa de la temperatura en un lugar determinado. Así mismo, pueden existir los modelos digitales de presión, humedad, precipitación, movimiento de vientos, propagación de incendios y enfermedades, elevación y pendientes del terreno, profundidades, suelos y formaciones geológicas, cultivos, en fin, la cantidad de variables es ilimitada en todas las áreas, lo que concluye respecto a los MDT la versatilidad que representa su uso para obtener información a partir de todo tipo de datos.

A continuación se enuncian algunas aplicaciones directas de los MDT:

- En ingeniería de suelos y geotecnia pueden ayudar a señalar tipos y uso de suelo y facilitar la simulación de fenómenos de avalanchas de sedimentos, inundaciones, erosión, deslizamientos, etc.
- En ingeniería de vías permiten obtener perfiles del terreno, y mediante algoritmos especiales calcular variables topográficas, realizar explanaciones viales, simular movimientos de tierra, proponer y previsualizar alternativas de diseño y construcción de carreteras, puentes, y túneles.
- En climatología constituyen la base para el modelamiento del comportamiento meteorológico de vientos, presiones, precipitaciones, radiación y exposición solar, entre otros fenómenos climáticos.
- En geología pueden ayudar a indicar la presencia de formaciones geológicas, canteras, pliegues, fallas, zonas amenazadas o devastadas por efectos volcánicos o sísmicos (ver figura 8).

Figura 9. Vista 3D de un volcán antes y después de su erupción.



Tomado de [http://geouabcs.tripod.com/clases\\_geologia/materiales/sig\\_clase\\_12.pdf](http://geouabcs.tripod.com/clases_geologia/materiales/sig_clase_12.pdf)

- En hidrología permiten realizar la caracterización física de cuencas hidrográficas, definición de redes de drenaje, estimación de caudales, y simulación de modelos hidrológicos.
- En el campo de salud, ayudan a visualizar y predecir la dispersión de enfermedades en zonas vulnerables e indicar la presencia de servicios públicos básicos y de asistencia médica en un área determinada.
- En biología, permiten representar la variación de especies de flora y fauna, caracterizar climas y ambientes idóneos para la conservación de las especies, determinar zonas de reservas naturales, reforestación y deforestación controlada, aprovechamiento de recursos naturales renovables y no renovables, y riesgos de contaminación ambiental.

- En economía, pueden indicar la variación espacial de factores asociados con calidad de vida, desempleo, ingreso per cápita, crecimiento de población, oferta y demanda de productos.
- En la industria de las comunicaciones y electricidad, facilitan la realización de modelos de interferencia visual para redes, estaciones, torres, y otros tipos de estructuras.

Uno de los MDT más utilizados es el Modelo Digital de Elevaciones (MDE), que es la representación de la variabilidad espacial de la cota del terreno. Este modelo es en general el punto de partida para la obtención de otros modelos derivados que modelan procesos físicos en diferentes áreas de la ingeniería.

### **Modelos digitales de elevación – MDE**

La relación existente entre el MDT y el MDE es muy estrecha lo cual obliga a tener plena claridad del concepto y los alcances que cada uno de los mencionados modelos encierra. Si embargo, el MDE tiene gran importancia dentro de los MDT ya que estos pueden ser la base para generar modelos que permitan un mejor y rápido entendimiento de la situación que se esté analizando.

Los siguientes párrafos presentan el concepto, las características, los métodos de generación de un MDE, los alcances y aplicaciones de los mismos, lo cual tiene como propósito marcar la diferencia entre estos y los MDT.

**2.2.1 Definición y estructura del MDE.** El modelo digital de elevación (MDE) es un modelo derivado del MDT donde se involucra específicamente la elevación del terreno como atributo, siendo así, se define el MDE como la estructura numérica de datos que representa la distribución espacial de la altitud de la superficie del terreno. Un MDE tiene un dominio espacial y una localización geográfica concreta.

El MDE es un MDT cuyo atributo es la elevación. La unidad básica de información de un MDE es un punto de coordenadas x, y, z (z es la elevación) que puede organizarse de la misma forma que en un MDT, en forma vectorial o forma raster con las mismas ventajas y desventajas que las descritas para el almacenamiento de un MDT(...ver Literal 3.1.3.3...).

**2.2.2 Elaboración o construcción del MDE.** La fase de obtención o captura de datos es, por sí misma, uno de los pilares en los que se basa la calidad y confiabilidad de un MDE y por extensión, toda aplicación científica, industrial o comercial que éste pueda tener. Se debe estar al tanto que esta etapa constituye la transformación de la realidad física, motivo de análisis, en una estructura de datos manipulable tanto por el programador como por el usuario. Teniendo en cuenta estos puntos, debe hacerse una selección adecuada del método de captura de datos que se utilizará, conociendo tanto sus puntos fuertes como sus falencias.

El paso siguiente es la construcción del MDE el cual puede ofrecer buenos resultados y grandes utilidades dependiendo de la calidad de los datos capturados. Por esta razón se debe tener especial cuidado en la manera y los equipos que se utilicen para tal fin.

**2.2.2.1 Obtención de la información.** La captura de datos es básica en la realización de cualquier análisis, esto lleva a que se tenga especial cuidado en dicho proceso, por lo cual resulta dispendioso y requiere mucho tiempo durante una investigación. Para la captura de datos necesarios para la realización de un MDE se tienen varios métodos como son: los

métodos directos (altimetría, GPS y levantamientos topográficos) y los métodos indirectos (restitución y digitalización).

Se consideran métodos directos cuando las altitudes y datos que requiera el MDE se toman directamente sobre el campo para lo cual se pueden utilizar altímetros, GPS o estaciones topográficas. Es un método que implica grandes costos y mayor inversión de tiempo, siendo éstas sus principales desventajas.

Los altímetros son instrumentos de alta precisión que se han incorporado a los satélites y permiten el registro directo de las altitudes del terreno en formato digital. Los GPS (Sistema Global de Localización) utiliza un conjunto de satélites de referencia para obtener coordenadas espaciales (x, y, z) de un lugar determinado en la superficie, es un método de alta precisión. El levantamiento topográfico es el método directo de captura de datos más antiguo (de los expuestos aquí), su precisión es menor que los anteriores y al igual que los GPS requiere de la presencia física en el terreno convirtiéndose en su gran desventaja.

Los métodos indirectos se caracterizan por utilizar documentos analógicos o digitales previamente elaborados con lo cual se agiliza el acceso a la información y se evita la presencia física en el terreno convirtiéndose por tanto, en el más utilizado en la generación de modelos digitales de elevación.

Dentro de los métodos indirectos se cuenta con la restitución fotogramétrica, la cual utiliza pares de imágenes (fotografías aéreas, imágenes de satélite y de radar) tomados desde puntos de vista diferentes con el fin de deducir de su paralelaje las cotas de referencia necesarias para reconstruir la superficie del terreno. La digitalización, ya sea automática o manual es el otro método indirecto de captura de datos que se realiza a través de escáner o mediante un tablero digitalizador. El proceso de digitalización es más lento y genera mayores errores ya sea porque los originales son muy densos y al escanear se dificulta el proceso porque no se puede seleccionar sólo la información requerida o porque el operario obvia datos o los digitaliza erróneamente.

La digitalización manual es un proceso muy sencillo que se realiza con un tablero digitalizador sobre el cual se coloca un mapa para que un operador siga uno a uno, con un cursor los datos contenidos en él para ser almacenados directamente en formato digital. La digitalización manual es muy utilizada a pesar de la calidad irregular de la información que ofrece, ya que esta depende directamente de las capacidades de la persona encargada de transcribir los datos. Sin embargo, y con el propósito de limitar los errores se han establecido algunas normas como: usar originales en buen estado, no introducir excesivo número de puntos dentro de las curvas de nivel, digitalizar los ríos desde su nacimiento hasta su desembocadura, registrar la referencia espacial del mapa con precisión mediante puntos de control, valorar el método de digitalización a utilizar en función de la calidad de los resultados.

**2.2.2.2 Métodos de construcción del MDE.** La construcción de un MDE se puede realizar de dos formas:

1. A partir de una serie de puntos georreferenciados y con el valor de atributo conocido (modelo vectorial) y utilizando técnicas de interpolación se puede obtener una red regular de puntos (modelo raster) con su respectivo atributo.
2. A partir de la serie de puntos de campo construir un modelo vectorial del atributo (TIN) y a partir de este generar un modelo raster de elevaciones.

En el primer caso, la generación de un MDE matricial (raster) se convierte en un problema de interpolación. Existen muchos métodos de interpolación, de los cuales se escoge aquel que es capaz de representar la superficie del terreno con la mayor semejanza o realidad posible, es decir, el método de interpolación debe asignar los valores adecuados de altitud a los nuevos puntos (malla regular de puntos – modelo raster) de acuerdo a los datos contenidos en el modelo vectorial de puntos. Como todo método tiene su debilidad o falencia, los métodos de interpolación no son la excepción. El problema se presenta cuando en el relieve hay cambios bruscos de pendiente o existen discontinuidades, dichos métodos no son capaces de representarlos debido a que siguen una tendencia o variaciones con distribuciones suaves.

Para solucionar los inconvenientes anteriores se proponen los métodos de interpolación basados en triangulaciones como lo es la Red Irregular de Triángulos TIN, que es una estructura vectorial especial que mediante triángulos caracteriza la topografía. (Para ver la definición completa ver el literal ...3.1.3.1...). Este método tiene como fortaleza en que la superficie de terreno a representar puede tener cambios bruscos de pendiente o discontinuidades en su morfología, es decir, se adapta a las complejidades del terreno. El TIN es la estructura más adecuada para la generación de un MDE porque representa de una manera más precisa la topografía de un sector, sin embargo, genera una estructura más compleja que la matriz regular

Debido a las dificultades presentadas en este sentido se opta por crear inicialmente un TIN y posteriormente generar un MDE raster (matricial) mediante un proceso de interpolación específico. De esta manera a cada nodo del MDE matricial se da un valor de altitud estimado a partir del TIN. Con el MDE raster matricial no se pueden representar todas las estructuras lineales como lo hace el TIN, pero permite la distribución de la variable altitud en forma continua y además se logran incluir las discontinuidades que presenta el terreno.

**2.2.3 Aplicaciones.** Para hablar de las aplicaciones de los MDE en los diferentes campos del saber humano, se debe analizar en primer lugar cómo la información topográfica en tres dimensiones ayuda a entender el ambiente, la naturaleza, el comportamiento del ser

humano y de sus intervenciones en ella y cómo se puede garantizar un medio ambiente sostenible y un óptimo uso de los recursos naturales sin que sufran graves cambios.

Debe hacerse enfoque en los puntos fuertes de los MDE para de esta manera reflejarlos en otros campos de acción de la naturaleza. Así mismo, debe tenerse en cuenta que es fundamental, para una explotación completa de las utilidades de los MDE, estar seguros de la calidad y precisión de ellos mismos, y asegurar con esto que las proyecciones que se hagan a partir de estos modelos puedan brindar confianza a los usuarios.

La tecnología de información geográfica y el procesamiento de imágenes digitales se han convertido rápidamente en un campo en expansión especialmente en las áreas científica, comercial y operacional. Es así, como sus principales aplicaciones se encuentran en estos tres dominios.

La información exacta acerca de la superficie de la tierra es de gran importancia en las llamadas geociencias. La topografía controla procesos de la superficie terrestre tales como evaporación, flujo de agua, movimiento; todos ellos importantes en el intercambio de energía en el sistema climático en la atmósfera. La ecología investiga la dependencia entre todas las formas de vida y su ambiente como la tierra, el clima y el paisaje. La climatología investiga los flujos de temperatura, la humedad, las partículas aéreas, todos estos influenciados por la topografía. En meteorología y modelamiento climático, los modelos de procesos de conversión entre la tierra y la atmósfera así como de los movimientos en los estratos atmosféricos más bajos también están relacionados con los MDE.

Es así como en el campo científico se emplean los MDE para investigaciones en estudios de impacto climático, manejo de agua, modelamiento geológico, tecnología de información geográfica, análisis geomorfológicos y de laderas, mapas temáticos y programas educacionales.

- Vías: Un MDE permiten obtener perfiles del terreno, calcular variables topográficas, realizar explanaciones viales, simular movimientos de tierra, lo cual facilita el diseño y localización no sólo de vías sino de caminos, vías de ferrocarriles, oleoductos, gasoductos, entre otros, sin tener siquiera que trasladarse hasta el sitio de estudio.
- Geología: El avance en lo concerniente a imágenes tomadas desde el espacio y su respectivo análisis mediante instrumentos computacionales ha beneficiado muchos campos de estudio, entre ellos puede contarse el geológico. Es así como a través de imágenes satelitales pueden llevarse a cabo exploraciones geológicas con sus correspondientes ventajas en el aspecto económico y mostrando niveles de precisión aceptables. Sin embargo, este tipo de estudios requiere inevitablemente mayor inversión de horas-hombre en reconocimiento de campo, pero esta labor debe realizarse en cualquier tipo de estudio geológico. El modelo digital de elevación permite, en este caso, visualizar de mejor forma las estructuras y relieves terrestres y

junto con otras herramientas puede converger a aplicaciones en áreas como geología estructural, tectónica de placas, mapeo de unidades geológicas, etc.

- **Obras hidráulicas:** La hidráulica es una rama de la ingeniería que está ampliamente ligada con el desarrollo económico de una región, debido a este hecho es frecuente encontrar obras de este tipo en cualquier lugar sobre la superficie terrestre. El avance de la tecnología y sobre todo, la implementación de los MDE ha colaborado para que esta tarea sea cada vez más efectiva ya que antes de realizar una obra de este tipo y basados en estos modelos se pueden tomar decisiones respecto a la funcionalidad, conveniencia y ubicación de las estructuras hidráulicas requeridas en la zona de estudio.
- **Hidrología:** La investigación de la utilidad de los MDE en la solución de problemas asociados a la modelación hidrológica y la administración del recurso hídrico ha llevado a la construcción de modelos lluvia-escorrentía, estimación de transporte de sedimentos, estimación de regímenes de caudales, cálculo de parámetros geomorfométricos, gestión del recurso hídrico, entre otras. Todas estas aplicaciones parten de la cuantificación de la distribución y el flujo del agua sobre el paisaje, en donde se inicia realizando una representación de la topografía del terreno, para posteriormente utilizar metodologías de modelación numérica, regionalización de parámetros, acumulación de variables distribuidas o alguna otra metodología hidrológica.

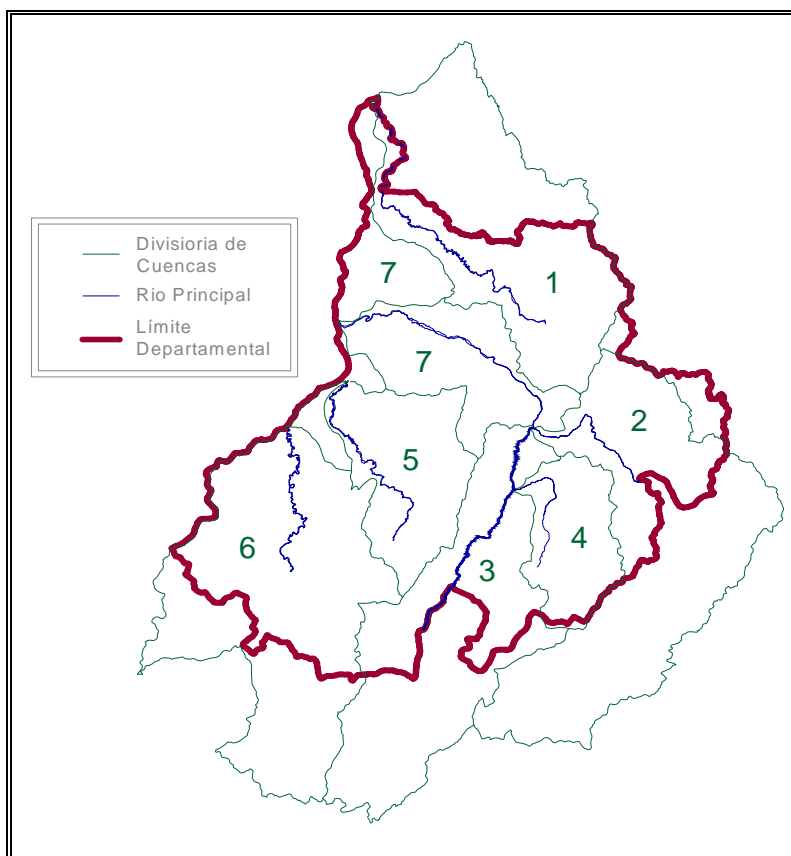
Para el modelamiento hidrológico de cuencas, es necesario contar con un MDE muy preciso. Sólo a través de la combinación de los datos topográficos, la información de uso de tierra, la precipitación y almacenamiento de agua, puede realizarse un pronóstico acertado de eventos futuros. Un MDE contiene información suficiente para definir variables hidrológicas como la red de drenaje superficial y por consiguiente el área de captación y el flujo acumulado; así mismo, la pendiente del terreno y áreas tributarias. Además, un análisis hidrológico continuo puede llegar a ser importante para las actividades agrícolas, definición de la dirección de irrigación, etc.

En el ejemplo de aplicación que se presenta en el capítulo 6 se explica con detalle la manera como se utilizaron los MDE para la caracterización física de una cuenca hidrográfica, cuál es el proceso para calcular los parámetros morfométricos y cuáles se pueden obtener a partir del modelo. También se habla de la calidad de los resultados que se obtienen de éste.

## DEFINICIÓN Y ALCANCE DEL PROYECTO

Este proyecto consiste en mostrar la aplicabilidad de los MDE en la ingeniería mediante su aplicación al problema del estudio físico e hidrológico de las principales cuencas hidrográficas del departamento de Santander a partir de la cartografía básica escala 1:25000. Para ello se propone dividir el departamento (ver figura 10) en 7 cuencas representativas correspondientes a los ríos Lebrija (1), Chicamocha (2), Suárez (3), Fonce (4), Opón (5), Carare (6), y Sogamoso incluyendo algunos otros afluentes al Río Magdalena (7), cuya extensión comprende adicionalmente parte del Departamento de Boyacá.

Figura 10. División hidrológica del Departamento de Santander



De manera particular este proyecto comprende el estudio de la cuenca del Río Suárez que incluye la recopilación y adecuación de la información cartográfica, la realización de los

modelos digitales de elevación y la caracterización física de las cuencas hidrográficas que componen sus principales afluentes y la publicación de los resultados soportados sobre una base de datos mediante un sistema de información en Internet.

## **Objetivos**

### *Objetivo General.*

- Elaborar el modelo digital de elevación de la cuenca del Río Suárez con aplicación en su caracterización física, geográfica, e hidrológica.

### *Objetivos Específicos.*

- Estructurar y adecuar la cartografía básica del IGAC en formato digital, escala 1:25000, de la cuenca del Río Suárez en el departamento de Santander.
- Realizar una división hidrológica de los principales afluentes el Río Suárez.
- Generar el modelo digital de elevación de la cuenca del Río Suárez y sus principales afluentes.
- Calcular los parámetros morfométricos de las diferentes cuencas estudiadas.
- Establecer conclusiones a partir de la interpretación y evaluación de los resultados obtenidos.
- Presentar la información utilizada en un sistema de base de datos mediante la creación de un sitio web que facilite operaciones de búsqueda y consulta.

## **Alcance**

La cuenca en estudio para este proyecto corresponde a la cuenca del Río Suárez que cubre parte de los departamentos de Boyacá y Santander alcanzando un área de aproximadamente 7919.38 Km<sup>2</sup>, de los cuales 49.97% (3957.71 Km<sup>2</sup>) del área total de la cuenca pertenece al Departamento de Santander y el 52.88% restante (4187.64 Km<sup>2</sup>) se extiende por el departamento de Boyacá, haciendo difícil la consecución de información. Debido a esta razón se decide estudiar sólo la cuenca baja del Río Suárez; es decir, un 53% (4187.64 Km<sup>2</sup>) de la cuenca total, cubriendo desde el municipio de Barbosa (Santander) hasta su desembocadura en el Río Chicamocha. En la figura 11 se muestra el área real trabajada para la cuenca del río Suárez.

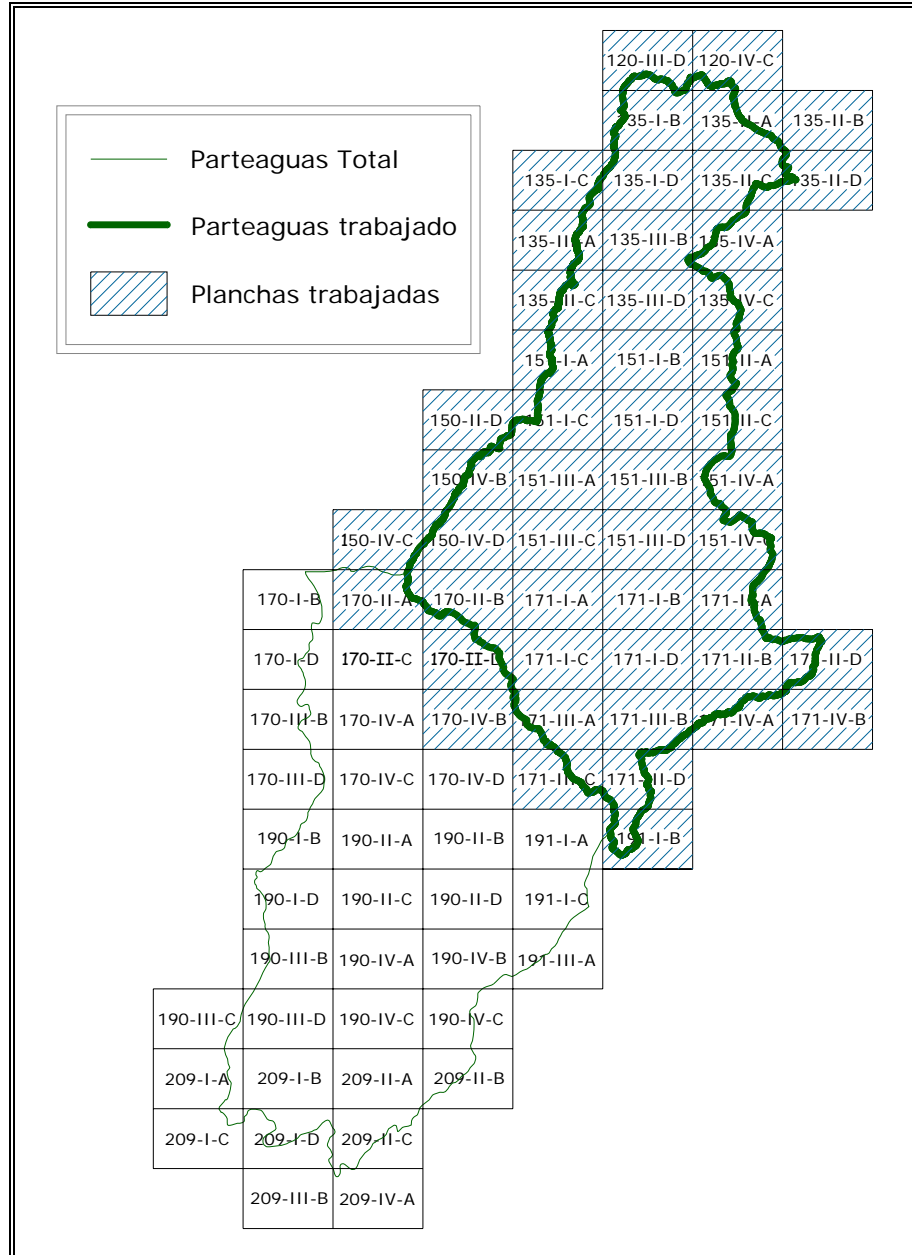
De las 82 planchas IGAC que cubren en su totalidad la cuenca del río Suárez (ver figura 12), se trabajaron 49. De estas planchas se obtienen 43 en formato digital, las cuales se

someten a una estricta revisión y corrección de su contenido y las 6 restantes encontradas en formato impreso se llevan a formato digital mediante el procedimiento de digitalización manual. Se realiza para cada una ellas una recopilación de información básica como fecha de publicación, tipo de carta, disponibilidad en medio impreso, cobertura de municipios del departamento de Santander, cobertura de otros departamentos, cobertura de cuencas principales, presencia de nubes o zonas sin información, y observaciones generales a nivel del proceso de digitalización.

Figura 11. Área real trabajada para la Cuenca del Río Suárez.



Figura 12. Distribución de planchas IGAC para la cuenca del Río Suárez.



Para cada una de las cuencas hidrográficas que componen los principales afluentes del Río Suárez se tiene una serie de datos que ayudan a evaluar la caracterización física, geográfica e hidrológica. La siguiente información corresponde a los datos más importantes:

- Nombre de la cuenca (nombre del río o quebrada que representa).
- Desembocadura (nombre del río o quebrada en la cual desemboca la cuenca).

- Orientación.
- Área subsidiaria.
- Perímetro.
- Tipo de cuenca (clasificación de acuerdo con el área subsidiaria).
- Longitud y pendiente del cauce principal.
- Longitud del tramo más alejado.
- Elevación máxima, media, y mínima.
- Pendiente media.
- Factor de forma.
- Coeficiente de compacidad.
- Coeficiente de masividad.
- Pendiente.
- Orden.
- Longitud de la red de drenaje.
- Densidad de drenaje.
- Tiempo de concentración.

Se incluye además, aparte de la información de tipo hidrológico, la cobertura a nivel de las planchas IGAC y de los municipios del Departamento de Santander, y los límites con otras cuencas.

La información manejada y obtenida a nivel de las planchas IGAC y de las diferentes cuencas estudiadas se organiza y se publica en Internet en un entorno gráfico sencillo y adecuado acompañado de un sistema de base de datos que facilite su navegación, las operaciones de búsqueda, consulta, actualización, y el acceso a planos, figuras, tablas, enlaces y otros tipos de documentación. El sitio web cuenta con el espacio en el servidor “albatros” de la Escuela de Ingeniería Civil de la Universidad Industrial de Santander en la siguiente dirección: <http://albatros.uis.edu.co/hidroatlas>.

### **Entidades interesadas**

Los entes que pueden beneficiarse directamente de esta investigación son: Gobernación del departamento, Corporaciones Autónomas Regionales, IDEAM, Alcaldías, Ministerio del Medio Ambiente, Empresas de servicios públicos, Constructoras, Universidades, Oficinas de prevención y atención de desastres; e indirectamente los centros de educación básica primaria y secundaria entre otros.

La implementación de un estudio que recopile la caracterización física, geográfica e hidrológica de las cuencas hidrográficas del Departamento de Santander contribuye a la promoción y motivación de diferentes entes particulares y académicos a mejorar los estudios existentes y a continuar con el desarrollo de nuevas tecnologías aplicables.

## **METODOLOGÍA**

En la caracterización física y geográfica de las cuencas hidrográficas del departamento de Santander con ayuda de los MDE se distinguen tres etapas:

- Recopilación de la información.
- Evaluación y control de calidad de la información.
- Procesamiento de la información.

Debido a la importancia que tienen estas fases se considera necesario hacer una descripción detallada de cada una de ellas, con el objeto de presentar en forma clara el procedimiento realizado.

### **Recopilación de la información**

La información cartográfica básica que se ha utilizado en el desarrollo del presente trabajo, se encuentra representada en las planchas cartográficas a escala 1:25000 del Instituto Geográfico Agustín Codazzi (IGAC). Esta información fue suministrada por el Grupo de Investigación en Geomática Gestión y Optimización de Sistemas adscrito a la Escuela de Ingeniería Civil de la Universidad Industrial de Santander.

Para realizar un estudio completo de las cuencas de los principales afluentes del departamento de Santander se requerían inicialmente un total de 387 planchas cartográficas IGAC (ver Figura 13). Teniendo en cuenta que en algunas cuencas su extensión cubría otros departamentos limítrofes a Santander y que en otras, la escala en la que se encontraba la información no permitía un nivel de detalle suficiente para desarrollar el presente trabajo, se tomó la decisión de realizar una reubicación de las divisorias de aguas disminuyendo así el área de trabajo y el número de planchas que se necesitaban en un principio (ver figura 14).

Figura 13. Distribución inicial de las planchas para las cuencas de los principales afluentes del departamento de Santander

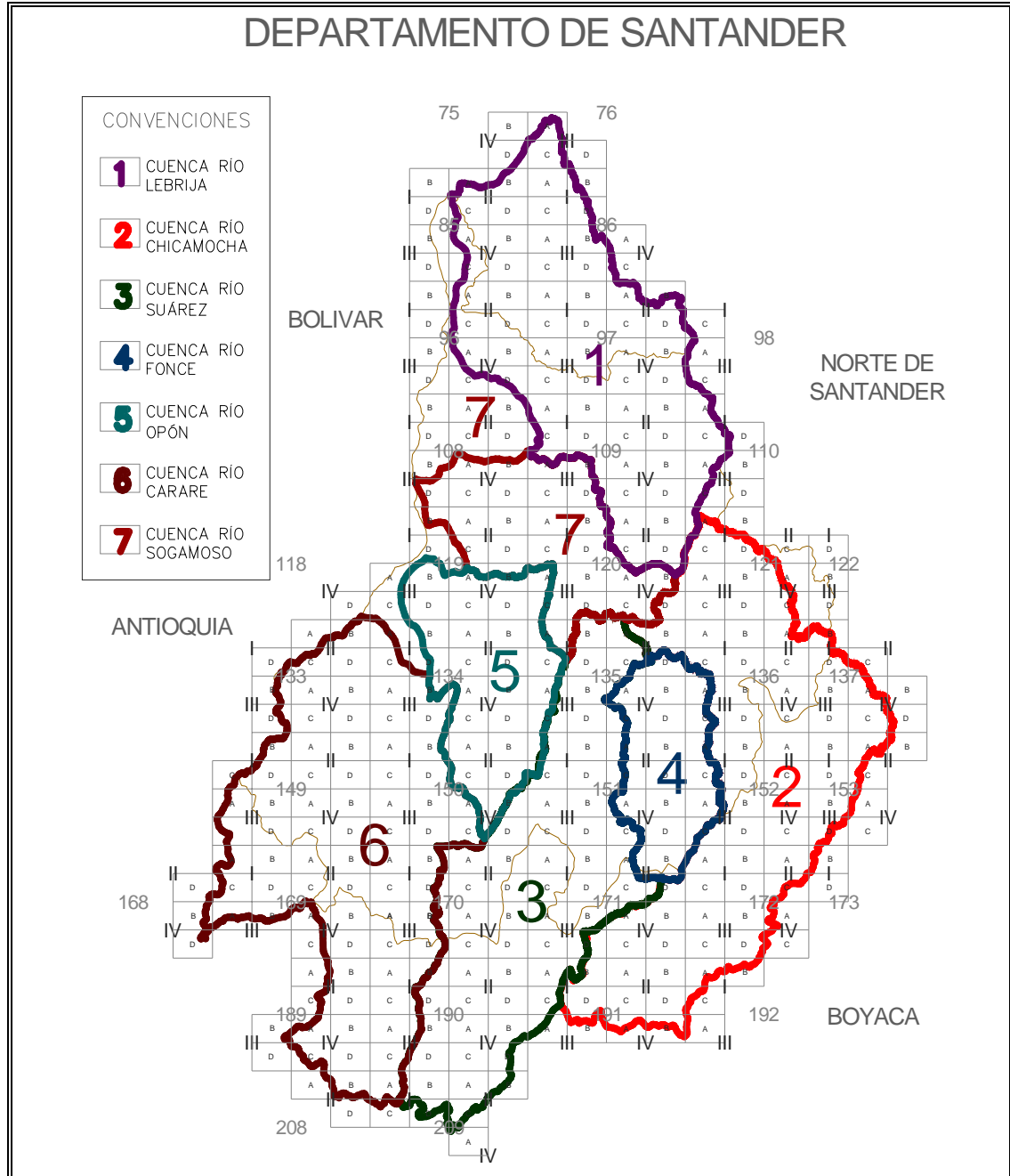
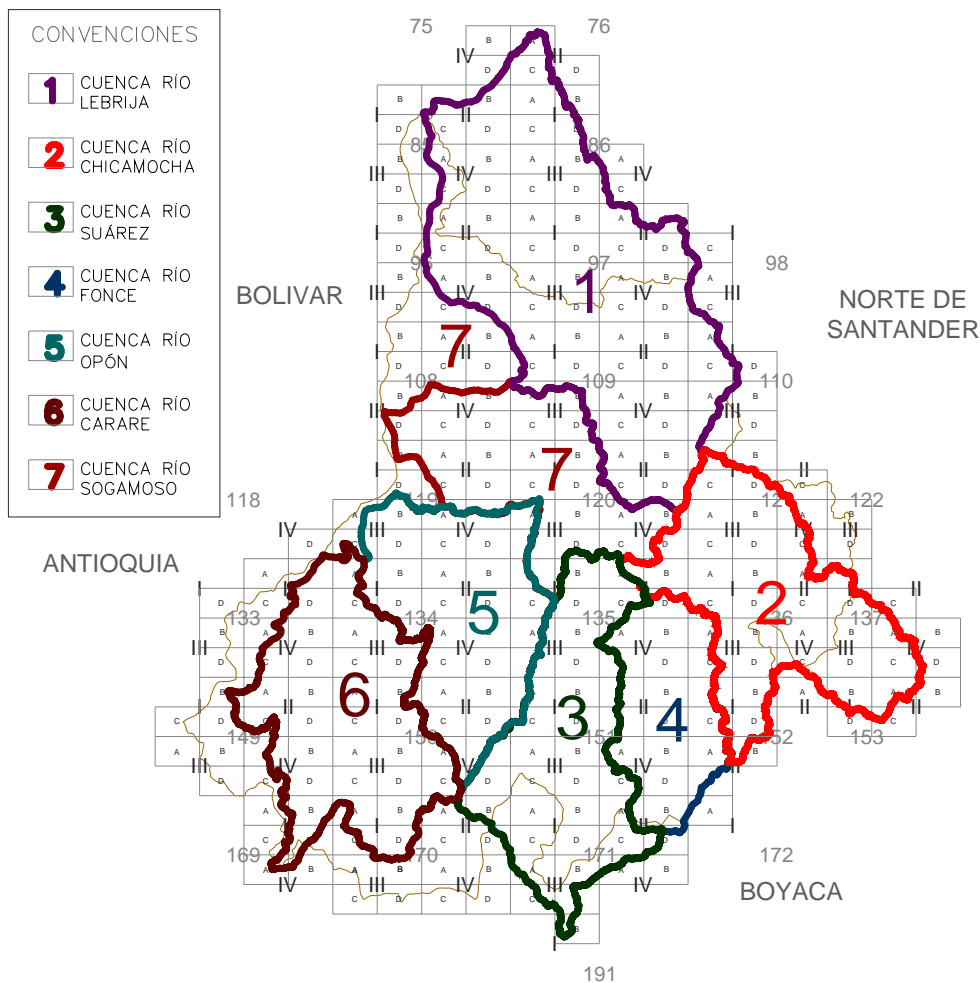


Figura 14. Distribución de las planchas para las cuencas trabajadas del departamento de Santander

# DEPARTAMENTO DE SANTANDER



En la tabla 1 se muestra la relación del número de planchas asignadas para cada una de las cuencas, para el estudio completo de cada una de ellas y para la zona trabajada finalmente. La información está clasificada de acuerdo al formato en que se encontró.

Tabla 1. Relación de la información inicial y la trabajada a nivel de planchas IGAC para cada una de las cuencas y clasificada según el formato.

No.	Nombre Cuenca	Información inicial				Información trabajada			
		Análogo Papel	Formato digital	Planchas Faltantes	Planchas Total	Análogo Papel	Formato digital	Planchas Faltantes	Planchas Total
1	Río Lebrija	-	-	-	-	-	-	-	-
2	Río Chicamocha	38	39	54	93	33	33	14	47
3	Río Suarez	38	49	33	82	38	43	6	49
4	Río Fonce	2	9	0	9	2	9	0	9
5	Río Opón	25	41	0	41	25	32	0	32
6	Río Carare	39	52	50	102	27	37	1	38
7	Río Sogamoso	25	38	10	48	25	38	10	48
TOTALES		167	228	147	375	150	192	31	223

De la tabla anterior se puede deducir que se utilizaron un total de 96 planchas cartográficas IGAC, de las cuales 76 estaban en formato digital. Esta información fue sometida inicialmente a un proceso de inspección y evaluación de cada uno de los elementos cartográficos, obteniendo deficientes resultados en cuanto al nivel de calidad requerido para cumplir con los objetivos del presente proyecto (ver más en el numeral ...5.2...).

Las 31 planchas faltantes para todas las cuencas se adquirieron por medio de copias heliográficas de las originales provenientes del IGAC y se distribuyeron entre los integrantes del grupo de manera equitativa, correspondiendo a cada persona un total de 3.1 planchas para ser sometidas a un proceso de digitalización manual.

El proceso de digitalización manual consta de dos partes, la primera es la digitalización de los elementos cartográficos con la ayuda de una tableta digitalizadora y la segunda corresponde a la revisión, mejoramiento y adecuación de la información con ayuda de la plancha cartográfica impresa. En la primera parte del proceso de digitalización una persona gasta en promedio 24 horas o más dependiendo de las características propias de la plancha. Este proceso comprende la digitalización de curvas de nivel, drenajes, caminos y carreteras, casas, municipios, límites y demás elementos cartográficos; cada uno de estos debe ser digitalizado en la capa correspondiente según la nomenclatura estándar del IGAC (ver anexo A). La segunda parte del proceso corresponde a la inserción de los textos, propiedades de elevación, color, estilo de línea, espesor de la línea y la revisión de todos los elementos para corregir los errores que se podían presentar en la primera parte. Este proceso requiere aproximadamente un promedio de 10 horas por plancha.

Considerando que para digitalizar completamente una plancha se requieren 34 horas-hombre, el tiempo utilizado en la digitalización de las 31 planchas faltantes fue de 1054 horas-hombre.

En el estudio de la cuenca del Río Suárez (3) se requirieron ochenta y dos (82) planchas IGAC distribuidas en los departamentos de Santander y Boyacá (ver figura 15) de acuerdo a la tabla. 2:

Tabla 2. Distribución de las planchas para la cuenca del río Suárez en cuanto a localización

**Distribución de las planchas para la Cuenca Río Suárez**

<b>LOCALIZACION</b>	<b>No. PLANCHAS</b>
Santander	36
Boyacá	29
Límite Santander-Boyacá	17
<b>TOTAL</b>	<b>82</b>

La relación de las planchas con la información correspondiente a su localización y formato se muestra en la tabla. 3.

Considerando el alcance del proyecto, la disponibilidad de información a nivel de planchas cartográficas IGAC, y teniendo en cuenta que sólo se va a estudiar la cuenca baja del Río Suárez, en total se requirieron cuarenta y nueve (49) planchas cartográficas (ver figura 16) distribuidas de acuerdo a la tabla 4:

Figura 15. Distribución de las planchas de acuerdo a su localización

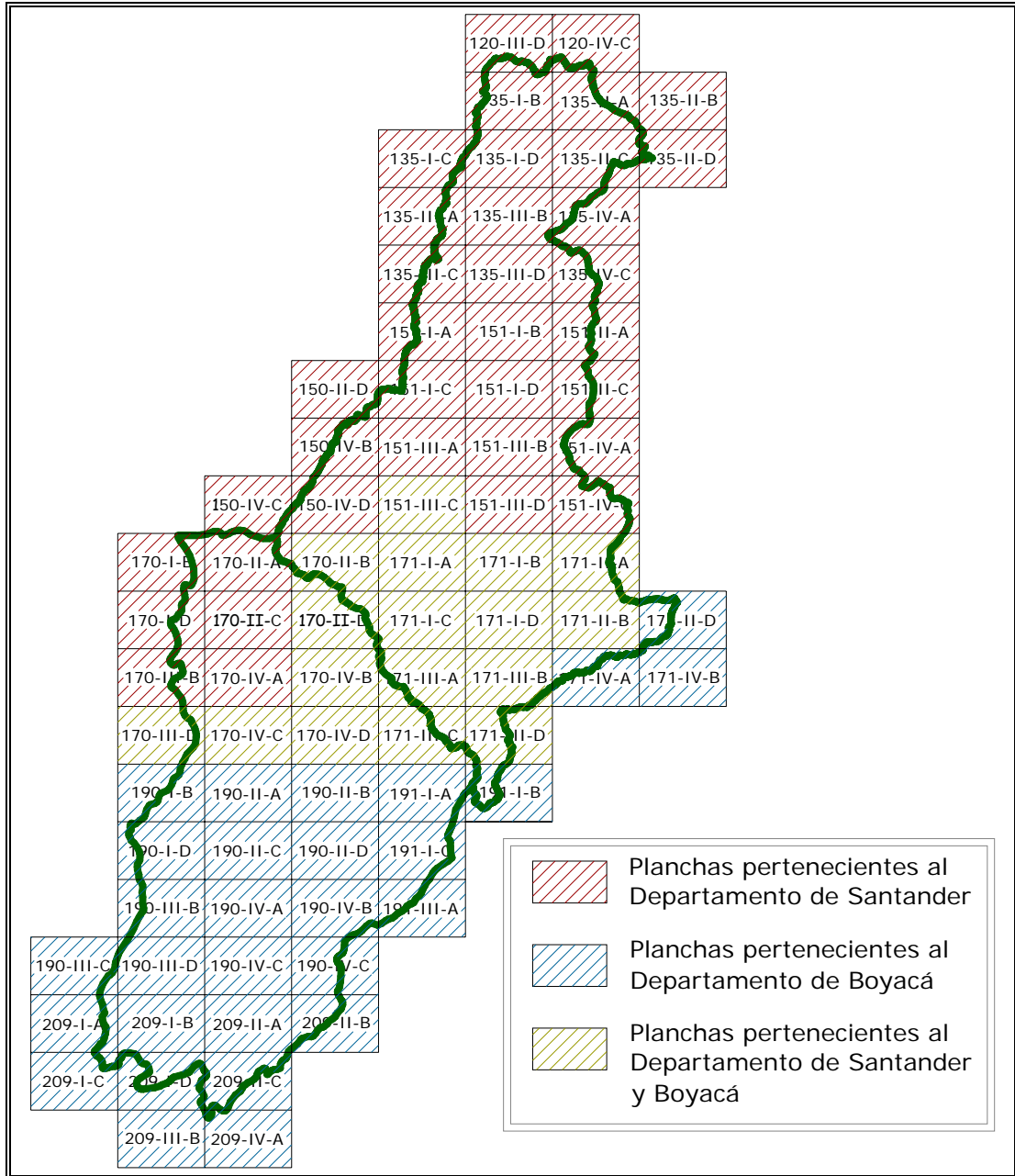


Tabla 3. Listado de las planchas IGAC con su localización y formato

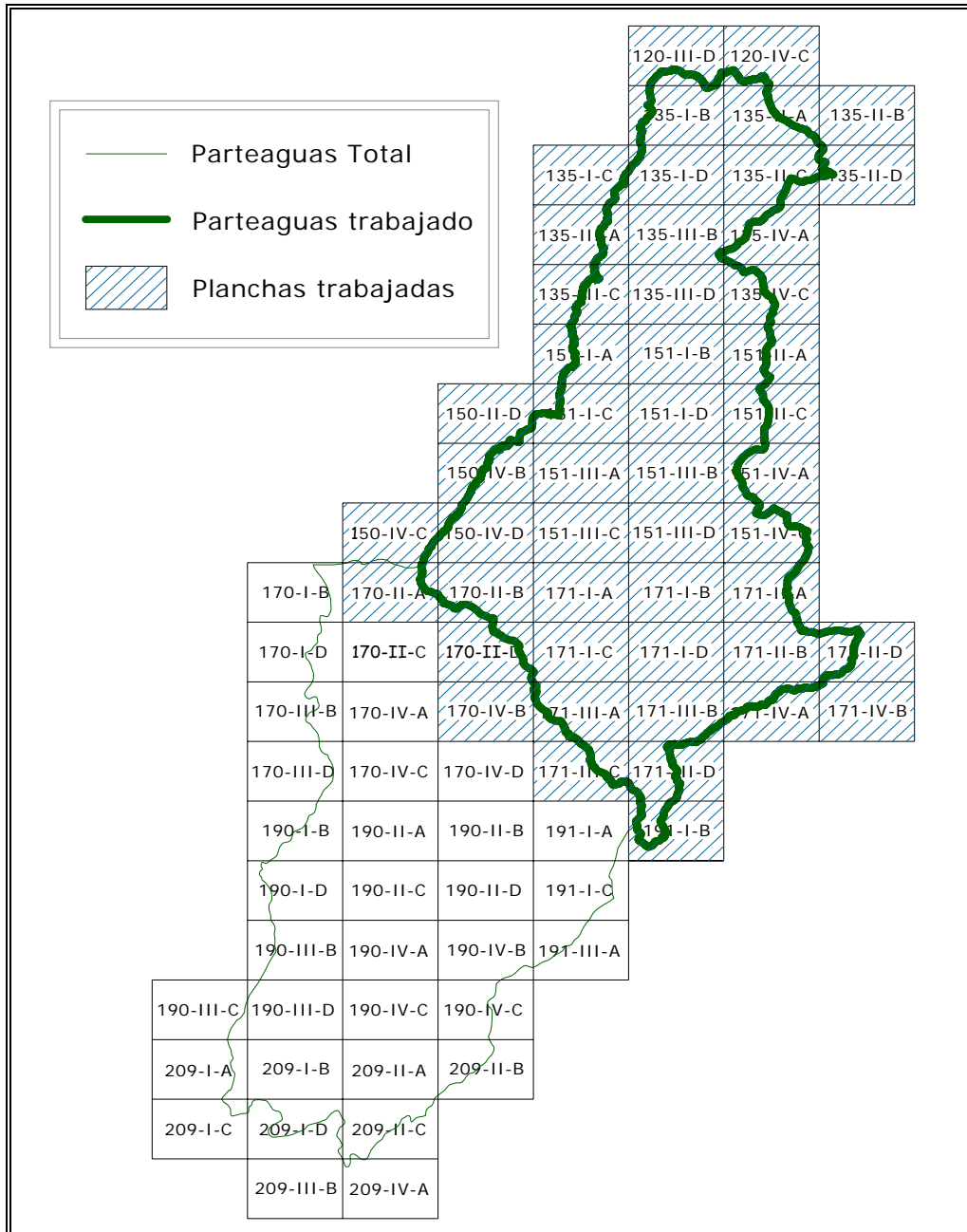
PLANCHA No.	DPTO	EXISTE FORM. IMPRESO	PLANCHA No.	PERTEN. SDER	EXISTE FORM. IMPRESO	PLANCHA No.	PERTEN. SDER	EXISTE FORM. IMPRESO
120-III-D	Santander	Si	151-III-D	Santander	Si	171-IV-B	Boyacá	No
120-IV-C	Santander	Si	151-IV-A	Santander	Si	190-I-B	Boyacá	No
135-I-B	Santander	Si	151-IV-C	Santander	Si	190-I-D	Boyacá	No
135-I-C	Santander	Si	170-I-B	Santander	No	190-II-A	Boyacá	No
135-I-D	Santander	Si	170-I-D	Santander	Si	190-II-B	Boyacá	No
135-II-A	Santander	Si	170-II-A	Santander	Si	190-II-C	Boyacá	No
135-II-B	Santander	Si	170-II-B	Sder/Boyacá	Si	190-II-D	Boyacá	No
135-II-C	Santander	Si	170-II-C	Santander	Si	190-III-B	Boyacá	No
135-II-D	Santander	Si	170-II-D	Sder/Boyacá	Si	190-III-C	Boyacá	No
135-III-A	Santander	Si	170-III-B	Santander	Si	190-III-D	Boyacá	No
135-III-B	Santander	Si	170-III-D	Sder/Boyacá	No	190-IV-A	Boyacá	No
135-III-C	Santander	Si	170-IV-A	Santander	Si	190-IV-B	Boyacá	No
135-III-D	Santander	Si	170-IV-B	Sder/Boyacá	Si	190-IV-C	Boyacá	No
135-IV-A	Santander	Si	170-IV-C	Sder/Boyacá	Si	190-IV-D	Boyacá	No
135-IV-C	Santander	Si	170-IV-D	Sder/Boyacá	No	191-I-A	Boyacá	No
150-II-D	Santander	Si	171-I-A	Sder/Boyacá	Si	191-I-B	Boyacá	No
150-IV-B	Santander	Si	171-I-B	Sder/Boyacá	Si	191-I-C	Boyacá	No
150-IV-C	Santander	Si	171-I-C	Sder/Boyacá	Si	191-III-A	Boyacá	No
150-IV-D	Santander	Si	171-I-D	Sder/Boyacá	Si	209-I-A	Boyacá	No
151-I-A	Santander	Si	171-II-A	Sder/Boyacá	Si	209-I-B	Boyacá	No
151-I-B	Santander	Si	171-II-B	Sder/Boyacá	Si	209-I-C	Boyacá	No
151-I-C	Santander	Si	171-II-D	Boyacá	Si	209-I-D	Boyacá	No
151-I-D	Santander	Si	171-III-A	Sder/Boyacá	Si	209-II-A	Boyacá	No
151-II-A	Santander	Si	171-III-B	Sder/Boyacá	Si	209-II-B	Boyacá	No
151-II-C	Santander	Si	171-III-C	Sder/Boyacá	Si	209-II-C	Boyacá	No
151-III-A	Santander	No	171-III-D	Sder/Boyacá	Si	209-III-B	Boyacá	No
151-III-B	Santander	No	171-IV-A	Boyacá	No	209-IV-A	Boyacá	No
151-III-C	Sder/Boyacá	Si						

Tabla 4. Distribución de las planchas utilizadas en la zona de estudio

**Distribución de planchas para el Área real trabajada de la cuenca**

LOCALIZACION	No. PLANCHAS
Santander	31
Boyacá	4
Límite Santander-Boyacá	14
<b>TOTAL</b>	<b>49</b>

Figura 16. Planchas utilizadas en el estudio de la Cuenca Baja del Río Suárez



En la tabla 5 se presenta un listado de las planchas trabajadas para la zona de estudio de la cuenca del Río Suárez.

Tabla 5. Listado de las planchas reales trabajadas por zona de estudio

### LISTADO DE LAS PLANCHAS

NUMERACION	PLANCHA	NUMERACION	PLANCHA
1	120-III-D	26	151-III-A
2	120-IV-C	27	151-III-B
3	135-I-B	28	151-III-C
4	135-I-C	29	151-III-D
5	135-I-D	30	151-IV-A
6	135-II-A	31	151-IV-C
7	135-II-B	32	170-II-A
8	135-II-C	33	170-II-B
9	135-II-D	34	170-II-D
10	135-III-A	35	170-IV-B
11	135-III-B	36	171-I-A
12	135-III-C	37	171-I-B
13	135-III-D	38	171-I-C
14	135-IV-A	39	171-I-D
15	135-IV-C	40	171-II-A
16	150-II-D	41	171-II-B
17	150-IV-B	42	171-II-D
18	150-IV-C	43	171-III-A
19	150-IV-D	44	171-III-B
20	151-I-A	45	171-III-C
21	151-I-B	46	171-III-D
22	151-I-C	47	171-IV-A
23	151-I-D	48	171-IV-B
24	151-II-A	49	191-I-B
25	151-II-C		

De las cuarenta y nueve (49) planchas que requiere el estudio de la cuenca baja del Río Suárez, cuarenta y tres (43) se encontraron en formato digital. Esta información fue suministrada por el grupo de Investigación en Geomática, Gestión y Optimización de Sistemas; las seis (6) planchas restantes se adquirieron por medio de copias heliográficas de las originales del IGAC para ser digitalizadas siguiendo los lineamientos de digitalización de dicho instituto y siguiendo el mismo procedimiento enunciado anteriormente (ver figura 17 y tabla 6).

Figura 17. Planchas encontradas en formato digital y planchas digitalizadas

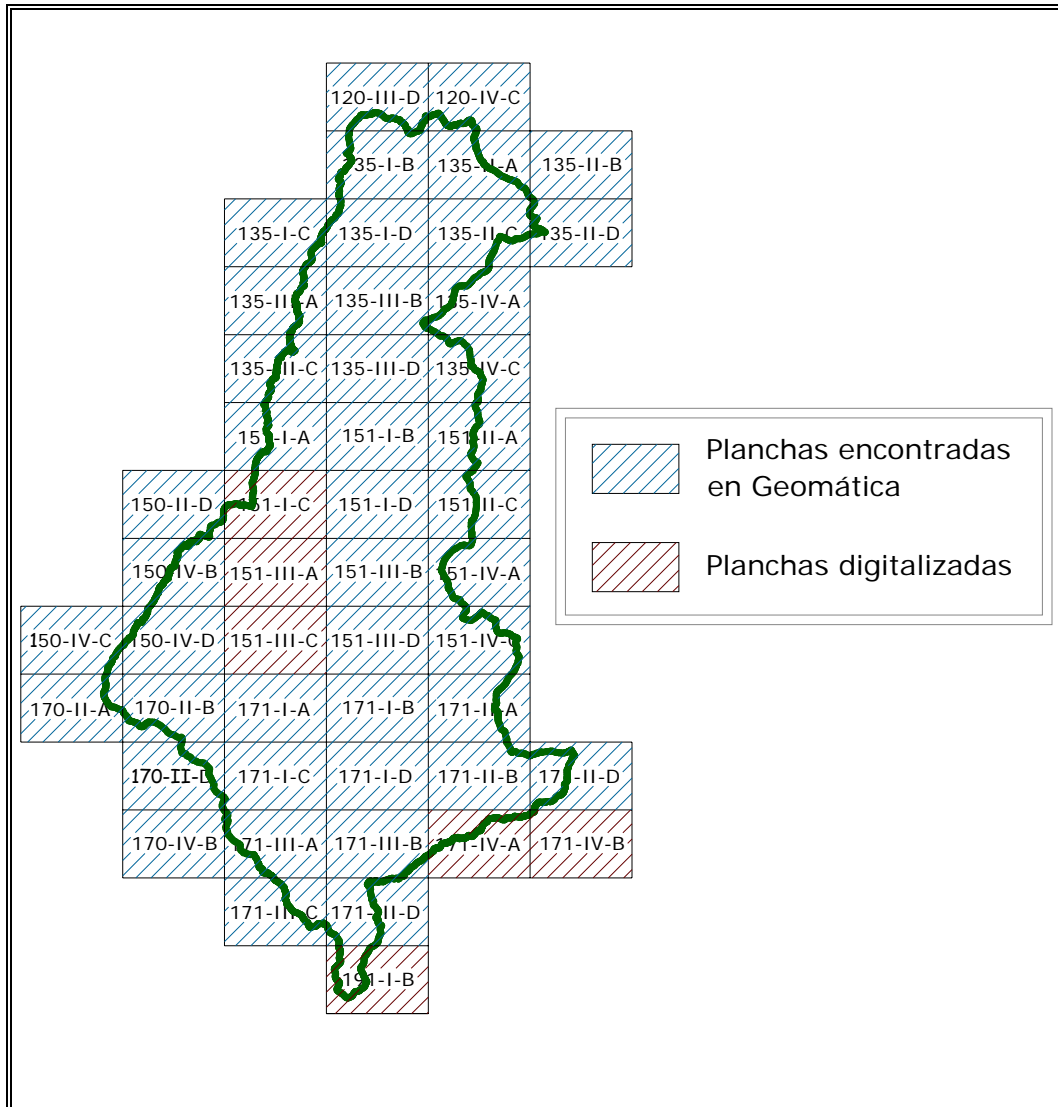


Tabla 6. Listado donde se relacionan las planchas con su fuente de adquisición

**Planchas trabajadas**

PLANCHA No.	FUENTE	PLANCHA No.	FUENTE
120-III-D	Geomatica	151-III-A	Digitalizado
120-IV-C	Geomatica	151-III-B	Geomatica
135-I-B	Geomatica	151-III-C	Digitalizado
135-I-C	Geomatica	151-III-D	Geomatica
135-I-D	Geomatica	151-IV-A	Geomatica
135-II-A	Geomatica	151-IV-C	Geomatica
135-II-B	Geomatica	170-II-A	Geomatica
135-II-C	Geomatica	170-II-B	Geomatica
135-II-D	Geomatica	170-II-D	Geomatica
135-III-A	Geomatica	170-IV-B	Geomatica
135-III-B	Geomatica	171-I-A	Geomatica
135-III-C	Geomatica	171-I-B	Geomatica
135-III-D	Geomatica	171-I-C	Geomatica
135-IV-A	Geomatica	171-I-D	Geomatica
135-IV-C	Geomatica	171-II-A	Geomatica
150-II-D	Geomatica	171-II-B	Geomatica
150-IV-B	Geomatica	171-II-D	Geomatica
150-IV-C	Geomatica	171-III-A	Geomatica
150-IV-D	Geomatica	171-III-B	Geomatica
151-I-A	Geomatica	171-III-C	Geomatica
151-I-B	Geomatica	171-III-D	Geomatica
151-I-C	Digitalizado	171-IV-A	Digitalizado
151-I-D	Geomatica	171-IV-B	Digitalizado
151-II-A	Geomatica	191-I-B	Digitalizado
151-II-C	Geomatica		

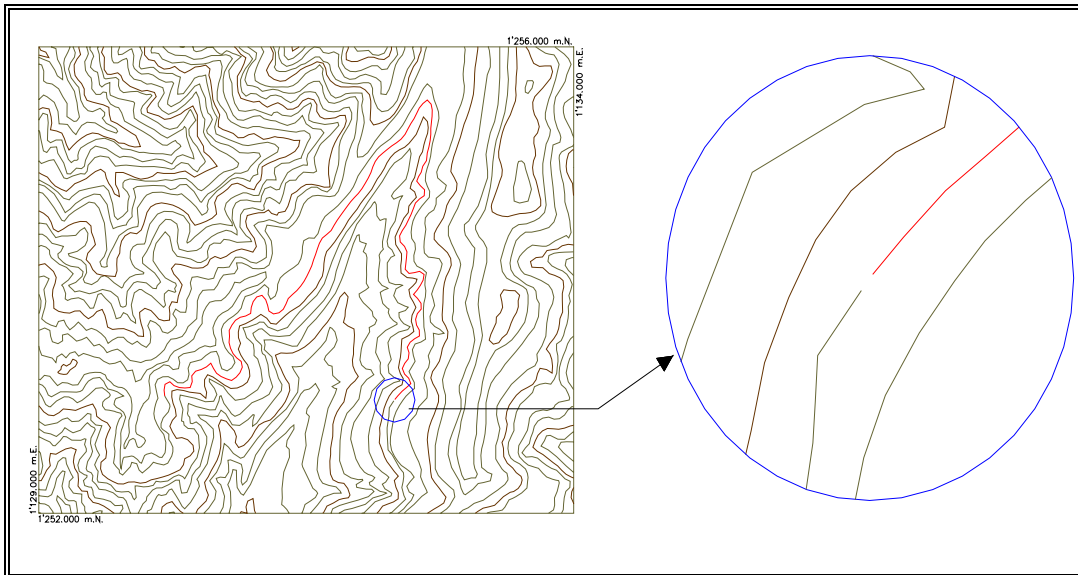
**Control de calidad de la información**

El proceso de inspección y evaluación consistía en una revisión detallada de cada uno de los elementos, es decir, se seleccionaba uno por uno y se examinaba su continuidad, correspondencia con la capa indicada según la nomenclatura avalada por el IGAC (ver anexo A) y propiedades tales como elevación, color, estilo de línea, espesor de la línea, ubicación de los textos, estilo y tamaño de texto, etc.

Considerando las bajas condiciones de calidad en que se encontraba la información y teniendo en cuenta que no cumplía con los requerimientos establecidos por el IGAC, se sometió a un proceso de depuración y mejoramiento, resumido en los siguientes ítems: Si el elemento seleccionado no era continuo a lo largo de la plancha, con la ayuda de un comando que permite la edición y unión de líneas se procedía a pegar las partes, al ejecutar este comando se podían presentar dos situaciones, primero, que se pegaran las líneas y segundo que se diera el caso contrario. Esto último se podía presentar por dos causas.

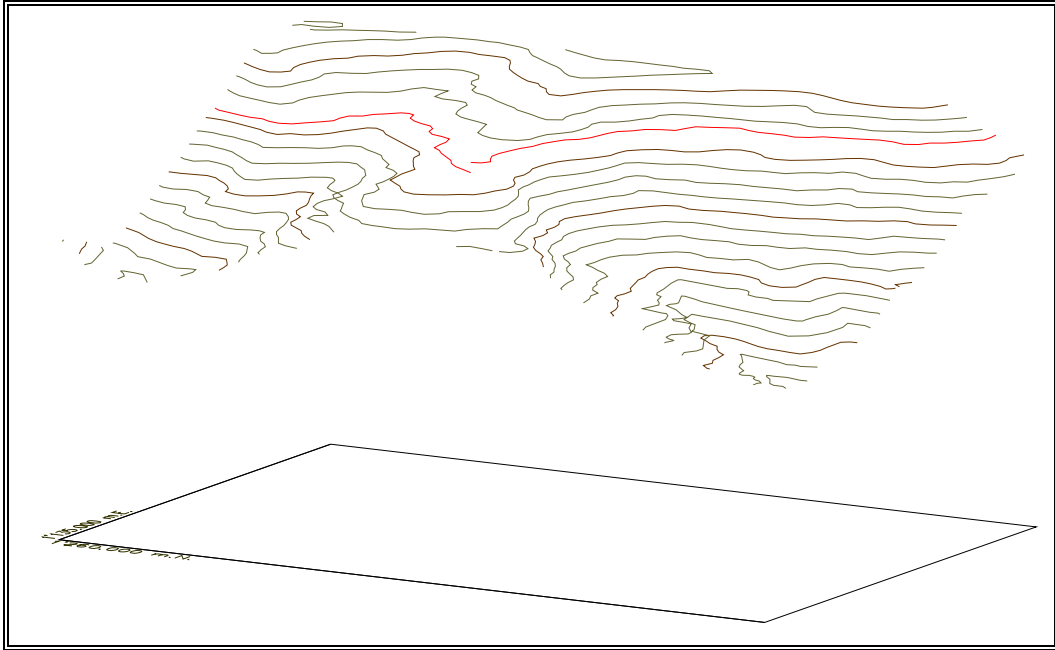
- Caso 1: Cuando los extremos de las líneas no coincidían en un nodo (ver figura 18).

Figura 18. Curva de nivel no continua. A la izquierda se observa resaltada la curva de nivel y a la derecha el detalle del motivo por el cual no se ejecutaría correctamente el comando. Tomado de la plancha 121-III-A



- Caso 2: Cuando las elevaciones de los elementos a unir son diferentes (ver figura 19).

Figura 19. Curva de nivel no continua. Los elementos resaltados muestran la diferencia de nivel, motivo por el cual no se ejecutaría correctamente el comando



Cuando el nodo final de un elemento no coincidía con el nodo del elemento al cual debería llegar. Por ejemplo, un río drenando a otro como en los casos de las figuras 20 y 21, se debía usar un comando que permitiera extender o acortar la línea de tal forma que se lograra la coincidencia de los nodos. En la figura 20 se observa que el extremo del elemento no llega al nodo del elemento al que debería llegar y en la figura 21 el nodo final se pasa del nodo. Este caso se puede presentar además en caminos, carreteras y coordenadas.

Figura 20. Nodo final de la línea que no coincide con el nodo al que debería llegar. A la izquierda se muestra el problema y a la derecha el detalle de este

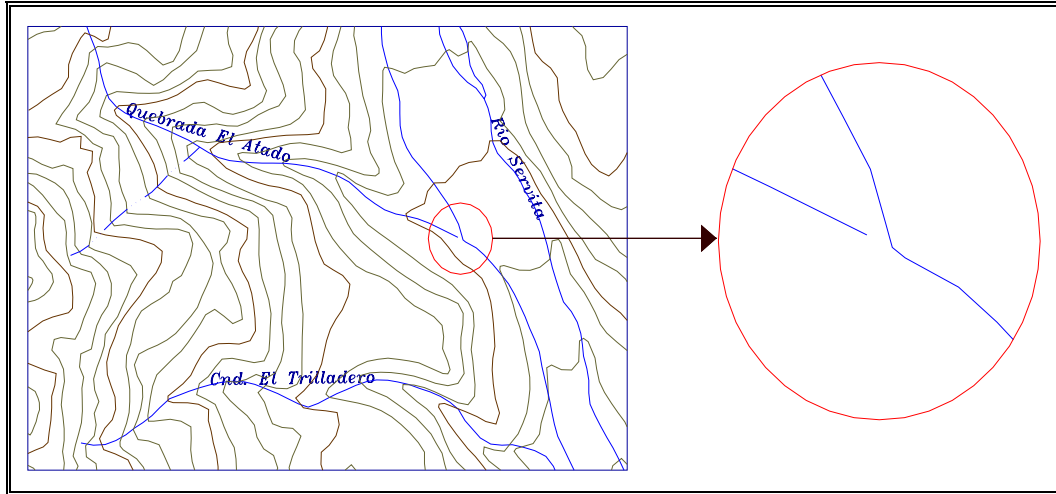
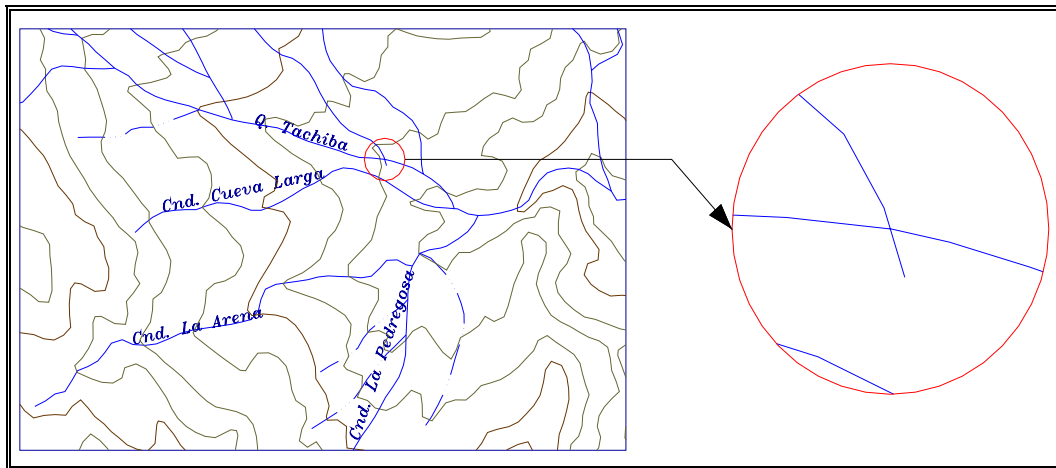
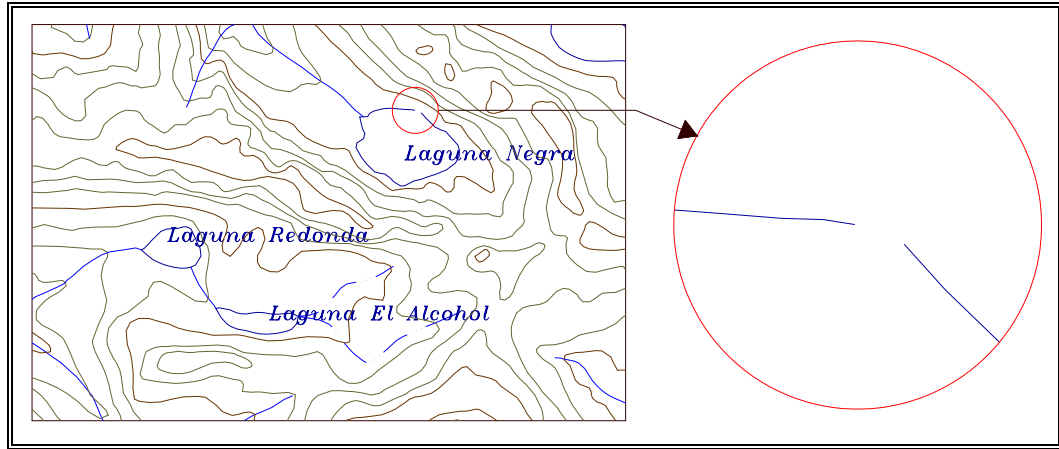


Figura 21. Nodo final de la línea que se pasa del nodo al que debería llegar. A la izquierda se muestra el problema y a la derecha el detalle de este



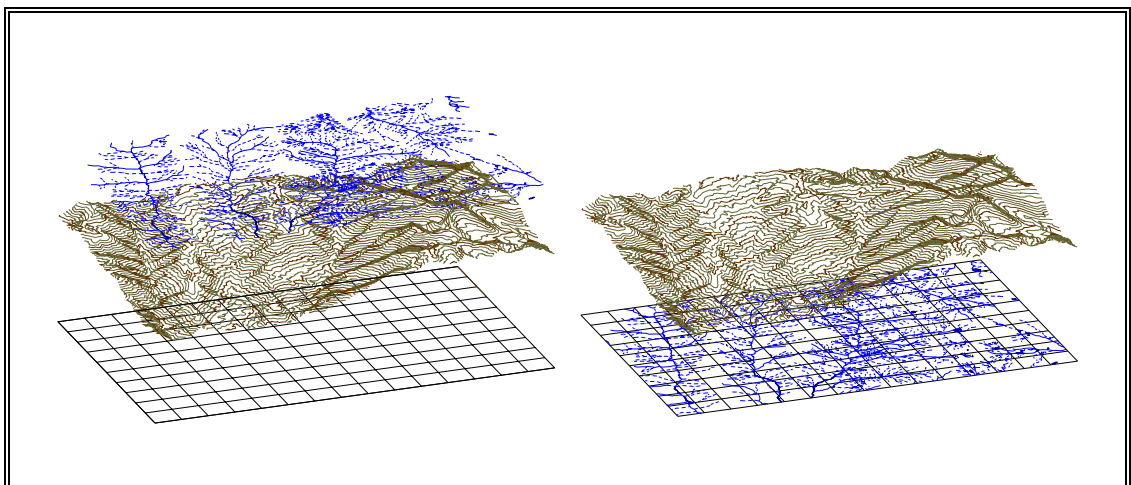
1. Cuando los elementos cerrados que denotaban áreas como lagunas, lagos, ciénagas, islas, áreas de inundación, bancos de arena, curvas de nivel, etc. no constituían un polígono sino una línea esta se debía cerrar para que lo fuera (ver figura 22).

Figura 22. Ejemplo de una laguna que no es un polígono cerrado. Tomado de la plancha 152-III-C



1. Atendiendo a los lineamientos de digitalización los únicos elementos que deben tener la propiedad de elevación son las curvas de nivel, por tal motivo, se debían revisar cada uno de los elementos cartográficos para comprobar que tuvieran elevación cero. Así mismo las curvas de nivel debían obedecer a una secuencia lógica en cuanto a elevación considerando que debían presentarse cada 50 m según la escala en que se trabaja (ver figura 23).

Figura 23. Ejemplo donde otros elementos diferentes de las curvas de nivel tenían elevación. Tomado de la plancha 121-I-D



1. Con ayuda de la plancha en formato impreso se verifica que toda la información presente en esta se encuentre en el formato digital, si no debe insertarse todo lo que haga falta. Los elementos que comúnmente hacían falta en las planchas cartográficas eran las casas, caseríos, veredas, municipios, nombres de estos, textos de carreteras, elementos hipsográficos como lomas y picos y textos de las curvas de nivel.

En cada plancha cartográfica se revisaron en promedio 1000 elementos, logrando así en la mayoría de estas un nivel de calidad apropiado para el desarrollo del presente trabajo. Sin embargo existían algunas donde la falta de información en formato impreso no permitía garantizar la veracidad de los elementos contenidos en el formato digital y en otros casos la escasez de información a causa de una nube hacía casi imposible trabajar con ella.

La presencia de una nube en una plancha cartográfica surge en una de las etapas del proceso cartográfico adelantado por el IGAC para elaborar la carta del territorio nacional. Esta etapa se conoce como restitución o elaboración del mapa a partir de la fotografía aérea. En algunas ocasiones suele suceder que ésta no cumple con las normas técnicas o que en el momento de la toma de la fotografía, las condiciones climáticas no hayan sido las más favorables y existan zonas que no tuvieran la suficiente visibilidad dando lugar a las nubes presentes en las planchas convencionales. Cuando esto sucede, es necesario realizar una evaluación crítica de la información existente, realizar un análisis de todos los elementos vecinos y determinar cuáles y cuántos elementos cartográficos no son continuos en el área de interés con el fin de iniciar un proceso de restauración de los mismos, garantizando su continuidad. De esta forma las curvas de nivel, los drenajes y demás elementos de importancia son reconstruidos en la zona de la nube de manera lógica y secuencial.

En algunas planchas involucradas en la zona de estudio se presentan problemas con nubes de gran extensión, lo cual impide la restauración total de la información. La necesidad de manejar la información cartográfica lo mas completa posible para efectos de este proyecto, implica tomar la decisión de restituir y reconstruir las zonas con un grado de complejidad bajo. (ver figura 24 y 25).

Figura 24. Ejemplo de Reconstrucción de la Información Cartográfica. Imágenes tomadas de la plancha 135-I-B

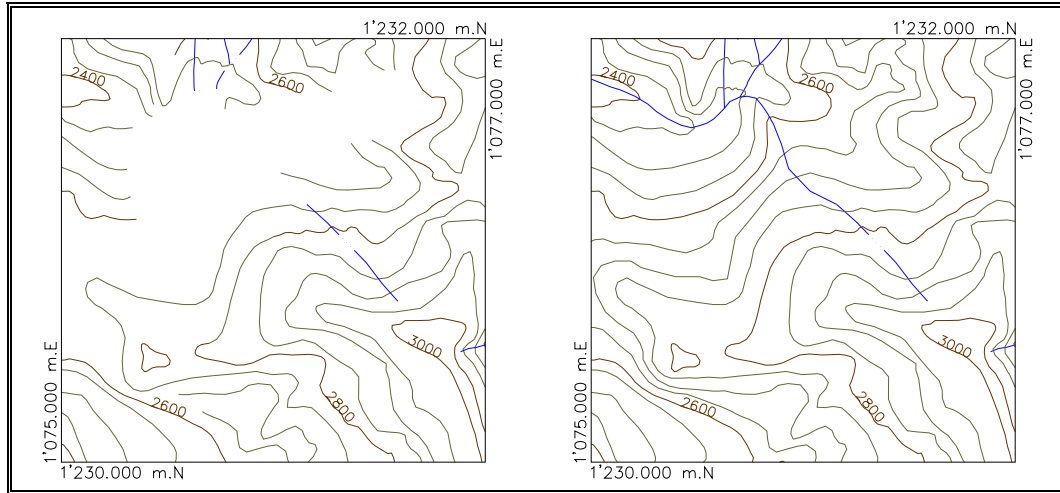
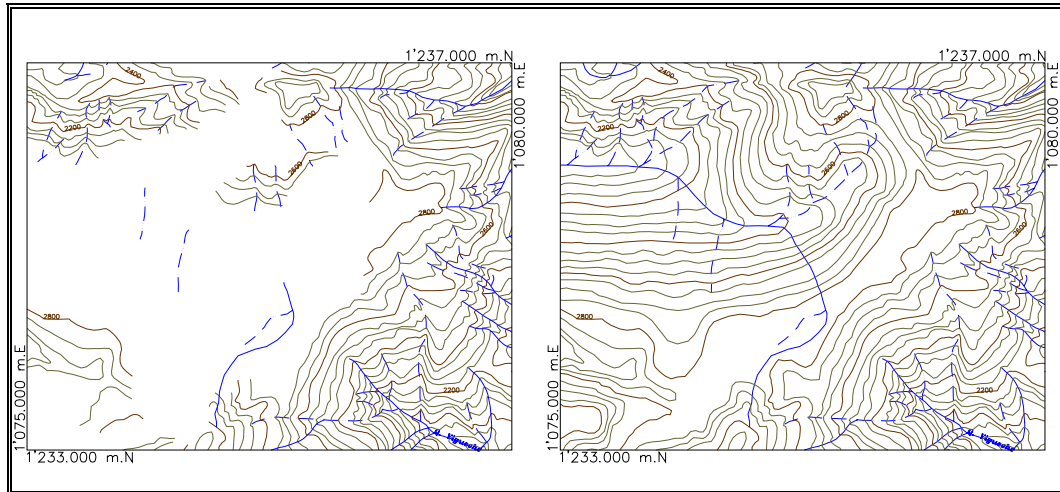


Figura 25. Ejemplo de Restitución de la Información Cartográfica. Imágenes tomadas de la plancha 135-I-B



En la tabla. 7 se muestra las planchas que presentaron nubes en la cuenca del río Suárez, el porcentaje de ellas y el porcentaje de restitución con respecto al área total de la plancha.

Tabla 7. Planchas con restitución cartográfica en la zona de estudio

### Planchas Restituidas

PLANCHA No.	PORCENTAJE DE NUBES [%]	PORCENTAJE RESTITUIDO [%]
120 - III - D	8,67	8,67
135 - I - B	10,13	10,13
135 - I - C	26,36	26,36
135 - III - A	12,06	12,06
135 - III - C	13,81	13,81
150 - IV - B	11,44	11,44
150 - IV - C	4,88	4,88
151 - I - A	12,43	12,43
151 - I - C	3,50	3,50
151 - I - D	16,82	2,31
151 - III - A	47,57	6,26
151 - III - C	2,58	2,58
151 - IV - C	5,09	5,09
171 - IV - A	0,31	0,31

Los porcentajes se calculan con respecto al área total de la plancha que es 150 Km<sup>2</sup>.

Terminado el proceso de revisión y restitución de las planchas que presentaban discontinuidades en su topografía (incluidas aquellas en las que no se pudo restituir ninguna nube y en las que la restitución fue parcial), se procede a evaluar la calidad de las mismas. Debido a que las planchas IGAC pueden ser utilizadas en diferentes proyectos de ingeniería y dependiendo de la cantidad y calidad (referido a calidad en cuanto al porcentaje de nubes restituidos), estas planchas pueden ser importantes en determinados estudios. Es por ello que se ha tomado la decisión que el usuario que acceda a la información consignada en las planchas es quien determine la calidad de las mismas, en otras palabras, por citar un ejemplo, si una determinada plancha sólo tiene la topografía del lugar incluyendo los ríos, sin tener digitalizados los caminos, la plancha en mención será de una calidad excelente en cuanto a estudios de tipo hídricos e hidráulicos. Sin embargo en cuanto a estudios viales, será de una calidad reprobable ya que no va a existir georreferenciación ni forma de continuar una carretera ni están las vías en el plano. Teniendo en cuenta lo anterior, se decide establecer un indicativo en el que se evalúe el estado de la información para cada una de las capas de la versión digital con respecto a la versión en papel. Para ello, existen cuatro niveles en los que se puede clasificar la información:

- La información se encuentra totalmente digitalizada con respecto a la versión en papel.
- La información se encuentra parcialmente digitalizada con respecto a la versión en papel.

- La información no se encuentra digitalizada con respecto a la versión en papel.
- La información no se encuentra en la versión en papel.

### **Procesamiento de la información**

El procesamiento de la información constituye una de las etapas fundamentales en el desarrollo de la metodología de trabajo. Su objeto consiste en adaptar y organizar la información con el fin de facilitar los procesos de manejo y manipulación de la misma.

A continuación se describe de manera particular cada una de las etapas de adecuación de la información con el fin de realizar un procesamiento óptimo de esta y adaptarla a la estructura de datos necesaria para la visualización de la misma (ver más en el capítulo 7).

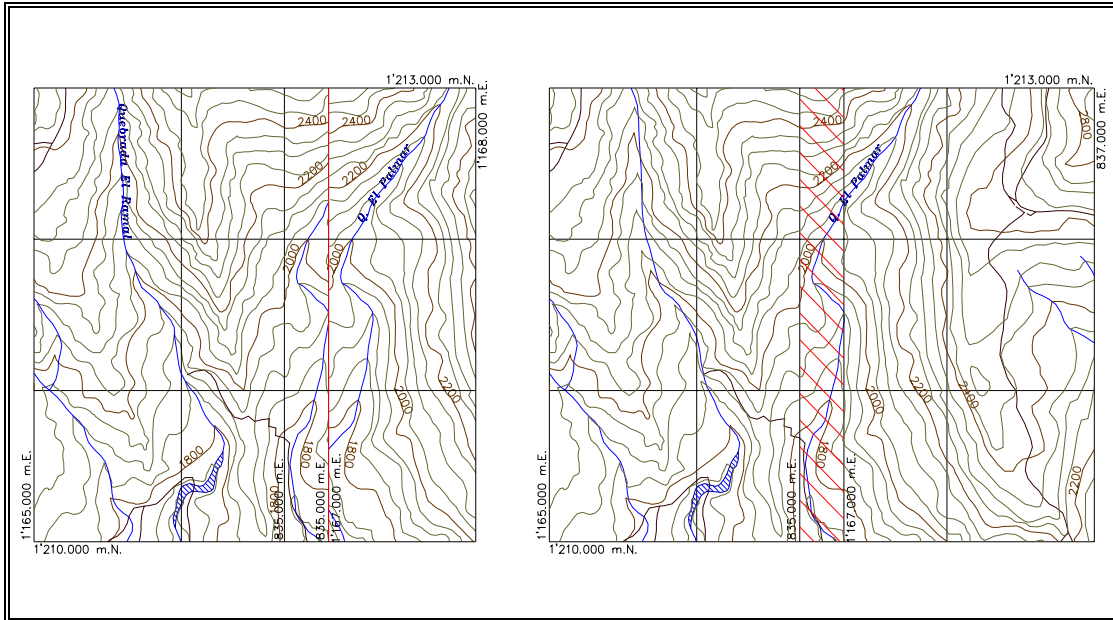
**4.3.1 Unión de planos.** Finalizados los procesos de revisión, organización, comprobación y corrección de los elementos cartográficos representados en las planchas, se deben colocar los planos contiguos y verificar los empalmes con los adyacentes detallando la continuidad de elementos tales como, curvas de nivel, drenajes, caminos, vías, límites municipales, departamentales, consistencia en las coordenadas, en los valores de acotamiento de las curvas de nivel y demás elementos representados en las planchas. En caso de que existan dos elementos que no coincidan en el empalme, estos deben ser modificados moviendo sus extremos hasta hacerlos coincidir. A continuación se ilustran las diferentes situaciones que se presentaron en el momento de unir los planos y como fueron solucionados.

- Caso 1: Cuando las coordenadas no coinciden.

En algunas planchas, especialmente cuando éstas no pertenecían al departamento de Santander, se encontró un problema de coordenadas al unir los planos. Por ejemplo, la cartografía básica de Boyacá, tiene una coordenada en el Este diferente a la que tienen las planchas de Santander, por lo tanto, al unir los planos no siempre coincidían en el empalme (línea roja). Las planchas de Santander involucradas presentaban una línea con la coordenada de las planchas de Boyacá, haciendo referencia que desde allí los elementos coincidían. Se tomó entonces la decisión de superponer las planchas en una coordenada

específica y en esa zona (achurada) hacer los elementos coincidir, mover los puntos de las líneas hasta hacerlos continuos totalmente. (Ver figura 26).

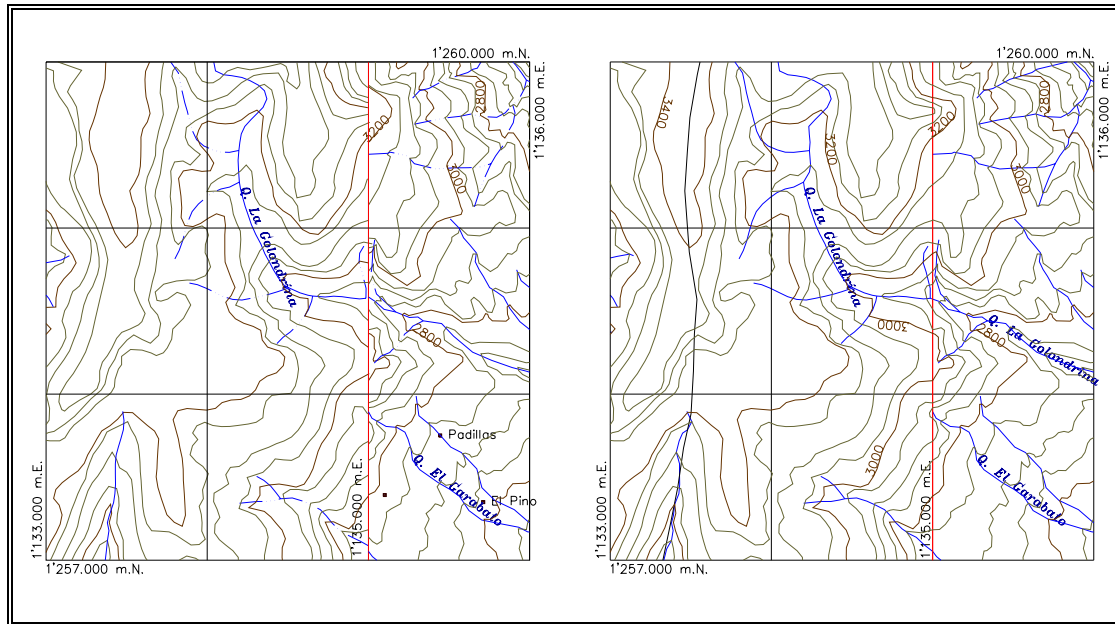
Figura 26. Ejemplo caso 1: unión de los planos 136-IV-A y 137-III-B. A la izquierda se observa que en el empalme (línea roja) los elementos no coinciden y a la derecha la solución por la que se optó para hacer coincidir los elementos



- Caso 2: Cuando los elementos no coinciden

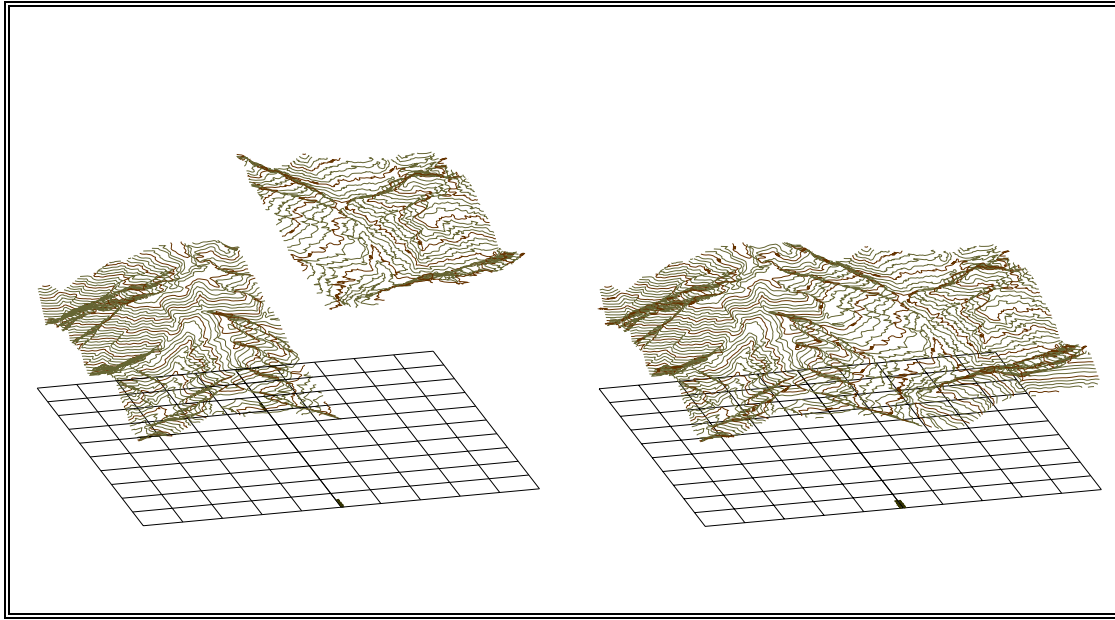
En el momento de unir las planchas, elementos como curvas de nivel, drenajes, vías no coinciden. En el empalme deben moverse los puntos extremos hasta hacerlos coincidir, con el criterio de la continuidad lógica de los elementos. ( ver figura 27).

Figura 27. Ejemplo Caso 2: Unión de las planchas 121-III-A y 121-III-B. A la izquierda se visualiza que los elementos no coinciden y a la derecha la solución que se dio



- Caso 3: Este caso se presenta cuando las elevaciones de los elementos no coinciden en el empalme de las planchas. Esto sucede por dos motivos: primero cuando las elevaciones de los elementos son erróneas y segundo cuando por errores de digitalización se han desplazado todos los elementos por no establecer el nivel de referencia en las coordenadas (0, 0, 0) sino que se le ha dado un valor a la coordenada en Z. Para dar solución al primer caso, debe hacerse una inspección de todas las planchas contiguas para conocer la verdadera elevación de los elementos y después si proceder a unirlas y para el segundo caso, toda la información debe desplazarse al nivel de referencia correcto. En la figura 28 se muestra un ejemplo de este caso.

Figura 28. Ejemplo Caso 3: Unión las planchas 121-III-A y 121-III-B. A la izquierda se observa que existe un desfase en la elevación de las curvas de nivel en el empalme de las planchas y a la derecha las curvas de nivel empalmadas después de desplazarlas a la elevación correcta



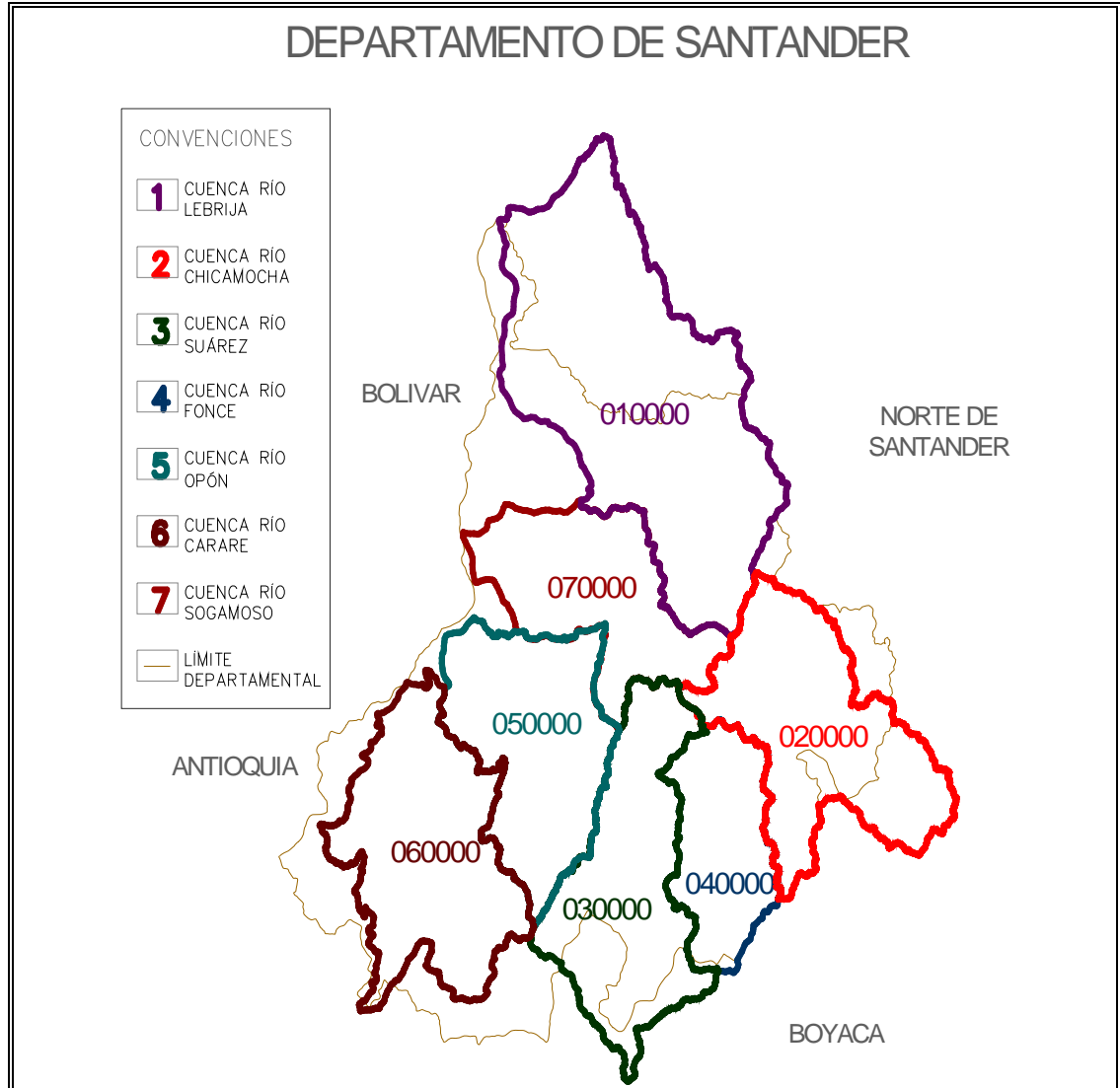
Una vez realizadas las modificaciones pertinentes, se inicia la unión de los elementos garantizando así su continuidad.

Finalizada la etapa de unión de los planos se procede a la nomenclatura y estandarización de la información, el archivo que contiene las planchas unidas que conforman la cuenca principal del Río Suárez, lleva por nombre 030000.dwg, En este número los dos primeros dígitos corresponden al número de la cuenca en el departamento de Santander (ver figura 29). Estos dígitos identificarán todos los archivos derivados de la cuenca principal. Los elementos cartográficos presentes en el archivo de la cuenca principal están representados en las capas correspondientes de acuerdo con la nomenclatura y tablas de distribución de capas establecidas por el IGAC (ver anexo A). Adicionalmente se crearon nuevas capas que permiten la identificación de las planchas y las zonas que fueron restituidas:

- Nubes: contiene la polilínea cerrada del área restituida de la plancha.
- Planchas: contiene el texto y el marco de las planchas asociadas.

La nomenclatura de los archivos de las planchas en formato digital siguen el mismo patrón de la nomenclatura del IGAC de la siguiente forma: la plancha 151-III-A se denomina 151-III-A.dwg. La información presente en las planchas cartográficas está representada en las capas con la nomenclatura avalada por el IGAC. Al igual que en el archivo de la cuenca principal se hizo necesario adicionar la capa nubes y una capa identificada como nombre que contenía la nomenclatura de la plancha, por ejemplo 153-I-B

Figura 29. Codificación de las cuencas principales del departamento de Santander



**4.3.2 División hidrológica de la cuenca.** El trazado preliminar del parteaguas de una cuenca consiste en un proceso visual que delimita la cuenca a partir de los puntos de mayor elevación y de la red de drenaje. La división hidrológica aplicada a este proyecto obedece a la metodología de Horton y se desarrolla en tres partes teniendo en cuenta la gran extensión de la cuenca principal y la necesidad de hacer más específico el estudio:

- El trazado de la cuenca principal limitado por el área geográfica del departamento de Santander.
- El trazado de cuencas de primera división correspondientes a los afluentes del cauce principal y en algunos casos a secciones del tramo principal (Río Suárez).
- El trazado de cuencas de segunda división correspondientes a los afluentes de las cuencas de primera división teniendo que en la gran mayoría de los casos se hace necesario la subdivisión por la extensión de la cuenca o por las características de la red de drenaje.

En casos particulares, cuando las cuencas de primera división no poseen subdivisiones, se asume como cuenca de segunda división la misma cuenca.

Siguiendo el proceso descrito anteriormente se obtiene lo siguiente: cuenca principal, y cuencas de primera y de segunda división como se muestra en la tabla 8:

Tabla 8. Listado donde se mencionan las cuencas de primera y segunda división de la cuenca del Río Suárez.

<b>CUENCA RÍO SUÁREZ</b>	
<b>PRIMERA DIVISIÓN</b>	<b>SEGUNDA DIVISIÓN</b>
Quebrada Pao	Quebrada Pao - Zona Alta
	Quebrada Del Medio
	Quebrada Pao - Zona Baja
Río Suárez - Desembocadura	Río Suárez - Municipio de Zapatoca
Quebrada Chirivítí	Quebrada Vigueche
	Quebrada Chirivítí - Zona Alta
	Quebrada Chirivítí - Zona Baja
Río Suárez - Municipios de Galán y Barichara	Río Suárez - Quebrada Chinantoca
	Río Suárez - Quebrada Honda
	Quebrada La Vega - Zona Alta
Quebrada La Vega	Quebrada Cinco Mil
	Quebrada La Vega - Zona Baja
	Río Suárez - Inspección de Policía El Diamante
Quebrada Santa Rosa	Quebrada Santa Rosa - Zona Alta
	Quebrada Guamatá
	Quebrada Santa Rosa - Zona Baja
Río Suárez - Municipio de Socorro	Río Suárez - Municipio de Palmas
	Río Suárez - Escuela Vereda Tamacara
	Río Suárez - Vereda Caraota
Río Suárez - Municipio de Chima	Río Suárez - Municipio de Guapota
	Río Oibita - Inspección de Policía Virolín
	Río Santuario
Río Oibita	Río Oibita - Quebrada Aguaidí
	Quebrada Guayana
	Río Oibita - Municipio de Guadalupe
	Río Tolotá - Zona Alta
Río Lenguaruco	Río Tolotá - Zona Baja
	Río Palermo
	Río Chino Teno
	Río Huertas - Vereda El Palmar
	Río Gámbita - Zona Alta
	Quebrada Las Delicias
	Río Gámbita - Zona Baja
	Río Huertas - Municipio de Gambita
	Río Riachuelo
	Río Lenguaruco - Vereda Simeon
	Río Lenguaruco - Municipios de Santana y Suaita
	Laguna El Palmar - Cuenca Endorreica
	Río El Valle
	Río Chuqueque
	Río Uvasa - Río La Palma
Río Uvasa - Unión con el Río Chuqueque	
Río Uvasa	Río Togui
	Río Uvasa - Municipio de Togui - Boyacá
	Río Arcabuco - Zona Alta
	Río Arcabuco - Zona Baja
	Río Pomeca
	Río Uvasa - Desembocadura

Río Suárez - Municipio de Guepsa	Río Suárez - Municipio de San José de Pare
Río Suárez - Municipio de San Benito	Río Suárez - Municipio de Santana
Río Suárez - Quebradas La Chorrera y La Chapa	Río Suárez - Quebrada La Chapa
	Río Suárez - Municipio de Aguada
Río Suárez - Vereda San Antonio	Río Suárez - Vereda El Helechal
Quebrada Agua Fría	Quebrada Agua Fría - Vereda Alto del Tigre
Río Suárez - Municipio de Contratación - Guadalupe	Río Suárez - Municipio de Guadalupe
	Río Suárez - Región Santa Manga
	Río Suárez - Escuela Sabaneta
	Río Suárez - Casa El Coco
Quebrada Ropero	Quebrada Ropero - Municipio de Velez
	Quebrada Atilera
	Quebrada Tormenta
	Quebrada Ropero - Vereda San Isidro
	Quebrada Gran Cura
	Quebrada Ropero - Alto El Picacho
	Quebrada Ropero - Municipio de San Benito
Quebrada Alférez	Quebrada Alférez - Vereda San Antonio
Quebrada Macaligua	Quebrada Macaligua - Quebrada Morreno
Quebrada Chimera	Quebrada Chimera - Vereda San Antonio de la Piedra
	Quebrada La Colorada
	Quebrada Sardinias
	Quebrada Chimera - Vereda Piedras
Quebrada La Pava	Quebrada Chimera - Batallón Ingenieros Baraya
Quebrada Barichara	Quebrada Barichara - Municipios de Barichara y Villanueva

Trazados e identificados los parteaguas principal, primera y segunda división, se hace necesaria la codificación de cada una de los archivos en formato dwg que contienen las cuencas. A la cuenca principal del Río Suárez le corresponde el código 030000. Las cuencas de primera división se identifican por los dos segundos dígitos del código. Estos van desde el 030100 hasta el 032400 en la cuenca en estudio. Identificadas las primeras divisiones, si fue necesaria su discretización; se codifican las segundas divisiones con los dos últimos dígitos. En algunos casos se tiene solo una segunda división, como en la microcuenca de la Quebrada Agua Fría, pero en otros casos una primera división puede estar compuesta por mas de cinco subdivisiones, tal es el caso de la cuenca de Quebrada Pao conformada por dos microcuencas y un sector hidrológico. En la tabla 9 se presentan los nombres de las divisiones con sus respectivos códigos:

Tabla 9. Codificación de la primera y segunda división de la cuenca del Río Suárez

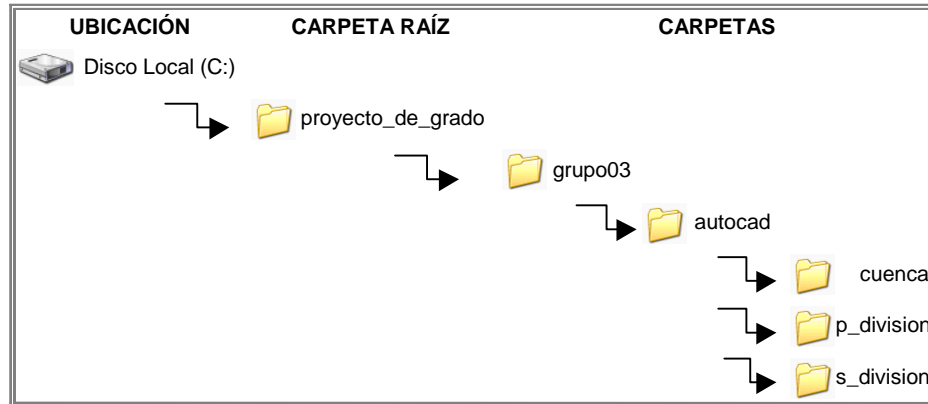
CODIGO CUENCA			NOMBRE DE LA CUENCA
PRINCIPAL	PRIMERA DIV.	SEGUNDA DIV.	
030000			
	030100		Quebrada Pao
		030101	Quebrada Pao-Zona Alta
		030102	Quebrada Del Medio
		030103	Quebrada Pao-Zona Baja
	030200		Río Suárez-Desembocadura
		030201	Río Suárez-Municipio de Zapatoaca
	030300		Quebrada Chiriviti
		030301	Quebrada Vigueche
		030302	Quebrada Chiriviti-Zona Alta
		030303	Quebrada Chiriviti-Zona Baja
	030400		Río Suárez-Municipios de Galán y Barichara
		030401	Río Suárez-Quebrada Chinantoca
		030402	Río Suárez-Quebrada Honda
	030500		Quebrada La Vega
		030501	Quebrada La Vega-Zona Alta
		030502	Quebrada Cinco Mil
		030503	Quebrada La Vega-Zona Baja
	030600		Río Suárez-Municipio de Cabrera
		030601	Río Suárez-Inspección de Policía El Diamante
	030700		Quebrada Santa Rosa
		030701	Quebrada Santa Rosa-Zona Alta
		030702	Quebrada Guamatá
		030703	Quebrada Santa Rosa-Zona Baja
	030800		Río Suárez-Municipio de Socorro
		030801	Río Suárez-Municipio de Palmas
		030802	Río Suárez-Escuela Vereda Tamacara
		030803	Río Suárez-Vereda Carota
	030900		Río Suárez-Municipio de Chima
		030901	Río Suárez-Municipio de Guapota
	031000		Río Oibita
		031001	Río Oibita-Inspección de Policía Virolín
		031002	Río Santuario
		031003	Río Oibita-Quebrada Aguaidi
		031004	Quebrada Guayana
		031005	Río Oibita-Municipio de Guadalupe
	031100		Río Lenguaruco
		031101	Río Tolotá-Zona Alta
		031102	Río Tolotá-Zona Baja
		031103	Río Palermo
		031104	Río Chino Teno
		031105	Río Huertas-Vereda El Palmar
		031106	Río Gámbita-Zona Alta
		031107	Quebrada Las Delicias
		031108	Río Gámbita-Zona Baja
		031109	Río Huertas-Municipio de Gambita
		031110	Río Riachuelo
		031111	Río Lenguaruco-Vereda Simeon
		031112	Río Lenguaruco-Municipios de Santana y Suaita
		031113	Laguna El Palmar-Cuenca Endorreica
	031200		Río Uvasa
		031201	Río El Valle
		031202	Río Chuqueque
		031203	Río Uvasa-Río La Palma
		031204	Río Uvasa-Unión con el Río Chuqueque
		031205	Río Togui
		031206	Río Uvasa-Municipio de Togui - Boyacá
		031207	Río Arcabuco-Zona Alta
		031208	Río Arcabuco-Zona Baja
		031209	Río Pomeca
		031210	Río Uvasa-Desembocadura
	031300		Río Suárez-Municipio de Guepsa
		031301	Río Suárez-Municipio de San José de Pare

031400		Río Suárez-Municipio de San Benito
	031401	Río Suárez-Municipio de Santana
031500		Río Suárez-Quebradas La Chorrera y La Chapa
	031501	Río Suárez-Quebrada La Chapa
	031502	Río Suárez-Municipio de Aguada
031600		Río Suárez-Vereda San Antonio
	031601	Río Suárez-Vereda El Helechal
031700		Quebrada Agua Fría
	031701	Quebrada Agua Fría-Vereda Alto del Tigre
031800		Río Suárez-Municipio de Contratación-Guadalupe
	031801	Río Suárez-Municipio de Guadalupe
	031802	Río Suárez-Región Santa Manga
	031803	Río Suárez-Escuela Sabaneta
	031804	Río Suárez-Casa El Coco
031900		Quebrada Ropero
	031901	Quebrada Ropero-Municipio de Velez
	031902	Quebrada Atilera
	031903	Quebrada Tormenta
	031904	Quebrada Ropero-Vereda San Isidro
	031905	Quebrada Gran Cura
	031906	Quebrada Ropero-Alto El Picacho
	031907	Quebrada Ropero-Municipio de San Benito
032000		Quebrada Alférez
	032001	Quebrada Alférez-Vereda San Antonio
032100		Quebrada Macaligua
	032101	Quebrada Macaligua-Quebrada Morreno
032200		Quebrada Chimera
	032201	Quebrada Chimera-Vereda San Antonio de la Piedra
	032202	Quebrada La Colorada
	032203	Quebrada Sardinias
	032204	Quebrada Chimera-Vereda Piedras
	032205	Quebrada Chimera-Batallón Ingenieros Baraya
032300		Quebrada La Pava
032400		Quebrada Barichara
	032401	Quebrada Barichara-Municipios de Barichara y Villanueva

En la presentación de los archivos dwg de las cuencas de primera y segunda división no solo se muestra el área subsidiaria demarcada por el parteaguas sino que además se visualiza una extensión con el objeto de cuestionar la delimitación efectuada. Para cumplir con este propósito se realiza un corte de forma rectangular donde se mantienen las capas que contengan elementos cartográficos y la información necesaria para localizar la cuenca. Se debe tener en cuenta que los archivos de primera división pueden tener adicionalmente una capa que corresponde al parteaguas de segunda división, en caso de haber sido necesaria la discretización.

Debido al gran número de cuencas de primera y segunda división que surgían al realizar el proceso de división hidrológica de una cuenca principal se vio la necesidad de organizar esta información en una estructura de datos apropiada para su posterior visualización y publicación (ver más en el capítulo 7) como se muestra en la figura 30.

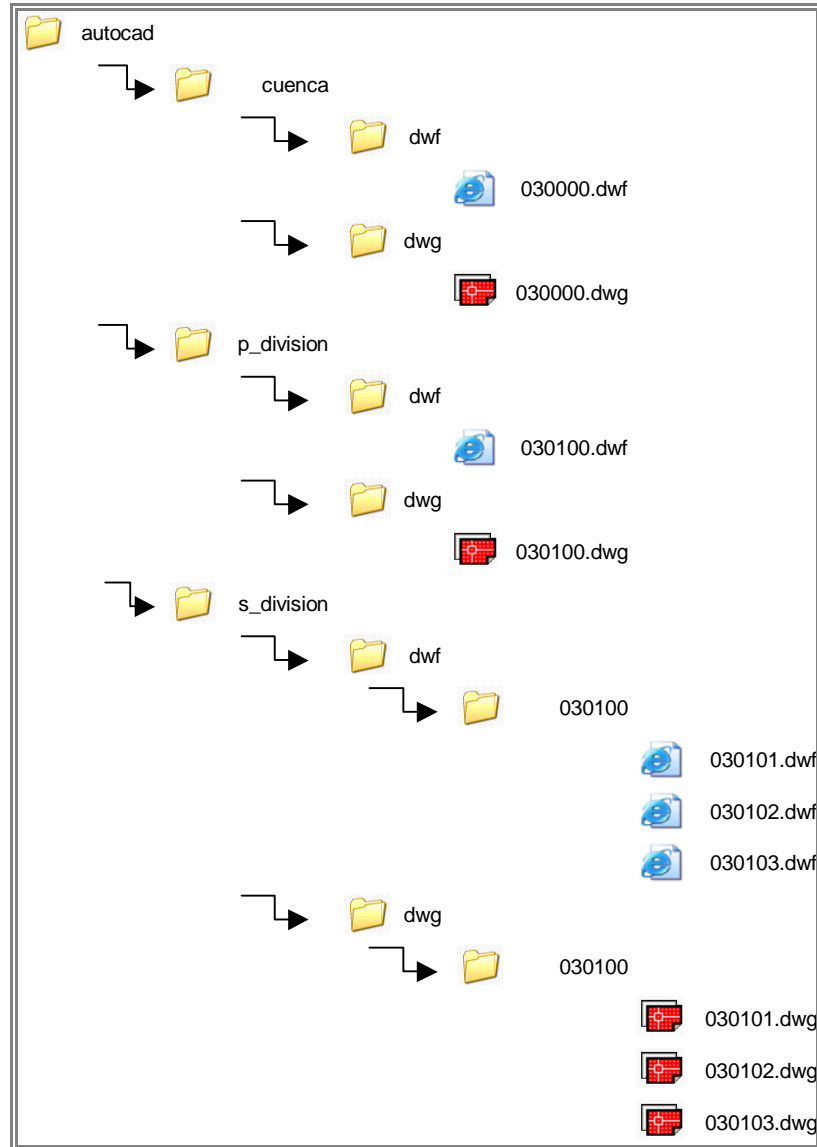
Figura 30. Esquema de la organización de los archivos de AutoCAD



Las carpetas cuenca, p\_division y s\_division dentro de la carpeta autocad, contienen los archivos de cuenca principal, y los archivos de las cuencas de primera y segunda división respectivamente. Dentro de cada una de ellas existen otras dos carpetas identificadas como dwf y edit. En la primera se encuentran los archivos que sólo permiten la visualización e impresión de la información y en la segunda se encuentran los archivos editables de AutoCAD. En la figura 31 se muestra la estructura para la organización de estos archivos.

Para las cuencas de segunda división debió crearse un nivel adicional de carpetas que mostraba las cuencas de primera división a las cuales pertenecían para lograr una mejor organización, como se muestra en el ejemplo de la figura 31 para la cuenca 030101.

Figura 31. Estructura de la organización de los archivos dwf y dwg



**4.3.3 Preparación de archivos para el software.** Los archivos en formato dwg de las cuencas contienen toda la información cartográfica presente en una plancha IGAC. Considerando que no toda esta información era necesaria para desarrollar una aplicación en hidrología con ayuda de un software, en este caso ArcView; se requería segregar la

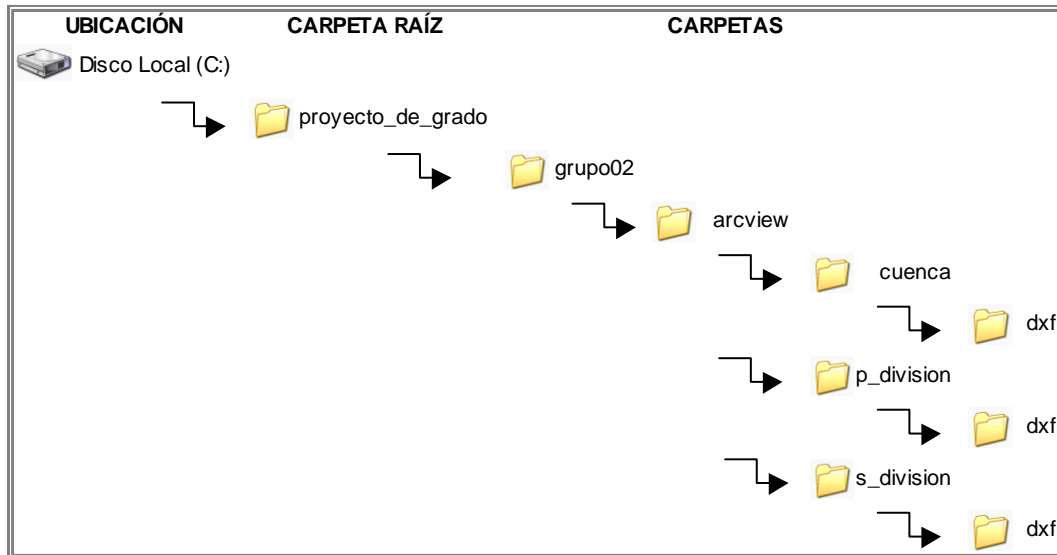
información básica para tal fin, como son curvas de nivel, ríos, parteaguas y puntos altos de la red de drenaje. Esta información debía ser guardada en archivos separados y traducida a un formato que pudiera ser asimilado por ArcView. Para la versión del software con la que se trabajó la aplicación, el formato que se debía utilizar para los archivos era AutoCAD R14 / DXF (\*.dxf), ya que permitía un fácil reconocimiento de las entidades geográficas como puntos, líneas y polígonos y una visualización adecuada en el entorno gráfico de ArcView.

Sabiendo que el formato dxf (Drawing Exchange Format) es el más conveniente para introducir información proveniente de AutoCAD a ArcView y conociendo claramente los resultados que se querían obtener para las cuencas de primera y segunda división, se podían definir cuáles eran los archivos necesarios para el desarrollo de la aplicación en cada una de ellas. Por ejemplo, para la cuenca principal y las cuencas de primera división el resultado que se deseaba obtener era su visualización con la respectiva red de drenaje sobre un MDE en formato raster; para ello sólo se hacía necesario crear los archivos individuales dxf de curvas de nivel, drenajes y parteaguas.

Para las cuencas de segunda división se desarrolló la caracterización física de la cuenca hidrográfica con la ayuda de un script para ArcView. La información requerida era la misma que se utilizaba para el modelamiento de la primera división y adicionalmente se debía crear un archivo que tuviera los puntos altos de cada uno de los elementos que conformaban la red de drenaje para poder realizar uno de los pasos del procedimiento expuesto en el numeral 5.3.4. En la construcción de cada uno de los archivos dxf nombrados anteriormente, la información contenida en ellos debía ser la estrictamente necesaria, ya que podían presentarse los siguientes inconvenientes: un tamaño exagerado del archivo y la combinación de dos tipos de información no permitía ejecutar correctamente uno de los pasos del procedimiento (ver más información en el numeral...5.3.4...). Así por ejemplo, si se deseaba hacer el archivo dxf para las curvas de nivel, este sólo debía presentar los elementos cartográficos que tengan como atributo la elevación.

Al igual que para los archivos en formato dwg y dxf, se creó una estructura para que pudiera ser manipulada la información fácilmente. Para los archivos dxf también se vio la necesidad de hacerlo. En el esquema de la figura 32 se muestra la organización de las carpetas en las cuales va la información en formato dxf.

Figura 32. Esquema de la organización de los archivos



En las carpetas cuenca, p\_division y s\_division se copió un archivo ejecutable \*.apr que es la extensión que utiliza ArcView para guardar los proyectos y se crearon dos carpetas identificadas con los nombres: shp y dxf. La primera de estas se creó con el fin de guardar información con la cual trabaja ArcView ya que es el formato que permite tanto la visualización de la información gráfica como la lectura de información alfanumérica y la segunda para guardar los archivos de entrada en formato dxf para cada cuenca en particular, sea principal, de primera o de segunda división como se explicó anteriormente. Con el fin de saber a que cuenca correspondía y que tipo de información guardaba cada archivo dxf se creó la siguiente nomenclatura:

- Cada uno de los archivos dxf debían llamarse con el nombre de la cuenca a la que correspondían.
- Según la información que contenía el archivo se le adicionaba una extensión, \_cur.dxf para las curvas de nivel, \_rio.dxf para ríos, \_par.dxf para el parteaguas y \_pun.dxf para los puntos altos de la red de drenaje de la cuenca.

Por ejemplo la carpeta dxf correspondiente a la cuenca con nomenclatura 010101 debe tener los siguientes archivos con la información estrictamente necesaria: 010101\_cur.dxf para curvas de nivel, 010101\_rio.dxf para ríos, 010101\_pun.dxf para los puntos que ayudan a definir la red de drenaje, y 010101\_par.dxf para el parteaguas preliminar de la cuenca. La nomenclatura anteriormente mostrada corresponde a un ejemplo en particular de una cuenca de segunda división.

En la figura 33 se observan las carpetas cuenca, p\_division y s\_division con la información inicial necesaria para el desarrollo de la aplicación en las cuencas 030000, 030100 y 030101

con la ayuda de ArcView y la respectiva organización de los dxf en la carpeta correspondiente.

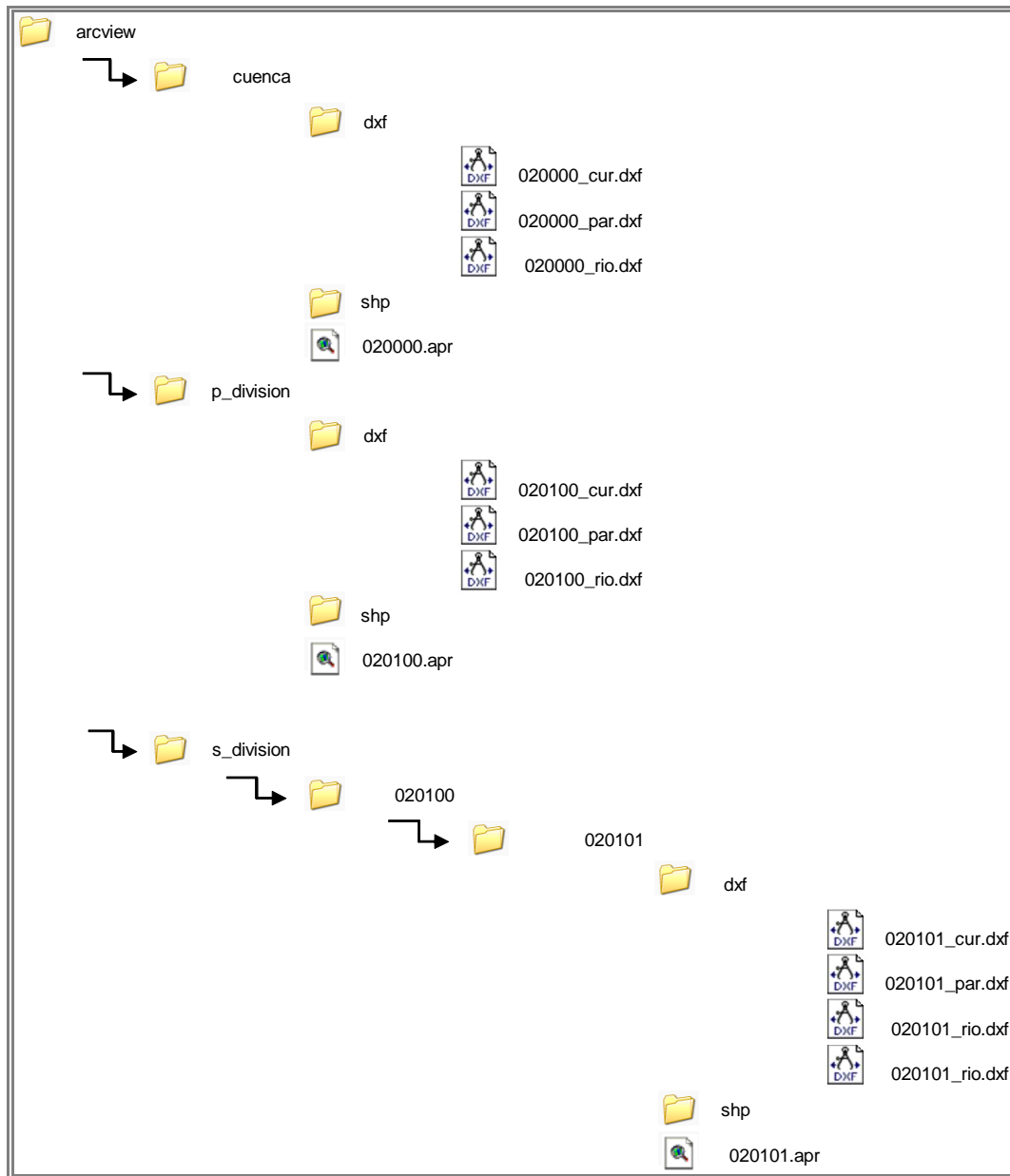
**4.3.4 Descripción del proceso de cálculo desde ArcView.** El procedimiento que se siguió para el modelamiento de la cuenca principal y las cuencas de primera división con ayuda del script desarrollado por el Ingeniero Luis A. Capacho<sup>5</sup> en su tesis de maestría es el siguiente:

1. Seleccionar el directorio de trabajo donde se va a guardar la información generada por los procesos de análisis y manipulación de la información.
  2. Introducir los archivos dxf en ArcView
  3. Cambiar los archivos en formato dxf a formato shape para así iniciar su procesamiento, conservando la misma nomenclatura pero cambiando la extensión .dxf por .shp.
  4. A partir del archivo shape de las curvas de nivel se crea el modelo de alturas TIN o red de triángulos irregulares. Este modelo de datos es vectorial. La información creada por la herramienta al generar este modelo se guarda automáticamente en una carpeta que crea el script con el nombre de mde\_vector.
  5. El modelo digital de elevación vectorial generado en el punto anterior debe ser convertido a una grilla o modelo digital en formato raster. La información generada se guarda automáticamente en una carpeta que crea el script con el nombre de mde\_raster.
1. Determinar las celdas bajas o sumideros. Esta información generada se guarda automáticamente en una carpeta que crea el script con el nombre de sumideros.
  2. Llenar las depresiones, al igual que en los pasos anteriores se genera automáticamente una carpeta llamada llenado que contiene la información.

Figura 33. Estructura de las carpetas con la información necesaria para la utilización de ArcView

---

<sup>5</sup> CAPACHO, Luís Alberto. Modelamiento espacialmente distribuido de cuencas hidrográficas soportado sobre SIG. Bucaramanga, 2003, 174 p. Tesis de maestría (M.Sc).UIS. Escuela de Ingeniería Civil. Área de hidrología.



Para las cuencas de segunda división se realiza el mismo procedimiento descrito anteriormente y dado que el objetivo es realizar la caracterización morfométrica de estas cuencas, se deben desarrollar los siguientes procedimientos programados en el script:

1. Una vez llenadas las depresiones, a cada celda se le debe asignar una dirección de flujo tomando como base el mapa raster de llenado y generando un mapa raster de direcciones de flujo, el cual se guarda en una carpeta llamada dirflnormal que se crea mecánicamente.
2. Teniendo en cuenta que el mapa de dirección de flujo normal tenía en cuenta solo la pendiente del terreno, no era suficiente para determinar una línea divisoria similar a la de la

cuenca y por lo tanto debía forzarse incluyendo la red de drenaje de la misma. De esta forma se generan las direcciones de flujo forzado que se guarda en una carpeta llamada dirforzado.

3. Con ayuda del mapa de direcciones de flujo forzado se genera el mapa de flujo acumulado que determina la orientación de la red de drenaje de la cuenca y cuya información se guarda en una carpeta llamada f\_acumulado.

4. Se debe crear un nuevo tema llamado punto\_drenaje que se guarda en la carpeta shp y que contiene el punto donde se concentra el mayor valor de flujo acumulado.

5. Con ayuda del shape punto\_drenaje y el mapa de flujo acumulado se genera el trazado del parteaguas de la cuenca y se guarda con el nombre de cuenca.shp en la carpeta shp.

6. Se define la red de drenaje a partir de los puntos que se encuentran en el archivo con la extensión \_pun.shp y teniendo activo el tema de las direcciones de flujo forzado. La red de drenaje generada por la aplicación se guardaba en la carpeta shp con el nombre de red\_dr1.shp.

7. Teniendo el shape del parteaguas generado por la herramienta para la cuenca en estudio se procedía a calcular lo siguiente:

8. Camino de flujo más largo con el tema cuenca.shp resaltado y luego convertido a un formato vectorial.

9. Propiedades morfométricas con ayuda del tema cuenca.shp y el mde\_raster.

10. Curva hipsométrica con ayuda del tema cuenca.shp y el mde\_raster.

11. Pendiente por el método de Alvord utilizando solo las curvas que se encuentran dentro del límite de la cuenca.

En cada uno de los pasos listados en este numeral se generan archivos \*.dbf con la información numérica correspondiente.

Las carpetas que el script generaba automáticamente debían hacer parte de la estructura que se había establecido inicialmente. Esto se lograba al efectuar el primero de los pasos enunciados en el proceso anterior. En la figura 34 se observa la estructura final de las carpetas resultado del modelamiento de las cuencas en ArcView.

Finalizado el proceso se pueden visualizar en la vista de la cuenca en estudio los siguientes temas como se observa en la figura 35:

Recorrido máximo.

Parteaguas generado por la herramienta.

La red de drenaje.

El flujo a cumulado.

Punto de drenaje.

Dirección de flujo forzado.

Dirección de flujo normal.

El MDE raster llenado.

Celdas bajas.

MDE raster.

TIN o MDE vector.

Y los archivos de entrada como las curvas de nivel, drenajes, parteaguas y puntos. Cada uno siguiendo la nomenclatura específica.

Figura 34. Estructura de las carpetas finalizado el modelamiento de la cuenca principal y las de primera y segunda división

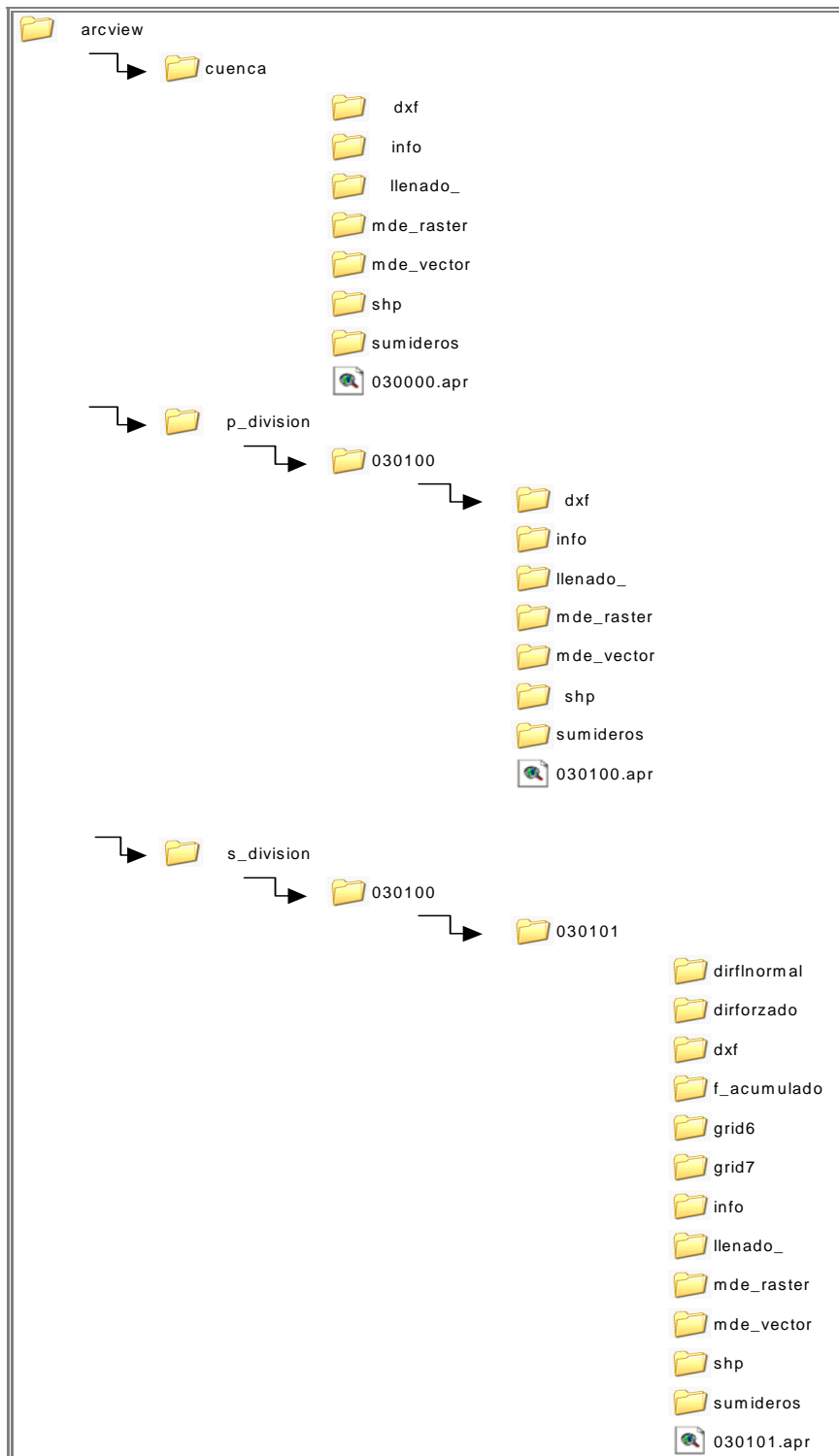
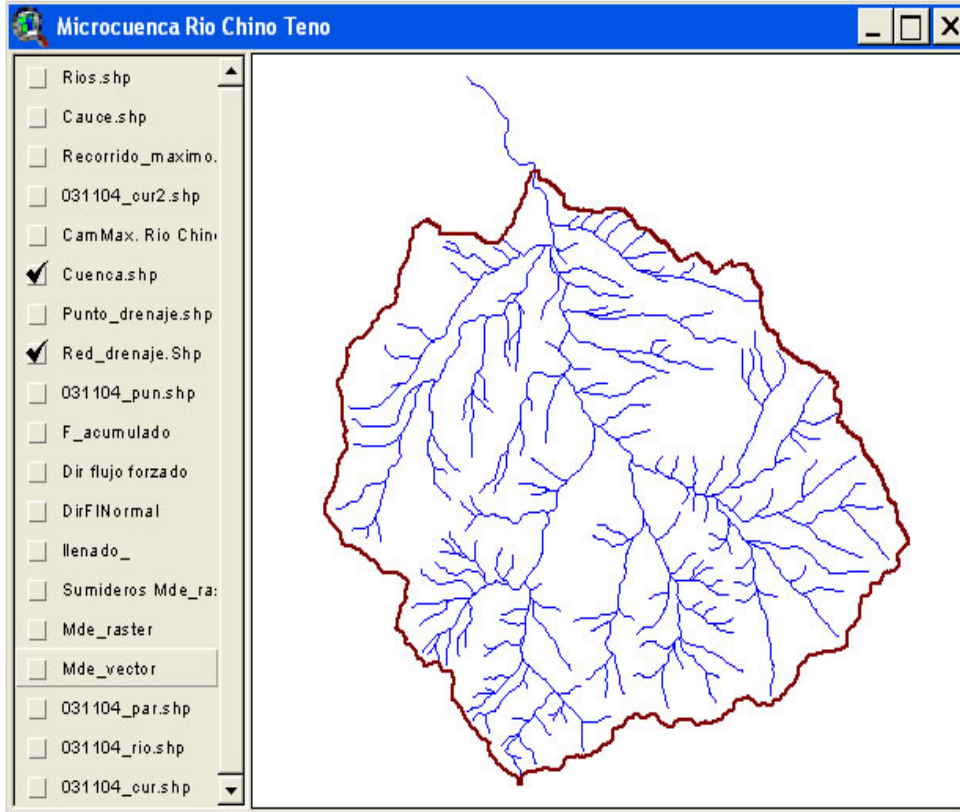


Figura 35. Vistas y temas que se visualizan al finalizar la aplicación



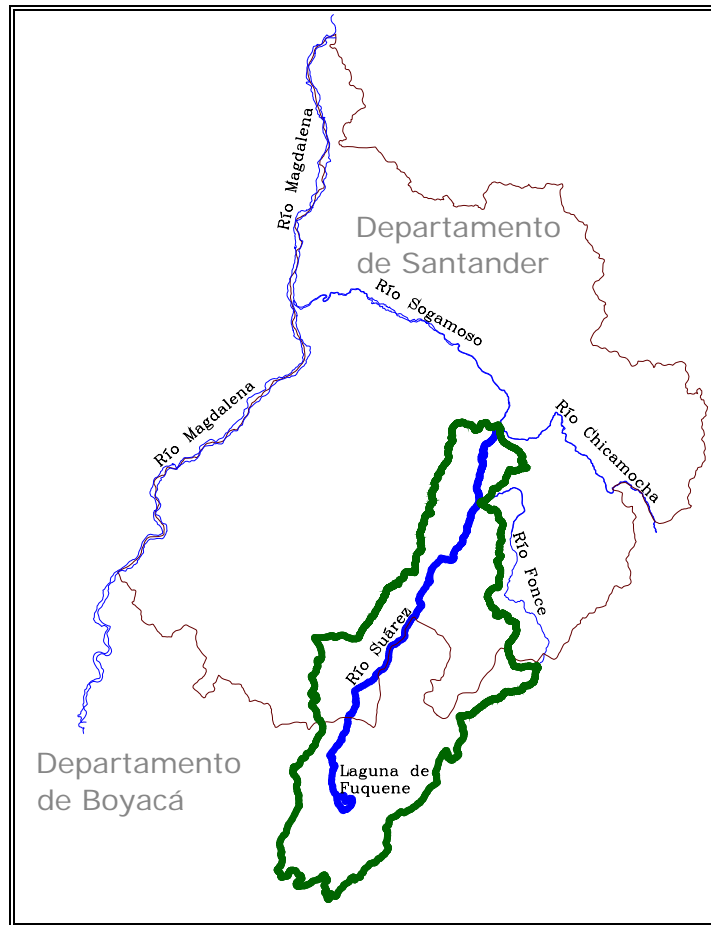
## **EJEMPLO DE APLICACIÓN**

Los MDE constituyen una plataforma para la realización y aplicación de algoritmos especiales que permiten realizar cálculos a partir de datos de entrada y obtener resultados generados por el mismo. A continuación se presenta una aplicación de los MDE en el área de la hidrología, particularmente en la caracterización física de cuencas hidrográficas. Es necesario para empezar, enunciar algunos conceptos básicos de la hidrología, específicamente, lo concerniente a los parámetros morfométricos con sus respectivas ecuaciones, limitaciones en cuanto a la aplicación de cada una de ellas y la importancia que cada resultado tiene en las cuencas a estudiar. Por último se definen algunos conceptos relacionados con los MDE y sus aplicaciones en la hidrología, conceptos como flujo normal, flujo forzado, flujo acumulado entre otros, especificando los parámetros morfométricos calculados a partir del MDE y enunciando los errores, problemas y soluciones que se tuvieron en la realización de los mismos.

### **Localización y Extensión**

El Río Suárez era llamado por los nativos de la región con el nombre de Saravita, el cual posteriormente fue cambiado en honor al conquistador Gonzalo Suárez Rendón. Posee una extensión de 7919.38 Km<sup>2</sup>, de los cuales 49.97% (3957.71 Km<sup>2</sup>) del área total de la cuenca pertenece al Departamento de Santander y el 52.88% restante (4187.64 Km<sup>2</sup>) pertenece al Departamento de Boyacá. En el límite del Departamento de Boyacá y Cundinamarca, nace el Río Suárez en la laguna de Fúquene. Inicialmente toma una dirección norte y cruza el Departamento de Boyacá para luego entrar al Departamento de Santander por el sur, luego recibe la corriente del Río Fonce que proviene del este, para después unirse con el Río Chicamocha y formar el Río Sogamoso (ver figura 36).

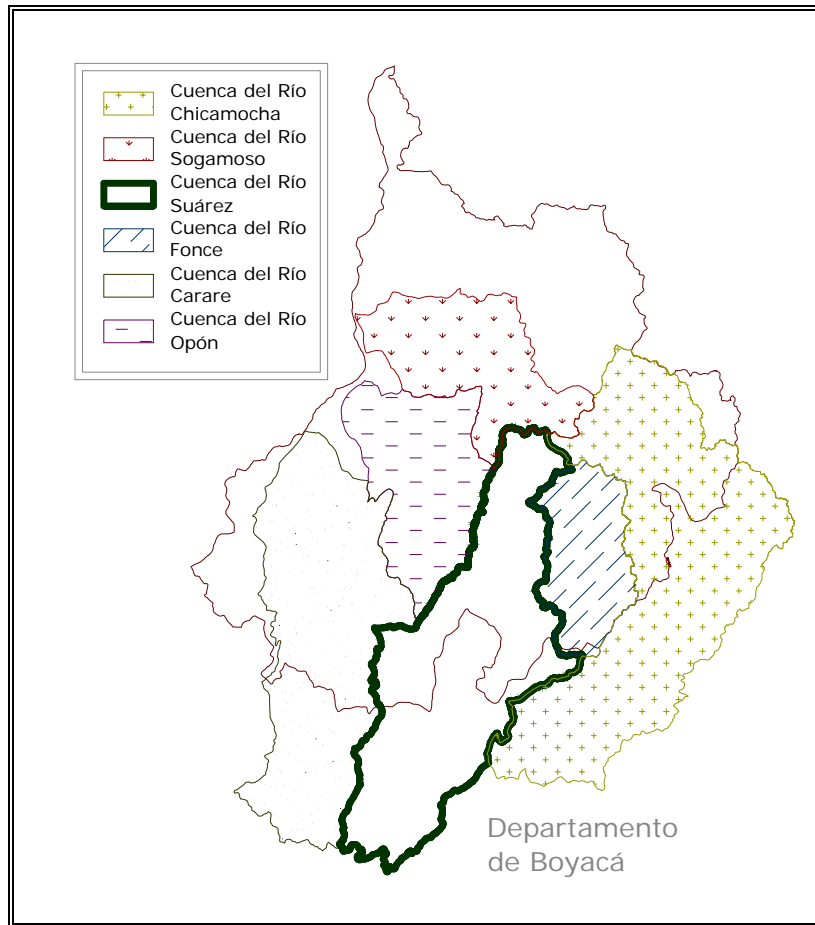
Figura 36. Localización de la cuenca del Río Suárez.



La cuenca del Río Suárez limita al Norte con la cuenca del Río Sogamoso, al Noreste y Sudeste con la cuenca del río Chicamocha, al Este con la cuenca del río Fonce, al Sur con el Departamento de Boyacá, al Sudoeste con la cuenca del río Carare y al Noroeste con la cuenca del río Opón (ver figura 37). Las coordenadas entre las que se puede ubicar la cuenca del río Suárez son:

- Norte : 1'250.00
- Norte : 1'050.00

Figura 37. Límites geográficos de la Cuenca del Río Suárez.



El área correspondiente a la cuenca del río Suárez cubre los municipios de Aguada, Barbosa, Barichara, Cabrera, Charalá, Chima, Chipatá, Confines, Contratación, El Carmen, Galán, Gambita, Guacamayo, Guadalupe, Guapota, Guepsa, Hato, La Paz, Oiba, Palmar, Palmas del Socorro, Páramo, San Benito, San Gil, San Vicente de Chucurí, Santa Helena de Opón, Simacota, Socorro, Suaita, Vélez, Villanueva y Zapatoca en el departamento de Santander y otros en el departamento de Boyacá.

## **Caracterización física de cuencas hidrográficas a partir de un MDE**

Tradicionalmente los parámetros morfométricos se han calculado con la ayuda de mapas en papel, utilizando métodos muy arcaicos y extensos que llevan a cometer errores durante el proceso de cálculo, difíciles de detectar y por ende de corregir, mientras que en mapas en formato digital, se hace un poco más sencillo el cálculo, pero con cierto grado de precisión dependiendo de la información y de la herramienta utilizada para procesarla.

El uso de los mapas análogos como unidad de medida de variables hidrológicas es tedioso. El consumo de tiempo en el análisis en éstos se incrementa, son propensos a errores acumulativos, etc. Sin embargo, la mayor parte de la información morfométrica y parámetros hidrológicos pueden obtenerse con la ayuda de los SIG porque tienen la capacidad de integrar, visualizar y analizar los datos espacialmente.

Mapas raster de tamaño regular son las estructuras más comunes en la construcción y estudio de un MDE. Para el análisis de parámetros hidrológicos en una cuenca, los MDE de estructura raster se adaptan mejor a la representación espacial de variables continuas, porque el terreno es subdividido en pequeñas celdas de igual tamaño almacenadas en una matriz. Cada celda se encuentra georreferenciada y tiene un atributo que se puede utilizar en el análisis espacial del mapa digital o matriz, como por ejemplo: elevación, pendiente, dirección de flujo, etc. Las estructuras raster son ideales para el modelamiento hidrológico distribuido porque facilitan la labor para determinar la localización, el estado o comportamiento de una celda específica, como por ejemplo, se puede determinar la dirección de flujo en una celda de acuerdo a la diferencia de nivel respecto a sus ocho celdas vecinas.

A continuación se describen cada una de las variables que inciden en la caracterización de cuencas hidrográficas, entre ellas la elevación, pendiente y forma, con sus respectivos métodos de cálculo y aplicaciones para cada cuenca en particular, además de describir las implicaciones que tienen los resultados de cada una de ellas y su significado en la cuenca hidrográfica.

**5.2.1 Elevación.** La elevación señala la variación altitudinal de la cuenca hidrográfica. Es de suma importancia ya que ella incide directamente sobre el clima y sobre el régimen hidrológico, además contribuye a la caracterización de zonas climatológicas y ecológicas dentro de una misma cuenca.

**5.2.1.1 Elevación media.** Es el promedio aritmético de los valores de elevación de diferentes puntos que pertenecen a la superficie de la cuenca.

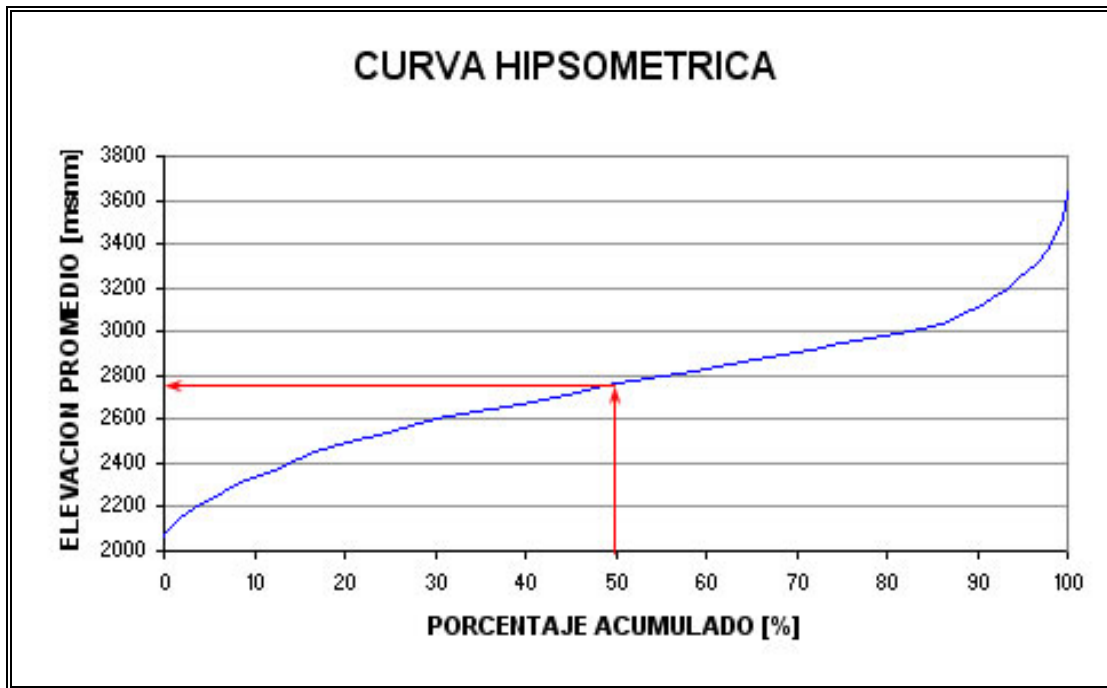
**5.2.1.2 Elevación máxima.** Es aquella altitud correspondiente al punto más alto de la cuenca hidrográfica.

**5.2.1.3 Elevación mínima.** Es aquella altitud correspondiente al punto más bajo de la cuenca hidrográfica.

**5.2.1.4 Elevación Mediana.** Es aquella altitud correspondiente al 50% del área total de la cuenca y está determinada por el método de la curva hipsométrica. Este método consiste en un gráfico del Porcentaje de Área acumulada de la cuenca Vs. Elevación.

**5.2.1.5 Método de la curva hipsométrica para definir elevación mediana.** La curva hipsométrica proporciona una base para la caracterización de zonas climatológicas y ecológicas de la cuenca ya que representa gráficamente el relieve de la misma en función de la superficie correspondiente. Para graficarla se tiene en las abscisas el porcentaje de área acumulada y en las ordenadas la cota correspondiente a la elevación. En la figura 38 se ve un ejemplo claro de la realización de una curva hipsométrica en donde el valor correspondiente al 50%, es decir, la elevación mediana es aproximadamente igual a 2750m.

Figura 38. Ejemplo de curva hipsométrica de la microcuenca Río Chino Teno perteneciente a la Cuenca del Río Suárez.



**5.2.2 Pendiente.** La pendiente es el indicador del grado de inclinación de la cuenca hidrográfica. Por otra parte es uno de los factores que determina la velocidad del flujo del agua, así como de fenómenos de erosión del suelo y arrastre de sedimentos. Igualmente influye en el tiempo de respuesta de la cuenca ante crecidas. A continuación se enuncia el concepto de pendiente media y se menciona el método de Alvord, usado en éste proyecto para el cálculo de la pendiente de la cuenca.

La pendiente media de una cuenca, se define como el ponderado de las pendientes medias de áreas entre curvas de nivel. Cabe anotar que el cálculo de la pendiente media puede resultar en la mayoría de los casos un parámetro poco significativo por si solo, pues pueden existir cuencas con igual valor de pendiente media pero con curvas hipsométricas distintas.

Uno de los métodos usados para realizar el cálculo de la pendiente de la cuenca es el método de Alvord, que considera la cuenca dividida en una serie de franjas de terreno delimitadas por curvas de nivel consecutivas y de igual desnivel entre ellas y cuya formulación se presenta a continuación:

$$S_m = \frac{D * L}{A}$$

Siendo:

$S_m$

$D$

$A$

$L$

: Pendient

: Desnivel

: Área tota

: Sumatoria de las longitudes de todas las curvas de nivel consid

**5.2.3 Parámetros de forma.** La forma de una cuenca afecta notablemente la respuesta de ésta a un evento de lluvia al influir en la longitud y la pendiente de los ríos que drenan la cuenca. Ríos de gran longitud facilitan el amortiguamiento o reducción del efecto de una creciente al aumentar el tiempo de la formación de la avenida y reducir el caudal máximo. Caso contrario ocurre, cuando la forma de la cuenca permite la presencia de ríos de poca longitud pues hay susceptibilidad a la formación de avenidas ante eventos de precipitación no muy altos.

Los parámetros de forma permiten establecer diferencias importantes en los regimenes de flujo de dos cuencas que se someten a condiciones climáticas similares. Esta diferencia se debe principalmente a las diversas características físicas de ambas cuencas. La fisiografía puede ser importante en la respuesta de la cuenca a las precipitaciones. A continuación se hace una presentación de las características fisiográficas más importantes.

**5.2.3.1 Coeficiente de forma.** El factor de forma está definido como el cociente entre la superficie de la cuenca y el cuadrado de su longitud, comparando la forma de la cuenca con un cuadrado de lado  $L$ , y su valor numérico se interpreta como el grado de achatamiento o alargamiento de la cuenca. Esto último se traduce en una longitud del cauce principal corta o larga, según corresponda. La forma de la cuenca tiene influencia en el tiempo de concentración de las aguas al punto de salida y por lo tanto modifica la configuración del hidrograma. Para una misma superficie y una misma tormenta, el hidrograma de salida de una cuenca redondeada es muy diferente al de una cuenca

alargada. La característica de los valores del coeficiente de forma se pueden ver en la tabla

10. El cálculo se realiza con la siguiente ecuación propuesta por Gravelius:

$$K_f = \frac{A}{L^2}$$

Siendo:

$K_f$

$A$

$L$

: Factor d

: Área tot

: Longitud

Tabla 10. Características de los valores de  $K_f$ .

VALOR DE $K_f$	CARACTERÍSTICAS
<1	Cuenca más larga que ancha, cauce principal largo
1	Cuenca cuadrada
>1	Cuenca más ancha que larga, cauce principal corto

**5.2.3.2 Coeficiente de compacidad.** El índice de compacidad  $K_c$  se debe a Gravelius, y se define como la relación entre el perímetro de la cuenca y el perímetro de un círculo de igual área que la cuenca. Los valores para  $K_c$  nunca serán menores a 1. Su cercanía con la unidad indica la tendencia a una forma circular y valores altos indican cuencas más alargadas e hidrogramas más achatados. En la tabla 11 se encuentran la forma de la cuenca según su índice de compacidad.

$$K_c = \frac{P}{2\sqrt{\pi \times A}}$$

Donde:

$K_c$

$P$

$A$

: Índice d

: Perímetr

: Área de

Tabla 11. Forma de la cuenca, según valores de  $K_c$ .

VALORES DE $K_c$	FORMA
1,00 a 1,25	Redonda a oval redonda
1,25 a 1,50	De oval redonda a oval oblonga
1,50 a 1,75	De oval oblonga a rectangular oblonga

**5.2.3.3 Coeficiente de masividad.** Esta dado por el cociente entre la elevación media de la cuenca y su respectiva área. Este valor tiende a ser alto cuando las cuencas son muy montañosas y poseen un área de drenaje pequeña. Un valor alto de coeficiente de masividad indica que la cuenca drena más rápido ante un evento de lluvia que una con un coeficiente de masividad cuyo valor es bajo.

$$K_m = \frac{H_m}{A}$$

Siendo:

$K_m$

$H_m$

$A$

En la tabla 12 se resumen los parámetros de forma descritos en este numeral.

: Coeficiente  
 : Altura media  
 : Área de drenaje

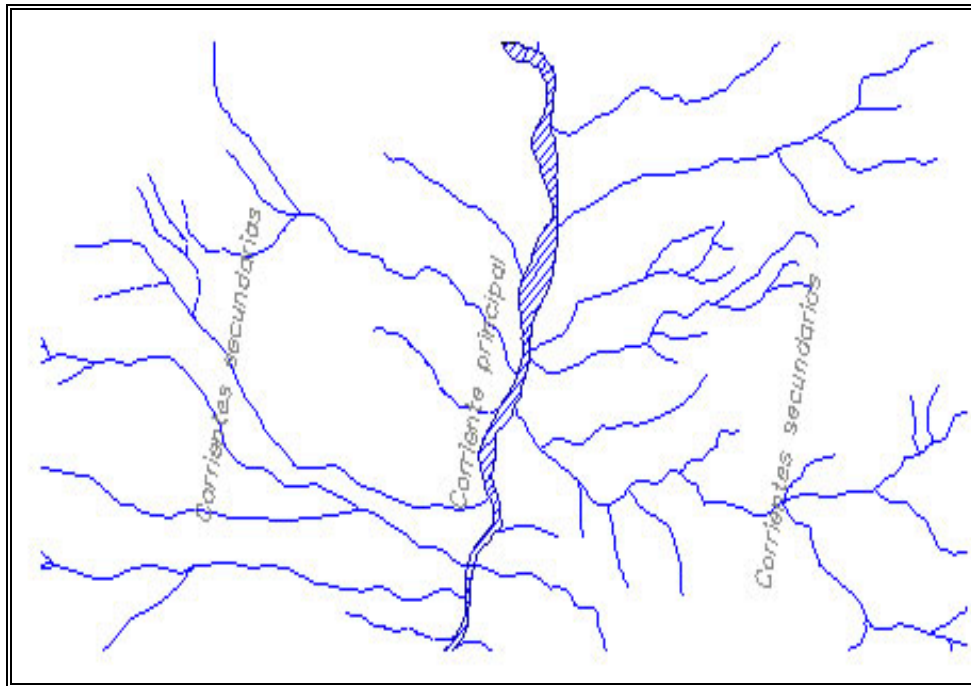
Tabla 12. Resumen de los parámetros de forma.

PARÁMETRO	ECUACIÓN	VARIABLES
Coeficiente de forma $K_f$	$K_f = \frac{A}{L^2}$	$K_f$ = Factor de forma de la cuenca. $A$ = Área total de la cuenca. $L$ = Longitud de la cuenca medida desde el punto más alejado de ella hasta la salida.
Coeficiente de compacidad $K_c$	$K_c = \frac{P}{2\pi\sqrt{A}}$	$K_c$ = Coeficiente de compacidad. $P$ = Perímetro de la cuenca. $A$ = Área de la cuenca.
Coeficiente de masividad $K_m$	$K_m = \frac{H_m}{A}$	$K_m$ = Coeficiente de pasividad. $H_m$ = Altura media de la cuenca en m. $A$ = Área de la cuenca en $Km^2$ .

**5.2.4 Parámetros de la red de drenaje.** La red de drenaje puede ser modelada como un árbol cuyas ramas representan las vertientes secundarias (ya sean efímeras, intermitentes o permanentes) y que confluyen al cauce principal. A manera de ilustración la figura 39 nos muestra una red de drenaje con vertientes principales y secundarias.

Del estudio de la red de drenaje se pueden establecer algunas conclusiones con respecto a la velocidad de respuesta de la cuenca ante una crecida, a la capacidad de infiltración del suelo, a la forma del hidrograma resultante en el desagüe de la cuenca, a la estabilidad de la red hidrográfica, a la cantidad de vegetación y al tipo de escorrentía de superficie.

Figura 39. Ejemplo de una red de drenaje, parte de la Microcuenca Río Suárez – Municipio de Cabrera.



**5.2.4.1 Recorrido Máximo.** Un parámetro muy importante que se tiene en cuenta al estudiar la red de drenaje es la longitud del recorrido máximo, definido como la longitud del cauce principal de la cuenca en estudio medida desde la divisoria del parteaguas, teniendo en cuenta desde el flujo en ladera, hasta el flujo encausado en el punto de drenaje. Este parámetro afecta directamente la respuesta de la cuenca ante un evento de lluvia dado.

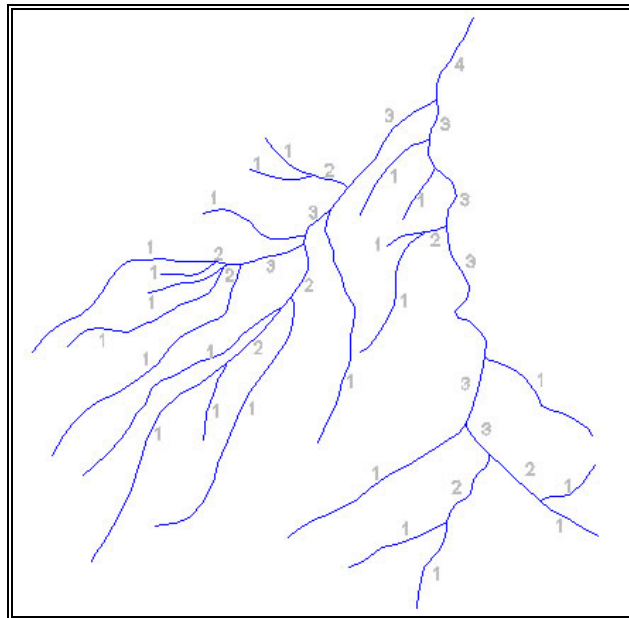
El perfil del cauce principal se define como el gráfico que representa la longitud total del cauce principal abscisado unas distancias uniformes con la elevación correspondiente a cada abscisa en las ordenadas. Este perfil es de suma importancia en el cálculo de la pendiente del cauce porque influye notablemente en la respuesta de ésta a un evento de lluvia intensa ya que si la pendiente del perfil del cauce principal es alto, el agua drena con mayor rapidez que uno con pendiente baja.

**5.2.4.2 Orden.** La red de drenaje es una conjunción de nodos, unidos unos a otros por líneas de tal forma que cada nodo tiene sólo un camino hacia la salida. Los nodos que están unidos a un solo tramo se llaman fuentes y los que llegan a más de uno se llaman uniones. Los tramos que se conectan a una fuente y a una unión se llaman tramos externos y los que se conectan a dos uniones se llaman internos.

Las corrientes se ordenan así: Los segmentos originados en un nudo exterior son llamados de primer orden, es decir, no tiene tramos tributarios. Cuando dos tramos del mismo orden  $i$ , se unen en un nudo interior dan lugar a un tramo de orden  $i+1$ . Cuando se unen dos tramos de distinto orden en un nudo interior originan un tramo que conserva el mayor de los órdenes y finalmente el orden de la cuenca es el de la corriente de mayor orden. Ver ejemplo del cálculo del orden en la figura 40.

La importancia del orden de la cuenca radica en que ésta responde más rápidamente a una crecida en proporción al grado de bifurcación de la red drenaje.

Figura 40. Ejemplo del cálculo del orden de la red de drenaje. En la figura se muestra un brazo de la microcuenca Quebrada Chiviriti perteneciente a la Cuenca del Río Suárez.



**5.2.4.3 Orientación.** La orientación de la cuenca está determinada por la posición del cauce principal con respecto al Norte y su influencia está dada con respecto al movimiento del sol y a las cadenas montañosas que la rodean y actúan como barrera.

Esta orientación también está íntimamente relacionada con la pendiente general de la cuenca y la pendiente del cauce. La latitud de la cuenca incide en el número de horas de sol sobre la cuenca, que afecta directamente los cálculos de la evaporación y de la evapotranspiración al igual que es determinante en la dirección de los vientos, los frentes de lluvia y los flujos de humedad entre otros.

**5.2.4.4 Densidad de drenaje.** La densidad de drenaje está definida como el cociente entre la longitud total de los canales de flujo pertenecientes a su red de drenaje y la superficie de la cuenca, permite tener un conocimiento de la complejidad y desarrollo del sistema de drenaje de la cuenca.

$$D = \frac{L_T}{A}$$

Donde:

D

$L_T$

A

: Densidad  
: Longitud  
: Área total

La densidad de drenaje refleja en una medida la dinámica de la cuenca, la estabilidad de la red hidrográfica, el tipo de escorrentía superficial, al igual que la respuesta de la cuenca a una crecida. Cuanto mayor sea la densidad de drenaje, más rápida será la respuesta de la cuenca frente a una tormenta, evacuando el agua en menos tiempo. Igualmente esta relacionada con aspectos hidrológicos de la red de drenaje como la transmisividad del suelo, el flujo base, el caudal medio anual por unidad de área y la recarga.

**5.2.4.5 Pendiente del cauce principal.** La pendiente del cauce principal está definida como una variación de la elevación del cauce a través de su recorrido por la cuenca. La pendiente determina la velocidad de escurrimiento del agua, a mayor pendiente, mayor velocidad.

La pendiente media se puede estimar por el método de Taylor que ajusta una rasante al perfil del río, los proponentes de éste método sugieren dividir el río en tramos de igual longitud, cada uno con pendiente uniforme.

$$V_i = k\sqrt{S_i} = \frac{\Delta x}{t_i}$$

Donde,

K

$S_i$

$\Delta x$

$t_i$

: Dependencia  
: Pendiente  
: Longitud  
: Tiempo

$$S = \left[ \frac{\Sigma \Delta x}{\Sigma \frac{\Delta x}{S_i^{1/2}}} \right]^2 = \left( \frac{L}{\frac{L_1}{S_1^{1/2}} + \frac{L_2}{S_2^{1/2}} + \dots + \frac{L_n}{S_n^{1/2}}} \right)^2$$

Siendo,

S

L

:

Longitud total del cauce

: Pendiente

**5.2.5 Parámetros morfométricos adicionales.** Además de los parámetros mencionados anteriormente, se pueden formular algunos que proporcionan también una idea física de la cuenca. Algunos de éstos no se calcularon en las cuencas del presente proyecto. Ellos son la relación de circularidad, la relación de elongación, el índice de alargamiento, el rectángulo equivalente, el índice asimétrico y la sinuosidad. Estos parámetros son importantes en la realización de estudios regionales de cuencas cuando falta información de precipitación, evaporación, caudales entre otros.

**5.2.5.1 Relación de circularidad.** La relación de circularidad, ( $R_{ci}$ ), es el cociente entre el área de la cuenca (A) y la del círculo cuyo perímetro (P) es igual al del la cuenca:

$$R_{ci} = 4\pi A / p^2$$

Donde,

$R_{ci}$

: Relación

A	:	Área de la cuenca
P	:	Perímetro de la cuenca

**5.2.5.2 Radio o relación de elongación.** El radio o la relación de elongación es la relación entre el diámetro de un círculo de área igual a la cuenca y la longitud de la cuenca.

Expresando el diámetro en función del área de la cuenca su ecuación nos queda:

$$R_e = 1.128 * \frac{\sqrt{A}}{L}$$

Siendo,

$R_e$	:	Radio de
A	:	Área de
L	:	Longitud de la cuenca

**5.2.5.3 Índice de alargamiento.** El índice de alargamiento es el cociente entre la longitud máxima de la cuenca en la dirección del flujo principal y el ancho máximo de ella medido perpendicularmente.

$$I_a = \frac{L_m}{l}$$

Siendo,

$I_a$	:	Índice de
$L_m$	:	Longitud
L	:	Ancho m

**5.2.5.4 Rectángulo equivalente.** Es usado para comparar el comportamiento hidrológico de dos cuencas. Para dicho efecto se supone la cuenca como un rectángulo con el mismo perímetro y superficie de la cuenca original, y, por tanto, con igual coeficiente de compacidad,  $K_c$ .

Si el lado menor y mayor del rectángulo son, respectivamente,  $L_1$  y  $L_2$ , entonces se tiene:

$$P = 2(L_1 + L_2) = \frac{K_c \sqrt{A}}{0.28}$$

$$L_1 * L_2 = A$$

$$L_1 = \frac{K_c \sqrt{A}}{1.12} \left[ 1 - \sqrt{1 - \left( \frac{1.12}{K_c} \right)^2} \right]$$

$$L_2 = \frac{K_c \sqrt{A}}{1.12} \left[ 1 + \sqrt{1 - \left( \frac{1.12}{K_c} \right)^2} \right]$$

Donde:

P : Perímetro  
 K<sub>c</sub> : Coeficiente  
 L<sub>1</sub> : Longitud  
 L<sub>2</sub> : Longitud

**5.2.5.5 Índice Asimétrico.** Propuesto por M. Terns, es la relación del área de las vertientes mayor (A<sub>may</sub>) y menor (A<sub>men</sub>), las cuales son separadas por el cauce principal.

$$I_{as} = \frac{A_{may}}{A_{men}}$$

Este índice evalúa la homogeneidad en la distribución de la red de drenajes, pues si se tiene un índice mucho mayor a 1 se observará sobre la cuenca que el río principal está bastante recargado a una de las vertientes.

**5.2.5.6 Alejamiento medio.** Es la relación del curso de agua más largo con la superficie de la cuenca.

$$a = \frac{L}{\sqrt{A}}$$

Donde:

A : Alejamiento  
 L : Longitud  
 A : Superficie

**5.2.5.7 Sinuosidad.** Es la relación entre la longitud total del cauce principal (L), considerando sus curvas y recodos, y la longitud del valle del cauce principal medida sobre un trazado suave del cauce (L<sub>s</sub>).

$$Sin = \frac{L}{L_s}$$

**5.2.5.8 Tiempo de concentración.** Conocido de otra manera como tiempo de respuesta o de equilibrio. Se define como el tiempo requerido para que, durante un aguacero uniforme, se alcance el estado estacionario; es decir, el tiempo necesario para que la cuenca contribuya eficazmente a la generación de flujo en el desagüe. Se atribuye muy comúnmente el tiempo de concentración al tiempo que tarda una partícula de agua caída en el punto de la cuenca hidráulicamente más alejado del desagüe, en llegar a éste. El Tiempo de concentración definido por el método de Kirpich se representa así:

$$T_c = 0.01947L^{0.77} S^{-0.385}$$

Donde:

$T_c$

: Tiempo

L

: Longitud

S

:Pendiente del cauce principal según Taylor, en m/m

La fórmula de Kirpich fue desarrollada a partir de la información del SCS en siete cuencas rurales en Tennessee con canales bien definidos y pendientes empinadas (3-10%). Esta es una de las razones por la que es usado en las cuencas de Santander. La otra es por la facilidad de sus parámetros que dependen directamente de la longitud del cauce principal y de su pendiente.

Otras fórmulas para el cálculo de los tiempos de concentración se pueden observar en la tabla 13.

En la tabla 14 se realiza un resumen de los parámetros morfométricos y el método de cálculo utilizado.

Tabla 13. Otras formulas para calcular el tiempo de concentración.

METODO	FORMULA	CONSIDERACIONES
Fórmula Californiana (USBR).	$T_c = 0.066 \left( \frac{L}{J^{1/2}} \right)^{0.77}$	Tc=Tiempo de concentración [hr] L=Longitud del cauce ppal. [Km] J=Pte prom del cauce ppal. [m/m]
Fórmula de Giandotti	$T_c = \frac{4 \sqrt{A} + 1.5 L}{25.3 \sqrt{J L}}$	Tc=Tiempo de concentración [hr] L=Longitud del cauce ppal. [Km] J=Pte prom del cauce ppal. [m/m] A=Área de la cuenca [Km²]
Fórmula de Ventura-Heras	$T_c = \alpha \frac{A^{0.5}}{J} \quad 0.04 \leq \alpha \leq 0.13$	Tc=Tiempo de concentración [hr] J=Pte prom del cauce ppal. [m/m] A=Área de la cuenca [Km²]
Fórmula de Témez	$T_c = 0.3 \left( \frac{L}{J^{1/4}} \right)^{0.76}$	Tc=Tiempo de concentración [hr] L=Longitud del cauce ppal. [Km] J=Pte prom del cauce ppal. [m/m]
Fórmula California Culvert Practice	$T_c = 60 \left( \frac{11.9 L^3}{H} \right)$	Tc=Tiempo de concentración [min] L=Longitud del curso de agua más largo [mil] H=Diferencia de nivel entre la divisoria de aguas y el desagüe de la cuenca [ft]
Izzard	$T_c = \frac{41.025(0.0007i + c)L^{1/3}}{S^{1/3}i^{2/3}}$	Tc=Tiempo de concentración [hr] i=Intensidad de la lluvia [in/hr] c=Coficiente de retardo L=Longitud de la trayectoria del flujo [ft] S=Pte de la trayectoria del flujo [ft/ft]
Federal Aviation Administration	$T_c = \frac{1.81(1.1 - C)L^{0.5}}{S^{1/2}}$	Tc=Tiempo de concentración [hr] L=Longitud del flujo superficial [ft] C=Coficiente de escorrentia del metodo racional S=Pte de la superficie [%]

Tabla 14. Resumen de los parámetros morfométricos, según su método de cálculo.

PARAMETROS		CALCULADO A PARTIR DEL MDE	CALCULADAS CON EL MODELO TRADICIONAL
ELEVACION	Elevación máxima	SI	NO
	Elevación mínima	SI	NO
	Elevación mediana (Curva hipsométrica)	SI	NO
PENDIENTE	Pendiente media	SI	NO
	Pendiente media (Método de Alvord)	SI	NO
PARAMETROS DE FORMA	Coefficiente de forma	SI	NO
	Coefficiente de compacidad	SI	NO
	Coefficiente de masividad	SI	NO
PARAMETROS DE LA RED DE DRENAJE	Recorrido máximo	SI	NO
	Orden	NO	SI
	Orientación	NO	SI
	Densidad de drenaje	NO	SI
	Pendiente del cauce principal (Método de Taylor)	NO	SI
OTROS PARAMETROS	Radio o relación de circularidad	NO	NO
	Radio o relación de elongación	NO	NO
	Sinuosidad	NO	NO
	Índice de alargamiento	NO	NO
	Rectángulo equivalente	NO	NO
	Índice asimétrico	NO	NO
	Alejamiento medio	NO	SI
	Tiempo de concentración	NO	SI

### Obtención de parámetros a partir del MDE

Los rasgos topográficos del MDE determinan en primera instancia la dirección de flujo, es decir, en una celda del modelo se puede conocer en qué dirección se desplaza el agua precipitada. Con las direcciones de flujo se puede construir un modelo derivado para determinar el flujo acumulado para cada celda del terreno. La distribución de flujo acumulado es el soporte para la construcción de la red de drenaje de una cuenca, el cual permite delimitar la cuenca o subcuencas de un sistema hidrológico a partir de puntos de drenaje de interés por el usuario.

Los datos y resultados obtenidos a partir del MDE son datos confiables siempre y cuando se tengan unos planos con buena calidad y una resolución adecuada para el estudio. Este trabajo contempla planos que han sido revisados, arreglados y restituidos con el cuidado requerido según las normas del Instituto Geográfico Agustín Codazzi y están a una escala 1:25000, escala que permite obtener resultados representativos de las cuencas en estudio.

El MDE contiene información implícita y explícita o atributos. Para lograr el máximo aprovechamiento de esta propiedad es necesario construir una serie de algoritmos a fin de interactuar con el modelo digital del terreno y extraer los datos necesarios para procesos hidrológicos de una cuenca. Por tal razón se utiliza el Script realizado por el Ing. Luis A. Capacho<sup>6</sup> para el cálculo de los parámetros morfométricos de las cuencas. Los resultados son generalmente mapas derivados los cuales se denominan en la literatura con las siglas MDT.

A continuación se enuncian conceptos básicos que se utilizan en la realización del MDT, como sumideros, flujo forzado, flujo normal, flujo acumulado, direcciones de flujo; se describe el concepto y la construcción del área subsidiaria de las cuencas así como de la red de drenaje de la misma y para finalizar se describen errores que se cometen frecuentemente en la realización de éste proceso y se muestran las soluciones a los mismos.

**5.3.1 Sumideros.** Cuando se va a dar inicio al cálculo de parámetros morfométricos a partir de la información contenida en el MDE, no siempre se pueden efectuar las operaciones, ya que errores en la topografía obligan a modificar el modelo de alguna forma con el fin de adecuarlo para el posterior procesamiento y tener la certeza de obtener datos fiables. Las posibles modificaciones pretenden un acercamiento del MDE con la realidad, por lo que está cargado de imprecisiones debido a la naturaleza del proceso de construcción, que frecuentemente introduce numerosos artificios en el relieve del MDE impropios de una formación natural, los cuales son llamados por la literatura como sumideros.

Los sumideros que generalmente se encuentran en la superficie de un MDE raster pueden ser una celda o varias celdas continuas comúnmente llamadas zonas planas. Estos sumideros pueden generarse a partir de errores derivados de los procesos de interpolación, corrección, etc., que tienen lugar en la conversión de las fuentes primarias (ortofotos, cartografía clásica), una mala asociación de la escala de la información y el tamaño de celda, etc. Los sumideros son celdas bajas con respecto a sus ocho celdas vecinas que se pueden encontrar distribuidas en cualquier parte del área de la cuenca.

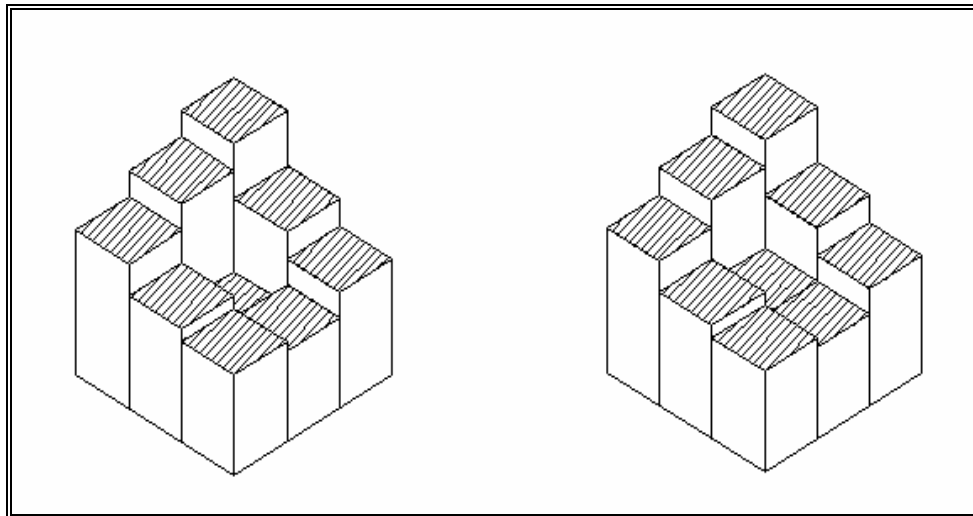
---

<sup>6</sup>CAPACHO, Luis Alberto. Modelamiento espacialmente distribuido de cuencas hidrográficas soportado sobre SIG. Bucaramanga, 2003, 174 p. Tesis de maestría (M.Sc).UIS. Escuela de Ingeniería Civil. Área de hidrología.

Los sumideros dificultan o impiden el correcto calculo de parámetros y a nivel de programación no podría haber una continuidad en el proceso del algoritmo, ya que frenan el correcto avance del agua a lo largo de las laderas, afectando plenamente los cálculos posteriores, como por ejemplo el mapa de direcciones de flujo que determina un virtual avance del escurrimiento del agua precipitada en una celda hacia las direcciones de máxima pendiente.

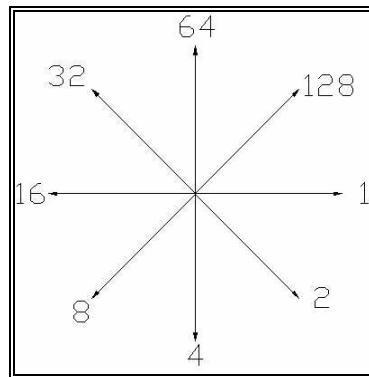
Frente a este problema la solución clásica y más extendida consiste en el relleno de las depresiones, proceso conocido en la literatura como “pit-filling” que genera superficies planas. Primero es necesario localizarlos para posteriormente realizar el proceso de llenado de estos sumideros hasta el nivel de la celda más baja del perímetro, es decir, la que contiene el dato de elevación más bajo de sus ocho celdas alrededor. A pesar de parecer un problema simple, este proceso es fuente actual de investigación y no existe una metodología exacta (ver figura 41).

Figura 41. Ejemplo de llenado de un sumidero.



**5.3.2 Dirección de flujo.** La dirección de flujo es el camino de descenso que tomaría el agua precipitada para cada celda en función de la máxima pendiente de descenso. Este es codificado dependiendo a la orientación de alguna de las ocho celdas que rodean la celda central usando los valores binarios que se ven en la figura 42.


Figura 42. Código de direcciones de flujo.



Si el flujo de la celda central es hacia la derecha, a ésta se le asigna la dirección de flujo 1 o si el flujo de la celda central es ascendente en el sentido vertical, a esta celda se le asigna el valor de dirección de 64. Para éstos cálculos de dirección de flujo se desprecian todos los efectos debidos a la inercia, fricción e infiltración, asignando a cada celda una y sólo una dirección de flujo entre ocho posibles. Esta dirección se supone que representa la dirección de todos los puntos al interior de la celda, en sentido físico desde la celda fuente hasta la celda adyacente de llegada.

Para una celda a evaluar, el flujo del agua sigue la dirección del gradiente local de energía potencial, igual a la pendiente del terreno. La forma en que el modelo estima la pendiente del terreno es muy simple. Primero dada una celda *c* del MDE, se ubican las ocho celdas adyacentes y se estiman las inclinaciones del terreno entre la celda estudiada y las adyacentes. Finalmente la pendiente en la celda estudiada es la menor de todas las calculadas con las adyacentes. (Ver figura 43)

Figura 43. Asignación de la dirección de flujo para una celda teniendo en cuenta la elevación de las celdas adyacentes

3620	3622	3623		3620	3622	3623
3619	3618	3620		3619		3620
3621	3617	3616		3621	3617	3616

La distancia es determinada entre los centroides de cada celda; de ésta forma si el tamaño de una celda es 1, la distancia entre celdas ortogonales es 1 y la distancia entre dos celdas diagonales será de 1,414214. De esta manera el número de celdas vecinas contribuye a determinar a una y solamente una dirección de flujo en cada celda de los posibles valores de direcciones en las que corre el flujo.

El proceso de evaluación de direcciones de flujo se determina para todas las celdas del modelo de cuenca (ver figura 44), y al código de dirección de flujo generalmente se le asigna un color para la representación visual de la cuenca en los SIG, el cual se denomina dirección de flujo normal. (ver figura 45).

Figura 44. Distribución de direcciones de flujo para todas las celdas del modelo

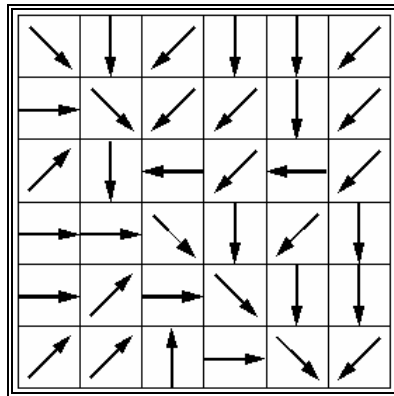
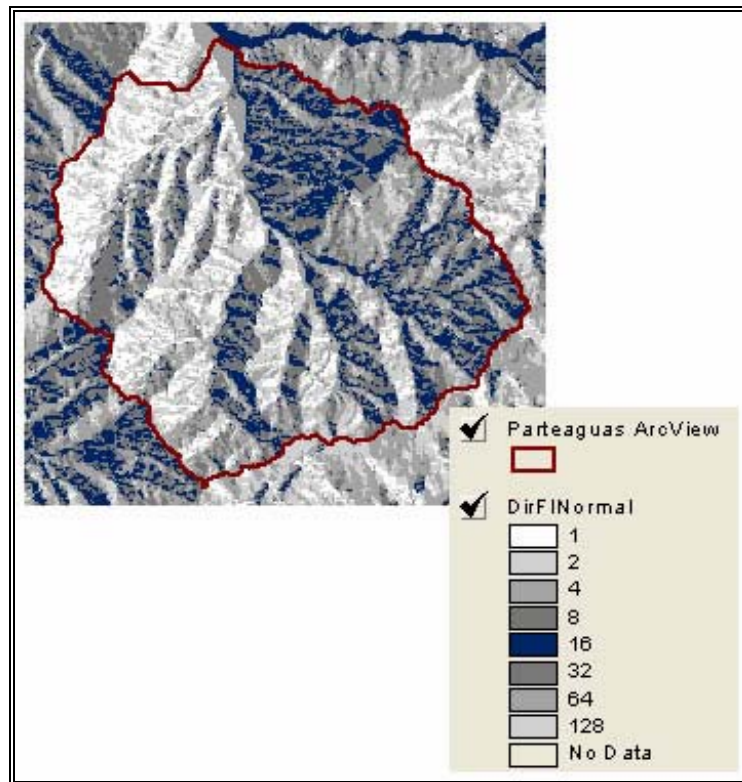


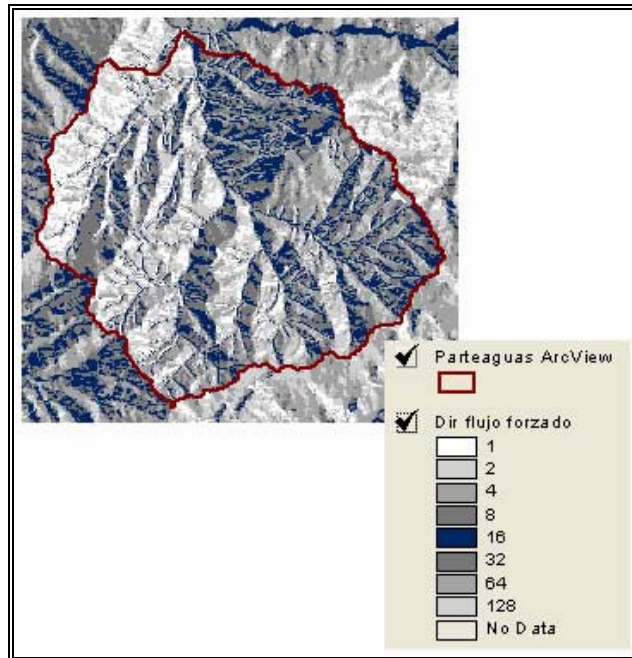
Figura 45. Ejemplo de direcciones de flujo normal Microcuenca Río Chino Teno.



Con el propósito de modelar un mapa de direcciones de flujo más acorde con la realidad, se desarrolla un proceso que se denomina modelo de direcciones de flujo forzado. Consiste como su palabra lo dice, en forzar en el modelamiento las direcciones de flujo en dirección de los canales de la red de drenaje, teniendo como soporte la red de drenaje vectorial del área de estudio. Para éste proceso se necesita del MDE raster y de la red de drenaje vectorial traída desde AutoCAD.

El mapa de la red de drenaje se superpone sobre el MDE y se procede a eliminar los valores de altura de las celdas del MDE que se superponen con las celdas de la red, es decir, se les asigna un valor de altura muy bajo, cero o uno; operación que se realiza desde el lenguaje de programación del SIG. Posteriormente sobre el MDE ya cortado, se realiza el proceso de determinar el modelo de direcciones de flujo forzado, habiéndose corregido previamente los sumideros o hundimientos presentes en el MDE. La finalidad de reducir a un valor mínimo las celdas del MDE que contienen los canales de la red de drenaje es lograr el forzamiento de las direcciones de flujo en la dirección correcta, es decir a lo largo de los ríos contenidos en la información del mapa vectorial de la red de drenaje (ver figura 46).

Figura 46. Ejemplo de dirección de flujo forzado Microcuenca Río Chino Teno



Con la dirección del mapa de direcciones de flujo forzado se determina el mapa de flujo acumulado para posteriormente crear el mapa de la red de drenaje de la cuenca (procesos que se explicarán más adelante). El resultado de este procedimiento es importante ya que la estructura de la red de drenaje coincide con la información consignada en los planos cartográficos. Además se trazan otros tramos que posiblemente pueden ser cauces efímeros que existen inmediatamente después de los eventos de lluvia y transportan solo la escorrentía superficial o simplemente no fueron cartografiados previamente.

**5.3.3 Flujo acumulado.** Una vez procesado el MDE para determinar las direcciones de flujo, el modelamiento continúa en el cálculo del flujo acumulado para cada celda del modelo. El proceso consiste en analizar en sentido horizontal de la matriz de datos, cada una de las celdas con respecto a sus ocho celdas vecinas, procesando cuantas celdas aportan a una celda determinada y se procede a contabilizar y almacenar el número de celdas portantes. Para contabilizar las celdas es necesario como información base, el mapa raster de las direcciones de flujo. Es importante resaltar que para cada celda se debe tener en cuenta la adición de las celdas acumuladas aguas arriba.

Cada uno de los datos del flujo acumulado se almacena en una matriz o mapa raster dentro del SIG el cual es utilizado para posteriores análisis. El mapa de flujo acumulado se define como la suma de lluvia que llega a cada una de las celdas desde aguas arriba, asumiendo que toda la lluvia se convierte en escorrentía y no hay intersección, evapotranspiración o pérdidas por el subsuelo. Las celdas con valores altos de flujo acumulado son áreas de concentración de flujo y pueden ser usadas posteriormente para determinar los canales de drenaje a partir de un valor de umbral para un subconjunto de celdas con flujo acumulado alto.

Las celdas con valor de flujo acumulado cero son puntos topográficos altos, usados posteriormente para determinar los bordes o el parteaguas de una subcuenca. El valor de flujo acumulado está dado en números de celdas; que son las celdas del mapa que se localizan aguas arriba desde un punto de drenaje o de interés por el usuario. El mapa de flujo acumulado permite conocer de forma rápida el área subsidiaria a una celda específica simplemente haciendo clic sobre la superficie del mapa. Este valor se multiplica por el área de la celda del mapa.

En la figura 47 se puede observar un detalle en el punto de drenaje de la microcuenca Chino Teno, donde se analiza el valor de las celdas acumuladas en el punto de drenaje de la cuenca.



de drenaje para cada segmento de río teniendo como soporte el mapa que contiene la información de direcciones de flujo.

El proceso comienza desde los puntos de salida o unión de cada tramo de río, buscando las celdas aguas arriba que confluyen a ese segmento de río a partir de la información contenida en el mapa de direcciones de flujo. Desde estos puntos de salida, más las celdas aguas arriba de los segmentos de río, se les asigna un código o número de celda que es de igual valor al que contiene el segmento del río.

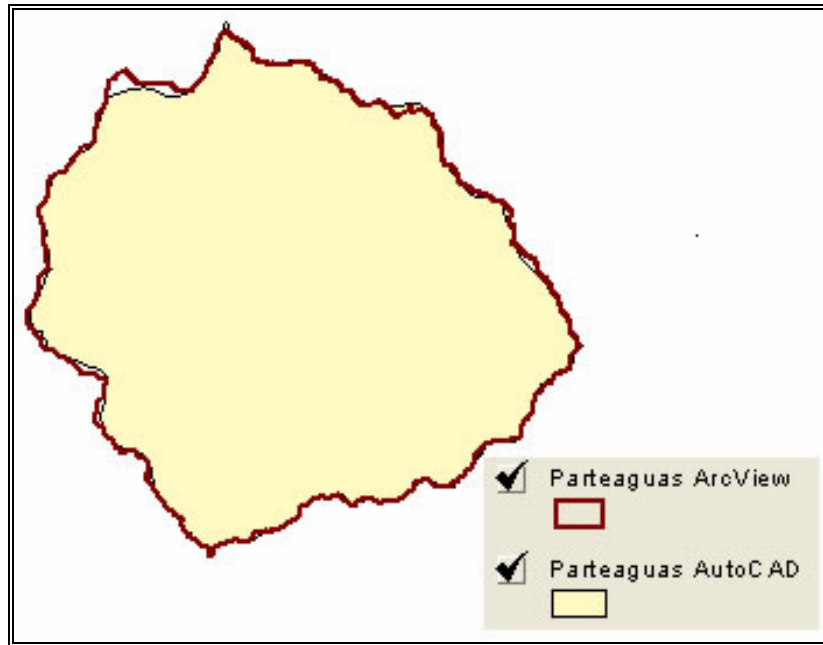
Cuando se procesa la delimitación de las cuencas a partir de puntos georreferenciados, el modelamiento necesita la información del mapa de flujo acumulado y el mapa de las direcciones de flujo. Los puntos de salida o de drenaje son los puntos en los cuales los flujos de agua salen del área de la cuenca, por lo tanto cuando un punto es seleccionado por el usuario SIG sin ninguna referencia, puede ser que ocurra que ese punto no tenga un área de confluencia o ésta sea demasiada pequeña.

El resultado del mapa de área subsidiaria es una malla raster el cual es necesario transformar a un polígono vectorial. Este borde o límite obtenido a partir del proceso del MDE define en primera instancia el área de la cuenca y es utilizado para cortar uno de los mapas o modelos obtenidos previamente así como la información característica de la cuenca: mapas de vegetación, tipo y uso, pendiente, etc.

El parteaguas trazado por el programa generalmente no es el mismo trazado previamente en AutoCAD, sin embargo se debe procurar que la diferencia de áreas entre ellos no sea significativa para que los resultados obtenidos sean viables para la cuenca en cuestión (ver figura 48). Cuando los errores entre los dos trazados son significativos se hace necesario verificar en primera instancia el motivo de la discrepancia y luego corregir el parteaguas original.

**5.3.5 Red de drenaje.** Un canal es definido como la línea a lo largo del cual el sistema fluvial es dominado por el sistema de pendientes de la cuenca. Este concepto de dominios conduce a dos métodos básicos para definir la red de drenaje; uno se basa sobre la concavidad local de la superficie y otro sobre la información de flujo acumulado.

Figura 48. Comparación entre el parteaguas trazados en AutoCAD y ArcView para la Microcuenca del Río Chino Teno.



La red de drenaje de una cuenca la forma la precipitación cuando se transforma en caudal y que puede llegar a los canales naturales de la cuenca mediante las corrientes superficiales. También la puede formar el flujo subsuperficial o ambos y esta se caracteriza por el río principal y sus afluentes. La red de drenaje puede definirse como los trayectos que a partir de un punto inicial sigue la línea de máxima pendiente. Los afluentes finalizan al alcanzar un punto de unión con el río principal y el río finaliza al llegar al borde del modelo o al límite de la cuenca. El proceso de determinar la red de drenaje espacialmente es el soporte posterior para los cálculos del tiempo de concentración de la cuenca.

Con la información topográfica del MDE es posible identificar la forma y posición de los canales. A partir de un MDE y sus direcciones de flujo derivadas, es posible estimar las trayectorias del flujo sobre la superficie del terreno.

La mayor parte de los SIG con propósitos hidrológicos determinan la red de drenaje a partir de la información contenida en el mapa de flujo acumulado, aplicando una condición de umbral a todas aquellas celdas que reciban un número de celdas superior a dicho umbral; estas son consideradas como cauces. Mediante esta condición se establece una diferencia entre aquellas áreas cuyos escurrimientos no alcanzan un valor mínimo de umbral que se consideran como zonas con escorrentía no encauzada, y aquellas áreas que debido a su elevado valor de flujo acumulado han quedado transformadas en estructuras fluviales de importancia.

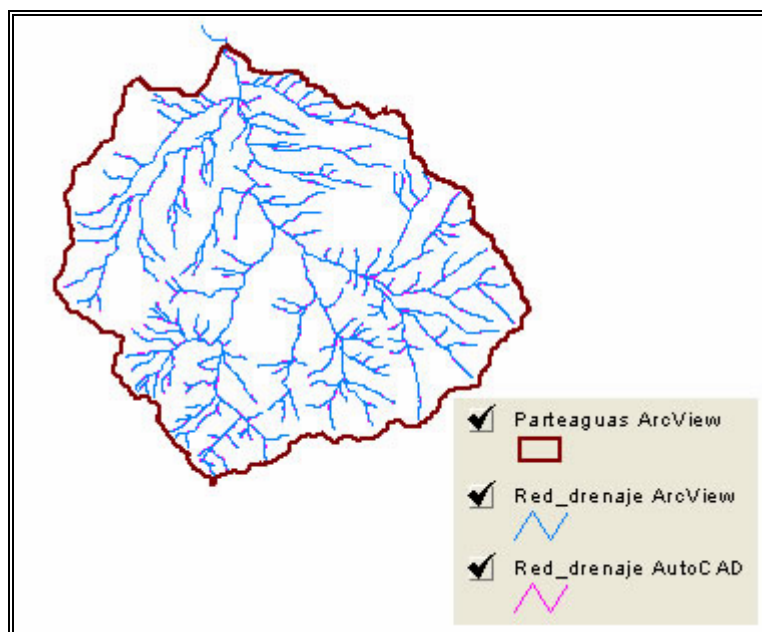
Aunque el valor de un umbral es predefinido a criterios del usuario; no existe mucha discusión con respecto a la formación de red de drenaje a partir del mapa raster del flujo acumulado.

El trazado de la red de drenaje a partir de la información de flujo acumulado generalmente no es muy acorde con la realidad del terreno, por lo que la condición del umbral se le aplica a toda el área de la cuenca. No es cierto decir que el valor del umbral es el punto de inicio de la formación de las cabeceras de los canales para todo el área de la cuenca. La cabecera de un canal esta mas asociada a la forma de la cuenca y a la pendiente del terreno que en cierta forma determina la transición entre ladera y canal.

Para superar éste inconveniente se ha desarrollado en la herramienta SIG el trazado en la red de drenaje a partir de los puntos altos de las cabeceras de los ríos teniendo como información base el mapa raster de dirección de flujo. Esta información de puntos puede tenerse a partir de imágenes aéreas o satelitales de la cuenca de estudio, levantamiento con GPS o a través de la información cartográfica de la red de drenaje tomando desde AutoCAD la nube de puntos necesaria para el trazado. Para esto último es recomendable tener presente la calidad de la información digitalizada. El proceso consiste en trazar una línea para cada punto, el camino de máxima pendiente por donde viajaría el flujo, hasta llegar al límite de la cuenca o punto de drenaje. El algoritmo inicia desde cada punto de drenaje, analizando para cada celda cuál de sus ocho vecinas tiene la máxima pendiente para continuar con el recorrido de flujo trazando una línea entre los centroides de las celdas analizadas hasta alcanzar la salida de la cuenca.

Para éste estudio se obtuvo la red de drenaje a partir de la información cartográfica tomando desde AutoCAD la nube de puntos necesaria para el trazado. Posteriormente se compara la red existente en dicha información cartográfica y se compara con la obtenida en el programa, igualmente se estima si el error entre ellas es significativo para dar lugar a una corrección o a aceptarla como la red de drenaje a trabajar. (Ver figura 49)

Figura 49. Comparación de la red de drenaje de AutoCAD con la de ArcView para la Microcuenca Río Chino Teno.

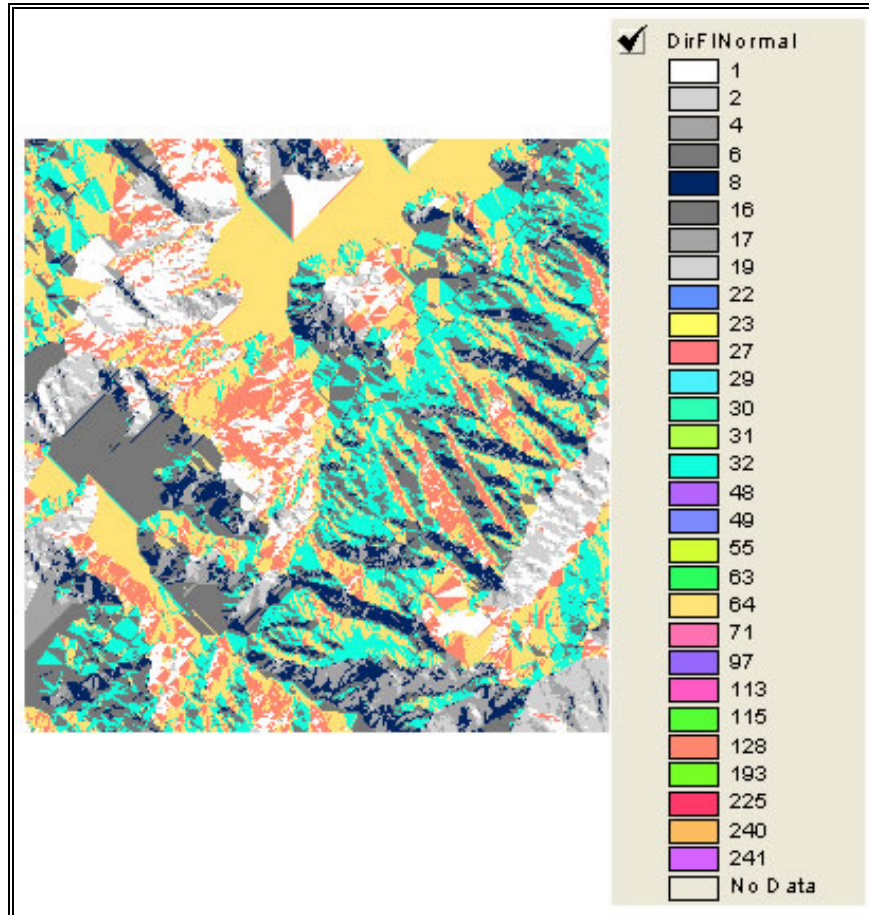


### Observaciones, problemas y soluciones.

Los parámetros morfométricos anteriormente descritos se calcularon únicamente para las cuencas de segunda división, pero al no tener información completa, no se pudieron simular 5. Estas cuencas se trabajaron en el Script limitándolas con un rectángulo que cubriera toda la cuenca y no con el parteaguas original para evitar la creación de elevaciones que no existen y que llevan a datos erróneos, en el momento de la interpolación que realiza el TIN al crear el modelo digital de elevación (MDE). De las 73 cuencas que se simularon, 37 presentaron celdas bajas o sumideros en el momento de crear el MDE raster y se hizo necesario aplicar el proceso de llenado de éstas celdas para evitar que posteriormente los parámetros se calcularan de manera equivocada. A continuación se describen los errores que se presentaron en el proceso de modelamiento de las cuencas, con su respectiva solución y recomendación.

**5.4.1 Error por no llenado de sumideros.** Cuando existen celdas bajas o sumideros en la cuenca y no se procede a llenarlas y se sigue trabajando con el MDE\_raster, se genera en primera instancia un error en el cálculo del flujo normal ya que no se obtiene la numeración esperada sino una muy diferente. Este error es muy visible y se soluciona simplemente aplicando el proceso de llenado a los sumideros y calculando el flujo normal con el raster\_llenado (ver figura 50).

Figura 50. Ejemplo del error por no llenar los sumideros en la Microcuenca Río Chuqueque perteneciente a la Cuenca del Río Suárez

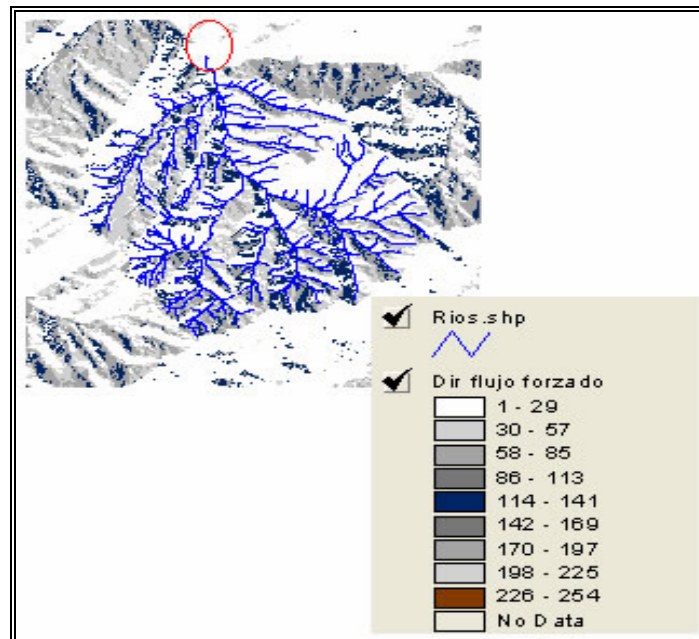


**5.4.2 Error debido a las curvas de nivel.** Otras veces cuando se pretende obtener la dirección de flujo normal no se obtiene la numeración convencional que garantiza que el flujo está bien hecho, y sí proporciona un intervalo para cada color representativo. Este error se debe generalmente a que aunque se hace una revisión minuciosa de todos los planos, cuenca, cuencas de primera división y de segunda división, se está sujeto a errores en las curvas de nivel, siendo más puntuales existen curvas de nivel que se cruzan y éstas hacen que se genere un error en la construcción del flujo normal. Cuando se encuentra

este error es necesario dirigirse a la información cartográfica contenida en AutoCAD y corregir dichas curvas para luego si obtener el flujo normal satisfactoriamente.

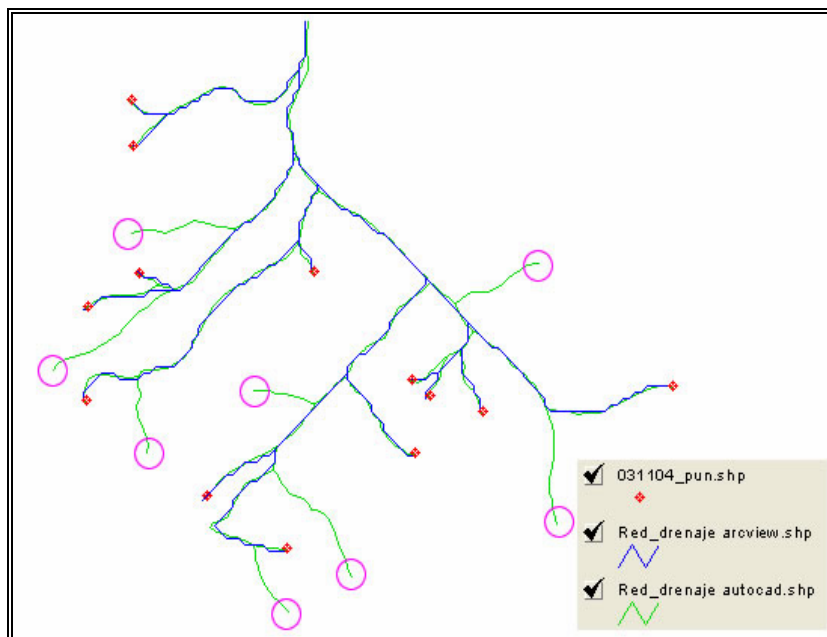
**5.4.3 Error por la no continuidad de los ríos.** En el caso del flujo forzado cuando no se obtiene la numeración convencional, se debe generalmente a un error existente en el archivo traído desde AutoCAD de ríos. Muy posiblemente se debe a que los ríos no tienen un afluente al cual llegar, es decir, se encuentran sueltos y por lo tanto el programa no los reconoce. En este caso es necesario dirigirse al archivo original desde AutoCAD y arreglar el río problema (ver figura 51).

Figura 51. Ejemplo de error por la incontinuidad de los ríos de la Microcuenca Río Chino Teno perteneciente a la Cuenca del Río Suárez.



**5.4.4 Error por la no colocación de puntos en la red de drenaje.** Un error convencional es no colocar la totalidad de los puntos en las cabeceras de los ríos de la red de drenaje desde AutoCAD (ver figura 52). Esto hace que la red trazada por el programa se efectúe sin tener en cuenta los tramos definidos por los puntos. En este caso se debe volver al archivo que los contiene, completar los puntos, y redefinir la red de drenaje.

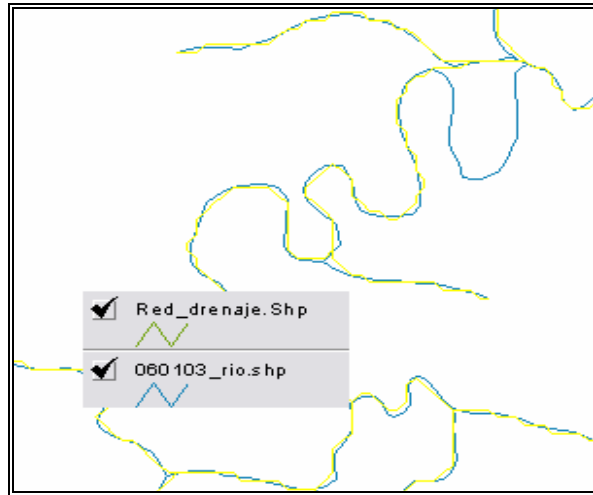
Figura 52. Error por la falta de puntos en la red de drenaje de la Microcuenca Río Chino Teno perteneciente a la Cuenca del Río Suárez.



**5.4.5 Error por topografía irregular.** Cuando se presentan zonas con topografía irregular y cauces muy sinuosos; generalmente el programa no tiene en cuenta dicha sinuosidad y presenta un error en la red de drenaje alejándose de la red real como se puede ver en la figura 53. Para éste problema la solución es mucho más compleja puesto que no es a nivel de archivos de AutoCAD sino a nivel de programación y de simulación de

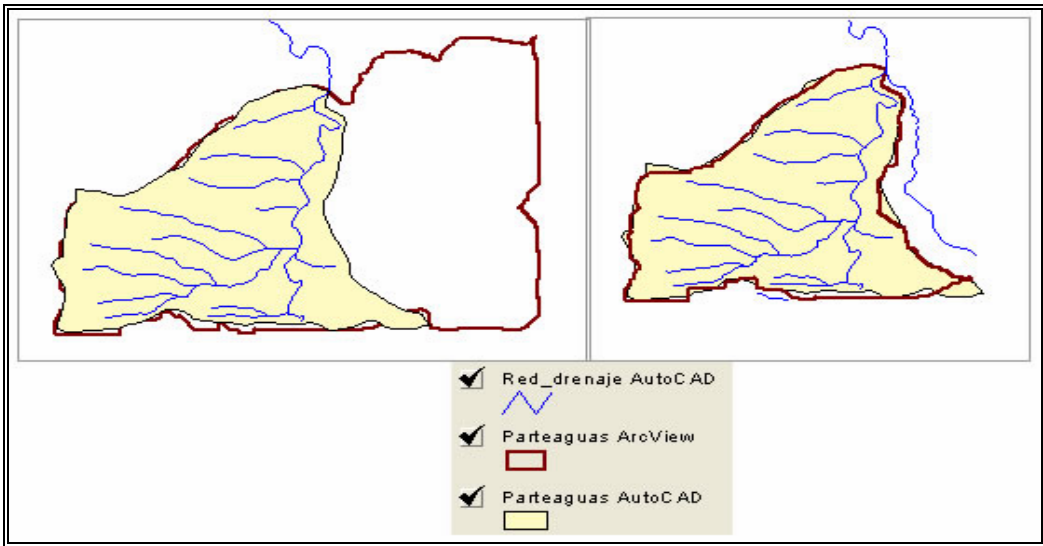
fenómenos que se aproximen mas a la realidad, por lo tanto en éstos casos se trabaja con la aproximación realizada por el programa asumiendo el error.

Figura 53. Ejemplo de error por ríos sinuosos



**5.4.6 Error en el trazado del parteaguas.** Un caso que se da muy a menudo es que el área del parteaguas original traído desde AutoCAD no coincida con el obtenido en el programa debido a que desde AutoCAD solo se traen los ríos que se encuentran dentro del parteaguas original y el programa solo los tiene en cuenta a ellos y olvida los ríos vecinos pertenecientes a otra cuenca. En éste caso es necesario agregar los ríos en donde se encuentra el error y así se obtiene un parteaguas más cercano al real (ver figura 54).

Figura 54. Error en el trazado del parteaguas por omitir los ríos vecinos.



## **Resultados**

La información obtenida para cada una de las cuencas estudiadas que incluyen la cuenca principal, y las cuencas de afluentes principales (primera división) y de afluentes secundarios (segunda división), representa su caracterización física, geográfica e hidrográfica y su ubicación con respecto a las planchas IGAC y los municipios del departamento de Santander. Por otro lado, la información recopilada de las planchas IGAC obedece a sus datos básicos, a la cobertura de municipios del departamento de Santander, cobertura de otros departamentos, cobertura de cuencas, presencia de zonas sin información, y observaciones generales.

La caracterización general de la cuenca principal corresponde a su ubicación y extensión, la división hidrológica realizada en este proyecto que incluyen los datos de los parámetros morfométricos y de la red de drenaje de cada una de las cuencas, y la interpretación de resultados mediante la observación directa de sus propiedades topográficas, su distribución hidrográfica, y la variación espacial de los parámetros obtenidos.

Teniendo en cuenta la necesidad de realizar operaciones de búsqueda y consulta, y la extensión y complejidad de los datos a nivel de cuencas y planchas, se resuelve organizar la información resultante en una base de datos y desarrollar un sitio Web que facilite su interacción con múltiples usuarios.

En este capítulo, se presenta el esquema de los resultados obtenidos de las cuencas y planchas IGAC, la caracterización general de la cuenca como interpretación de los resultados, la construcción de la base de datos, y el diseño y creación del sitio Web.

## Resultados obtenidos a partir del ejemplo de aplicación

Se pueden observar las fichas técnicas para las planchas IGAC, cuenca principal, cuencas de primera división, y cuencas de segunda división para la cuenca del río Suárez, en las tablas 15, 16, 17 y 18.

Tabla 15 Ficha técnica de las planchas IGAC, para la plancha 120-III-D.

<b>FICHA TECNICA PLANCHAS IGAC</b>	
<b>Información General</b>	
<i>Nombre</i>	: 120-III-D
<i>Escala</i>	: 1 : 25000
<i>Año de publicación</i>	: 1975
<i>Tipo de carta</i>	: General
<i>Versión digitalizada por</i>	: Grupo de Geomática
<i>Medio impreso</i>	: Disponible
<i>Fotografías aéreas</i>	: Enero 1996
<i>Clasificación de campo</i>	: Diciembre 1972 a Diciembre 1974
<i>Restitución</i>	: Febrero 1975
<i>Revisión</i>	: Mayo 1975
<i>Porcentaje de restitución (*) (**)</i>	: 8,67%
<i>Porcentaje de nubes (**)</i>	: 8,67%
<i>Municipios relacionados</i>	: Galán, Betulia, San Vicente De Chucurí, Zapatoca
<i>Cuencas Relacionadas</i>	: Quebrada Pao - Cuenca del Río Pao
<i>(*) Restitución realizada por el proyecto HidroAtlas.</i>	
<i>(**) Porcentaje con respecto al área de la plancha.</i>	

Tabla 16 Ficha técnica de la cuenca principal, para la cuenca del río Suárez.

## FICHA TÉCNICA CUENCA DEL RÍO SUÁREZ

### Información General

<i>Código</i>	:	030000
<i>Nombre</i>	:	Cuenca del Río Suárez
<i>Orientación</i>	:	Sur - Norte
<i>Río donde desemboca</i>	:	Río Chicamocha
<i>Área Total</i>	:	7919,38 Km <sup>2</sup>
<i>Área Trabajada</i>	:	4187,6 Km <sup>2</sup>
<i>Perímetro Total</i>	:	603,09 Km..
<i>Perímetro Trabajado</i>	:	419,4 Km.
<i>Longitud del Cauze Principal Trabajado</i>	:	167,33 Km.
<i>Elevación Máxima Trabajada</i>	:	3850 msnm
<i>Elevación Mínima Trabajada</i>	:	350 msnm
<i>Porcentaje modelado *</i>	:	98,02%
<i>Porcentaje trabajado **</i>	:	52,87%
<i>Municipios relacionadas a la cuenca trabajada</i>	:	Aguada, Cabrera, Charalá, Chima, Chipatá, Confines, Contratación, El Carmen, El Guacamayo, Galán, Gámbita, Guadalupe, Guapota, Barbosa, Güepsa, Hato, La Paz, Barichara, Oiba, Palmar, Palmas Del Socorro, Páramo, San Benito, San Vicente De Chucurí, Santa Helena Del Opón, Simacota, Socorro, Suaita, Veléz, Villanueva, Zapatoca y otros por fuera del Departamento de Santander.
<i>Total Municipios</i>	:	32
<i>Municipios relacionadas con el cauce principal</i>	:	Aguada, Cabrera, Chima, Contratación, El Guacamayo, Galán, Guadalupe, Guapota, Barbosa, Güepsa, Barichara, Palmar, Palmas Del Socorro, Puente Nacional, San Benito, Simacota, Socorro, Suaita, Villanueva, Zapatoca, Otros por fuera del Departamento
<i>Planchas relacionadas a la cuenca trabajada</i>	:	120-III-D, 120-IV-C, 135-I-B, 135-I-C, 135-I-D, 135-II-A, 135-II-B, 135-II-C, 135-II-D, 135-III-A, 135-III-B, 135-III-C, 135-III-D, 135-IV-A, 135-IV-C, 150-II-D, 150-IV-B, 150-IV-C, 150-IV-D, 151-I-A, 151-I-B, 151-I-C, 151-I-D, 151-II-A, 151-II-C, 151-III-A, 151-III-B, 151-III-C, 151-III-D, 151-IV-A, 151-IV-C, 170-II-A, 170-II-B, 170-II-D, 170-IV-B, 171-I-A, 171-I-B, 171-I-C, 171-I-D, 171-II-A, 171-II-C, 171-II-D, 171-III-A, 171-III-B, 171-III-C, 171-III-D, 171-IV-A, 171-IV-B y 191-I-B.
<i>Total Planchas</i>	:	49
<i>Planchas relacionadas con el cauce principal</i>	:	120-IV-C, 135-I-D, 135-II-A, 135-II-C, 135-III-B, 135-III-D, 150-IV-D, 151-I-A, 151-I-B, 151-I-C, 151-I-D, 151-II-C, 151-III-A, 151-III-C, 170-II-B, 170-II-D
<b>Primeras Divisiones</b>		
<i>No. de Cuenclas</i>	:	4
<i>No. de Subcuenclas</i>	:	8
<i>No. de Microcuenclas</i>	:	12
<b>No. Total de Primeras Divisiones</b>	:	24
<b>Segunda División</b>		
<i>No. de Subcuenclas</i>	:	14
<i>No. de Microcuenclas</i>	:	42
<i>No. de Sectores Hidrológicos</i>	:	9
<i>No. de Unidades Hidrológicas</i>	:	7
<i>No. de Cuenclas Endorreicas</i>	:	1
<b>No. Total de Segundas Divisiones</b>	:	73

\* Porcentaje tomado con respecto al área trabajada de la cuenca

\*\* Porcentaje tomado con respecto al área total de la cuenca

Tabla 17 Ficha técnica de las cuencas de primera división, para la cuenca del río lenguaruco perteneciente al río Suárez.

## FICHA TECNICA CUENCAS DE PRIMERA DIVISION

### Información General

<i>Código</i>	:	31100
<i>Nombre</i>	:	Cuenca Río Lenguaruco
<i>Orientación</i>	:	Norte - Este
<i>Río donde desemboca</i>	:	Río Suárez
<i>Area</i>	:	931,39 Km <sup>2</sup>
<i>Perímetro</i>	:	162,64 Km.
<i>Longitud del Cauce Principal</i>	:	67,14 Km.
<i>Elevación Máxima</i>	:	3850 msnm
<i>Elevación Mínima</i>	:	1050 msnm
<i>Municipios relacionados con la cuenca</i>	:	Charalá, Gámbita, Guadalupe, Suaita y otros por fuera del Departamento de Santander.
<i>Municipios relacionados con el cauce principal</i>	:	Charalá, Gámbita, Guadalupe, Suaita, Otros por fuera del Departamento
<i>Planchas relacionadas con la cuenca</i>	:	151-III-B, 151-III-C, 151-III-D, 151-IV-C, 171-I-A, 171-I-B, 171-I-C, 171-I-D, 171-II-A, 171-II-C, 171-II-D, 171-III-B, 171-IV-A y 171-IV-B
<i>No. Planchas que comprende</i>	:	14
<i>Planchas relacionadas con el cauce principal</i>	:	151-III-B, 151-III-C, 151-III-D, 151-IV-C, 171-I-A, 171-I-B, 171-I-C, 171-I-D, 171-II-A, 171-II-C, 171-II-D, 171-III-B, 171-IV-A y 171-IV-B
<i>Limites Geográficos</i>	:	Al Norte con la Cuenca del Río Oibita, Microcuenca del Río Suárez y la Microcuenca de la Quebrada La Pava, al Sur con la Microcuenca del Río Suárez y al oeste con la Cuenca del Río Uvasa.

### Segunda División

<i>No. de Subcuencas</i>	:	5
<i>No. de Microcuencas</i>	:	5
<i>No. de Sectores Hidrológicos</i>	:	1
<i>No. de Unidades Hidrológicas</i>	:	1
<i>No. de Cuencas Endorreicas</i>	:	1
<b>No. Total de Segundas Divisiones</b>	:	<b>13</b>

Tabla 18 Ficha técnica de las cuencas de primera división, para la cuenca del río Tolota perteneciente a la cuenca del río Suárez.

## FICHA TECNICA CUENCAS DE SEGUNDA DIVISION

### Información General

<i>Código</i>	:	031101
<i>Nombre</i>	:	Río Tolotá
<i>Tipo de Cuenca</i>	:	Subcuenca
<i>Orientación</i>	:	Norte - Oeste
<i>Río donde desemboca</i>	:	Río Tolotá
<i>Afluente principal relacionado</i>	:	Río Tolotá
<i>Área</i>	:	163,43
<i>Perímetro</i>	:	163,75
<i>Municipios relacionados con la cuenca</i>	:	Charalá, Gámbita, Suaita.
<i>Planchas IGAC relacionadas con la cuenca</i>	:	151-III-D, 151-IV- C, 171-I-B,171-II-A, 171-II-C.
<i>Municipios relacionados con el cauce principal</i>	:	Gámbita, Suaita.
<i>Planchas IGAC relacionadas con el cauce principal</i>	:	151-III-C, 151-III-D, 171-I-B, 171-II-A, 171-II-C.

### Parámetros Morfométricos de la Red de Drenaje

<i>Longitud del cauce principal</i>	:	36,75 Km
<i>Longitud del recorrido máximo</i>	:	38,054 Km
<i>Orden</i>	:	4
<i>Longitud Red de drenaje</i>	:	189,84 Km.
<i>Densidad de drenaje</i>	:	1,16 Km/Km <sup>2</sup>
<i>Pendiente Cauce principal por el método de</i>	:	3,14%
<i>Pendiente Cauce principal por el método de</i>	:	1,90%

### Parámetros Morfométricos de la Cuenca

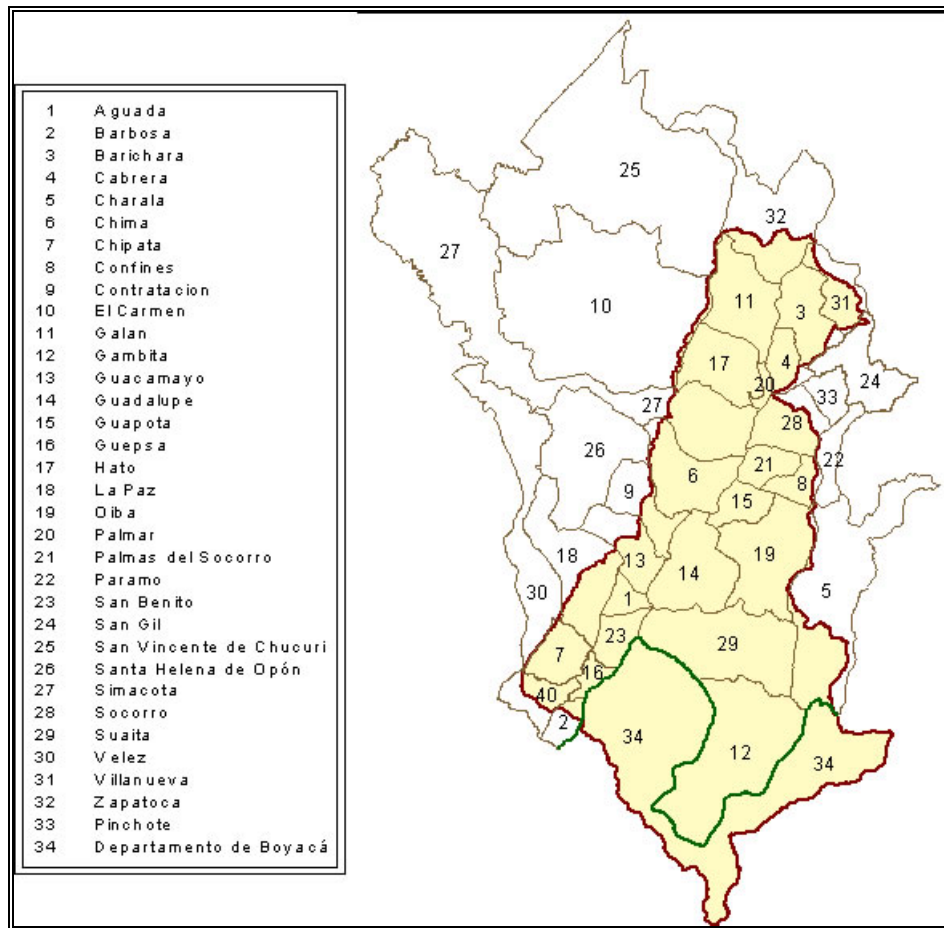
<i>Elevación máxima</i>	:	3450 msnm
<i>Elevación mínima</i>	:	1650 msnm
<i>Elevación mediana</i>	:	2226,69 msnm
<i>Elevación media</i>	:	2239.75 msnm
<i>Factor de forma (Kf)</i>	:	0,14
<i>Coefficiente de compacidad (Kc)</i>	:	2,289
<i>Coefficiente de masividad (Km)</i>	:	13,7
<i>Pendiente media de la cuenca</i>	:	25,99
<i>Pendiente de la cuenca Alvord</i>	:	32,4
<i>Índice de alejamiento medio (a)</i>	:	2,87
<i>Tiempo de concentración por el método de Kirpich</i>	:	4,83 min

**6.1.1 Generalidades.** La cuenca del río Suárez se localiza en el sur del departamento de Santander. Cubre una extensión de 7919.38 Km<sup>2</sup> de los cuales el 49.97% (3957.71 Km<sup>2</sup>) del área total de la cuenca pertenece al Departamento de Santander y el 50.03% restante (3961.67 Km<sup>2</sup>) pertenece al Departamento de Boyacá. En su recorrido por Santander pasa por las provincias Comunera, Vélez, Guanentá y Mares, en las cuales habitaron las tribus de los guanes y chitareros. Son regiones con un glorioso pasado histórico, cuna de los comuneros y de grandes hazañas en la gesta emancipadora, y de gran atractivo turístico en las que poseen hermosos paisajes naturales, cuevas, parques, cascadas y balnearios.

En el límite del departamento de Boyacá y Cundinamarca, nace el río Suárez en la laguna de Fúquene. Inicialmente toma una dirección norte y cruza el departamento de Boyacá para luego entrar al departamento de Santander por el sur. Luego recibe la corriente del río Fonce que proviene del este, para después unirse con el río Chicamocha y formar el río Sogamoso, donde finalmente drena al río Magdalena. (Ver figura 55)

Figura 55. Localización de la cuenca del Río Suárez.

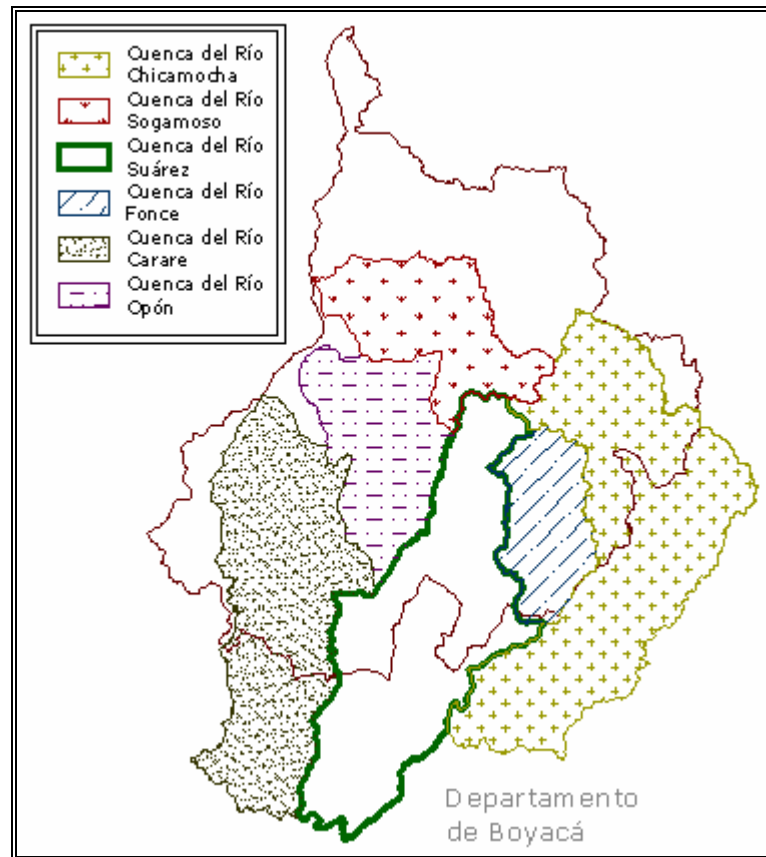




La cuenca del río Suárez limita al norte con la cuenca del río Sogamoso, al noreste y sudeste con la cuenca del río Chicamocha, al este con la cuenca del río Fonce, al sur con el departamento de Boyacá, al sudoeste con la cuenca del río Carare y al noroeste con la cuenca del río Opón (ver figura 57). Las coordenadas entre las que se puede ubicar la cuenca del río Suárez son :

- Norte : 1°25'00"
- Norte : 1°05'00"

Figura 57. Límites de la cuenca del Río Suárez



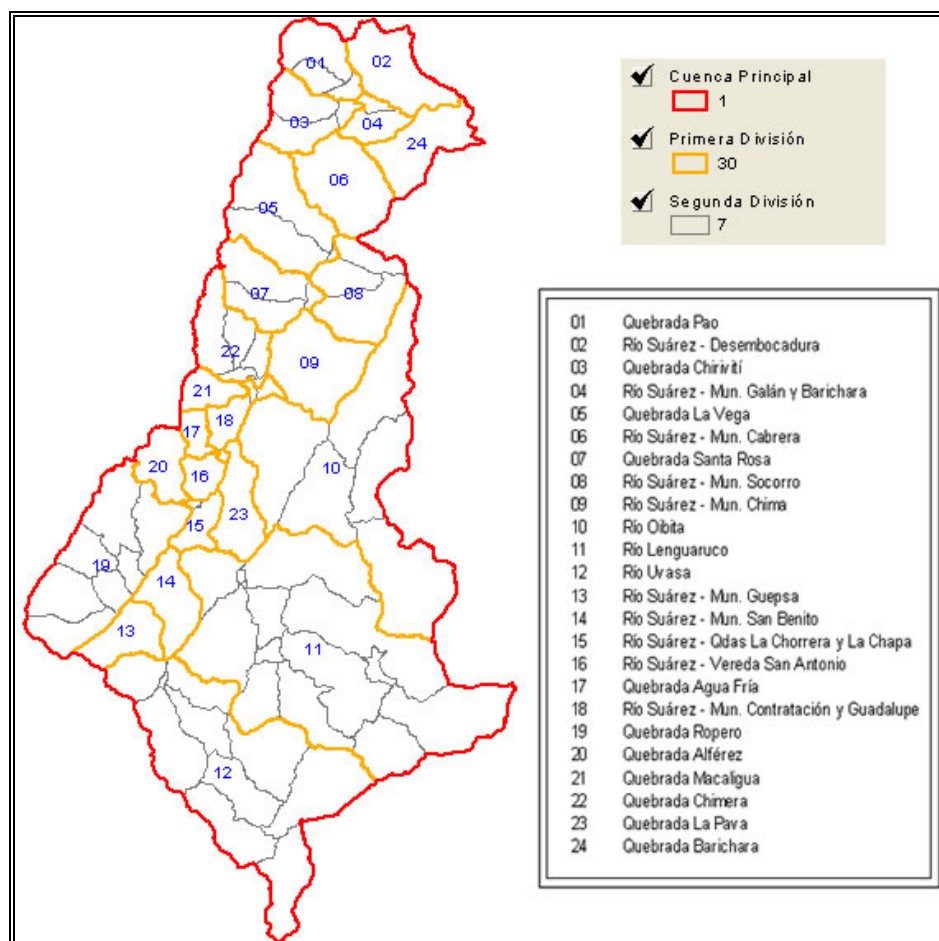
La cuenca se caracteriza por estar rodeada de grandes escarpes que sirven de límite natural con las regiones aledañas así: por el norte con el Filo Volador y Loma de la Cuchilla que separan la cuenca con el cañón del Chicamocha; al sur limita con el departamento de Boyacá, separado por los páramos de Pan de Azúcar y La Rusia; por el oriente el cinturón de páramos húmedos de Gantivá la separan de Boyacá, y el Alto de Paramito, los páramos de Guaba y las Alfombras establecen la divisoria con el río Chicamocha; por el occidente se establece una divisoria natural con el río Suárez por medio de las Lomas La Falda, Loma de Sevilla, Morro de Platanillo, Cerro Negro, Loma de San Benito, Cuchilla la Vieja o Costilla de Fara.

**6.1.2 Caracterización física de la cuenca.** Para lograr la caracterización física de la cuenca baja del río Suárez se trabajaron 49 planos cartográficos en escala 1:25000 provenientes del IGAC y suministrados por el grupo de investigación en Geomática-Gestión y Optimización de Sistemas adscrito a la Escuela de Ingeniería Civil de la Universidad Industrial de Santander. Los planos fueron sometidos a revisión depuración y

en muchos casos se hizo necesario restituirlos teniendo cuidado de guardar las normas establecidas por el IGAC.

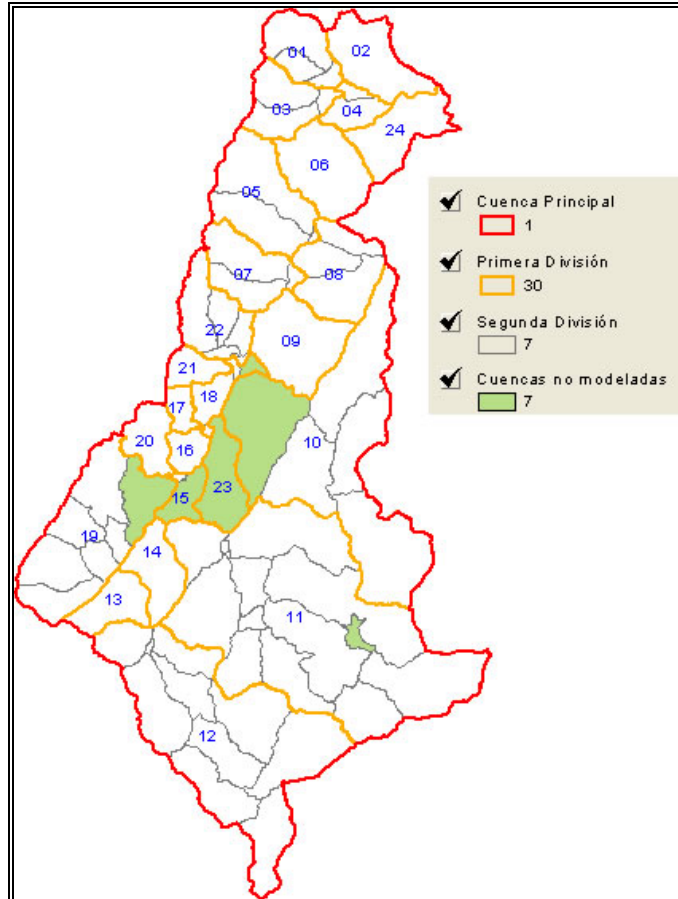
Con el propósito de facilitar la caracterización morfométrica y teniendo en cuenta el área que cubre la cuenca baja del río Suárez (4187.64 Km<sup>2</sup>) se hizo necesario dividirla teniendo en cuenta la identificación de los afluentes del cauce principal. Esta clasificación tomó el nombre de cuencas de primera división ( ver figura 58 ). Así mismo, se procedió a dividir estas cuencas de acuerdo a los afluentes que la conformaban, las cuales correspondieron a cuencas de segunda división.

Figura 58. División hidrológica de la cuenca del río Suárez.



En total, la cuenca principal se dividió en 24 cuencas de primera división, de las cuales se obtuvieron 74 cuencas de segunda división. Las cuencas de segunda división son sometidas a un proceso en el que se obtienen los parámetros morfométricos y de la red de drenaje a partir de los MDE de cada una de las cuencas. De las 74 cuencas de segunda división no se obtuvieron valores de una cuenca endorreica y de 5 divisiones que no se modelaron por falta de información (ver figura 59). Por lo tanto sólo se tienen resultados de 68 cuencas de segunda división. En el anexo B se presenta la división hidrológica realizada para la cuenca baja del río Suárez.

Figura 59 Ubicación de las segundas divisiones que no se modelaron para la cuenca baja del Río Suárez



En el anexo C se observan los parámetros morfométricos relacionados con la cuenca y en el anexo D los relacionados con la red de drenaje.

**6.1.3 Análisis de resultados.** A partir de la observación directa de la topografía y de la red de drenaje de la cuenca trabajada del río Suárez se puede afirmar lo siguiente:

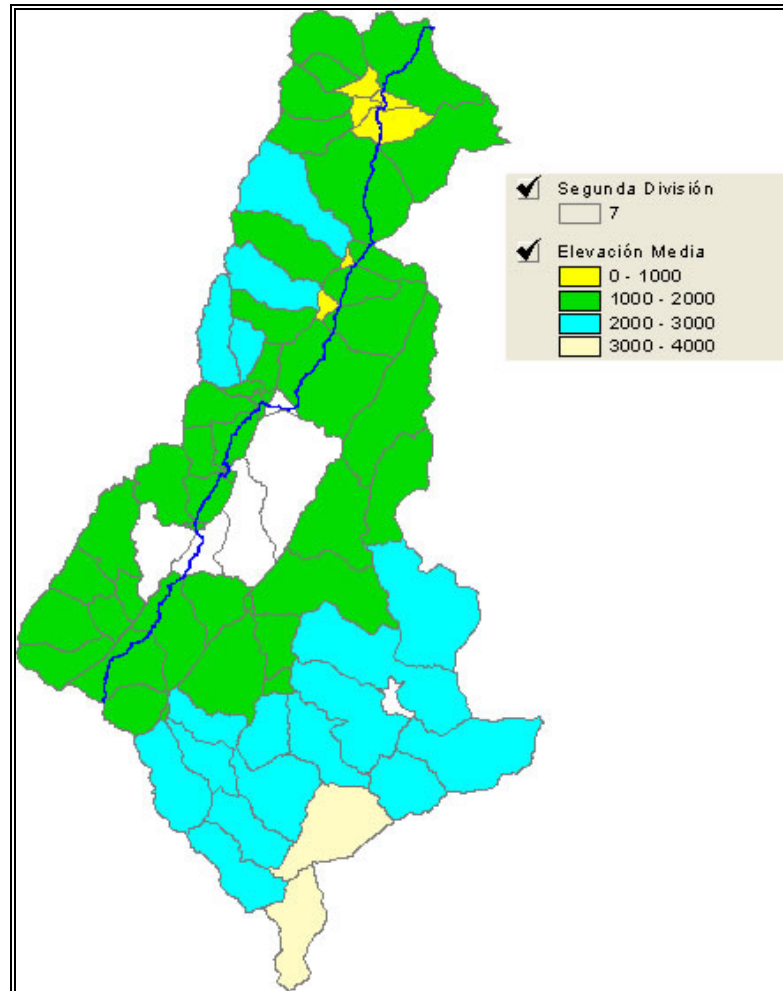
- La cuenca cubre un alto rango de valores de elevación que van desde los 3850 hasta los 350 msnm, lo cual ofrece una gran variedad de vegetación, fauna, flora, tipos de suelo, pisos térmicos, tipos de climas y fenómenos meteorológicos.
- El cauce principal del río Suárez dentro el departamento de Santander es un tramo que se extiende desde los 1500 msnm hasta los 350 msnm con una longitud de 167 Km, lo cual representa una pendiente aproximada de 0.7%.

- Existe una gran superficie de la cuenca concentrada hacia el este del cauce principal, lo cual representa un mayor aporte hidrológico desde esta zona.
- El área real de la cuenca comprende una extensión mucho más grande ya que el río Fonce pertenece como tal a la cuenca del río Suárez.

De acuerdo con la información mostrada en los anexos C y D, es posible realizar una distribución espacial de los principales parámetros que definen una tendencia del comportamiento general de la cuenca del río Suárez.

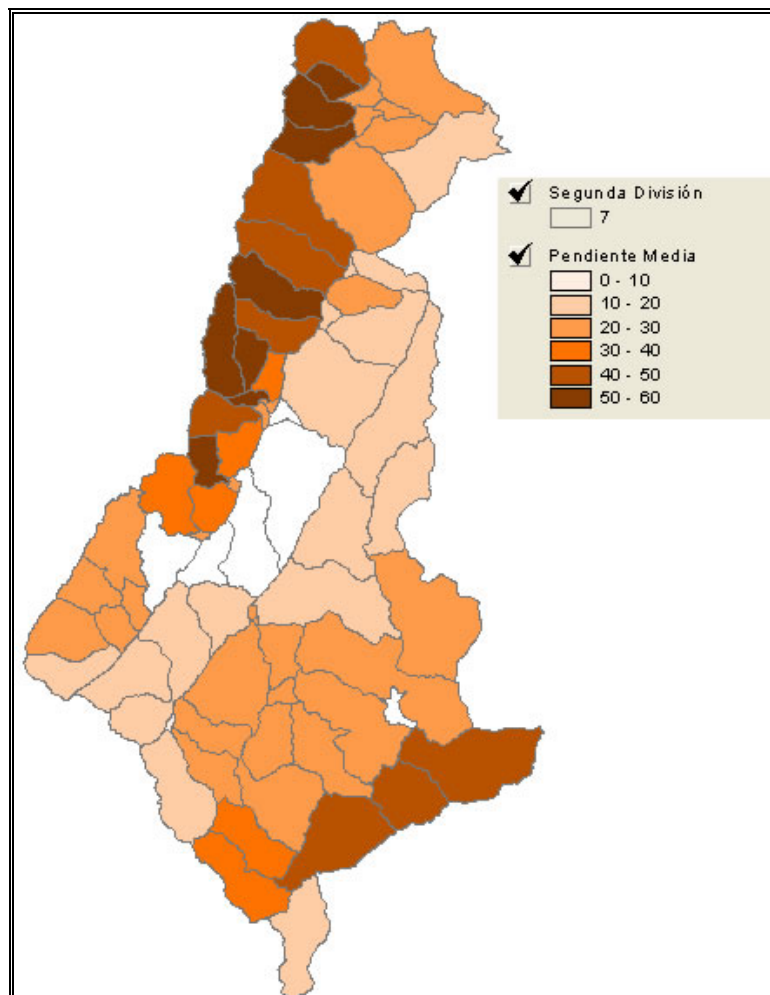
Existen 19 cuencas con elevación máxima superior a los 3000 msnm, 29 entre los 3000 y los 2000 msnm y 20 entre los 2000 y 1000 msnm. Los valores de elevación media son mayores entre mas alejada se encuentre la cuenca al cauce principal, por tal motivo se concentran al sur-este de la cuenca (Ver figura 60). Se tiene que el intervalo de mayor área corresponde a elevaciones medias entre los 1000 y 2000 msnm con características de clima templado.

Figura 60 Distribución espacial de la elevación media de la cuenca baja del río Suárez



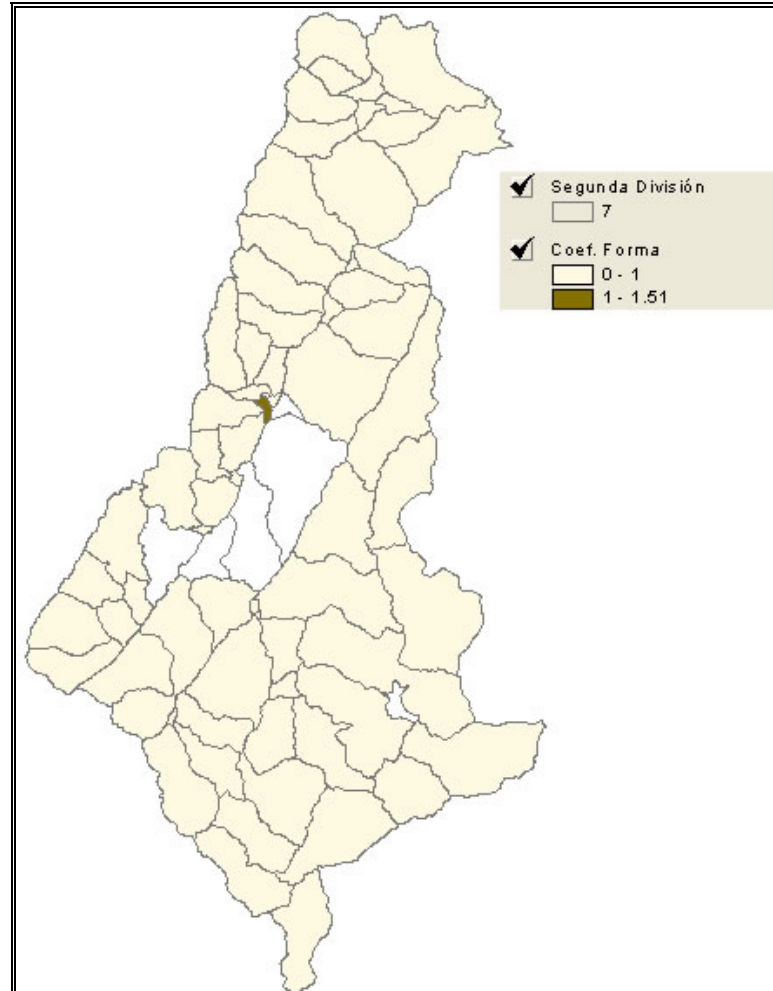
Se tiene una distribución de alta pendiente en general para la cuenca (Ver figura 61), en donde la zona noroeste y un sector en la zona sureste, se caracterizan por presentar valores de pendiente media entre el 50% – 60%. Se caracteriza por presentar valores entre el 10% – 30%, esto representa una respuesta rápida de la cuenca ante eventos de lluvia.

Figura 61. Distribución espacial de la pendiente media de la cuenca baja del río Suárez



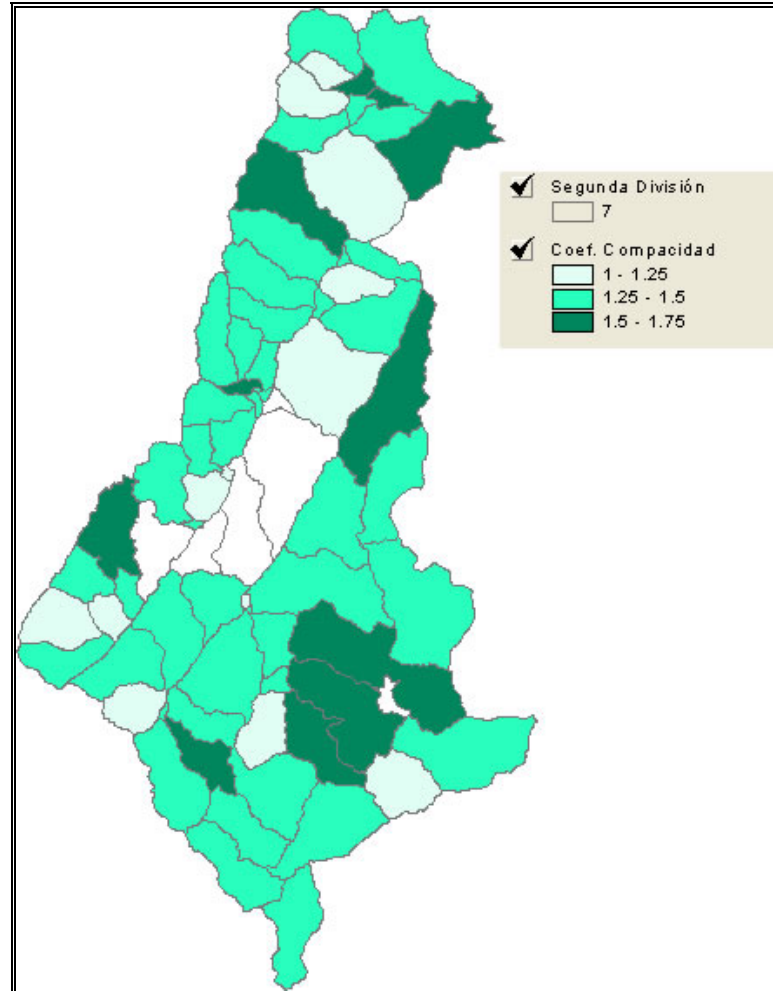
La gran mayoría de las cuencas que conforman la cuenca principal presentan valores de coeficiente de forma menores que 1 (Ver figura 62), lo que indica que son cuencas alargadas con tendencia a presentar baja susceptibilidad de avenidas.

Figura 62. Distribución espacial del coeficiente de forma de la cuenca baja del río Suárez.



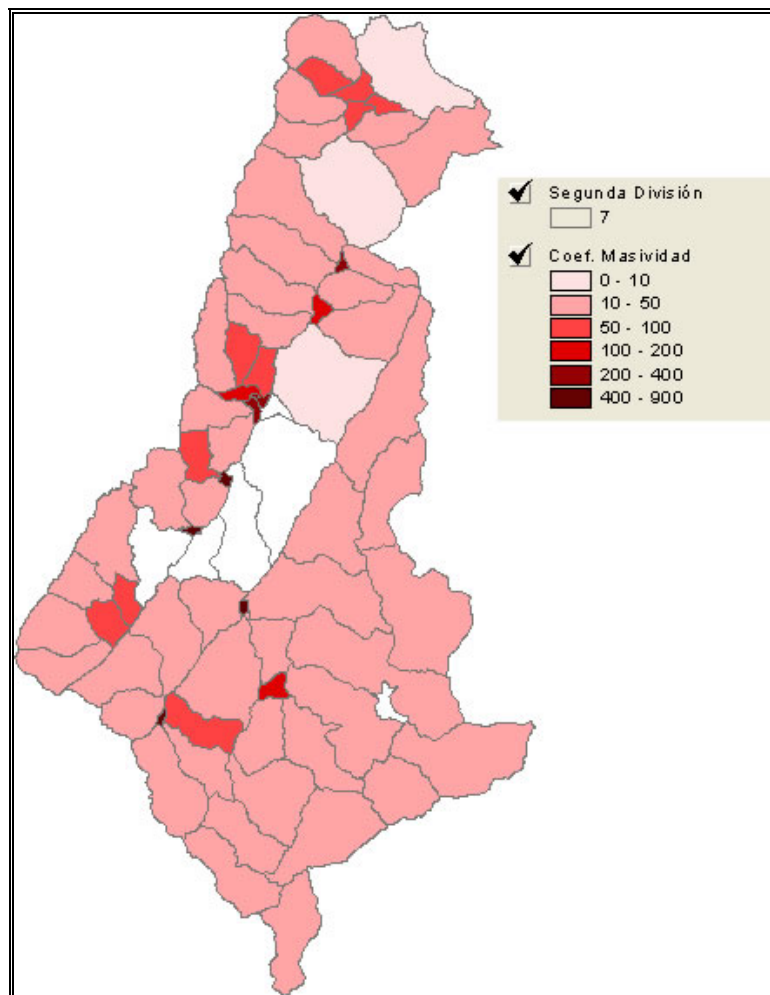
La mayor tendencia respecto al valor del coeficiente de compacidad se concentra en valores entre 1.25 y 1.5 con características de forma oval redonda a oval oblonga (Ver figura 63). Esto significa que entre más alejados sean los valores de  $K_c$  a 1, es decir, entre menos se acerque la forma de las cuencas a una circunferencia, se tendrá menos riesgo de concentrar fuertes volúmenes de agua de escurrimiento.

Figura 63. Distribución espacial del coeficiente de compacidad de la cuenca baja del río Suárez



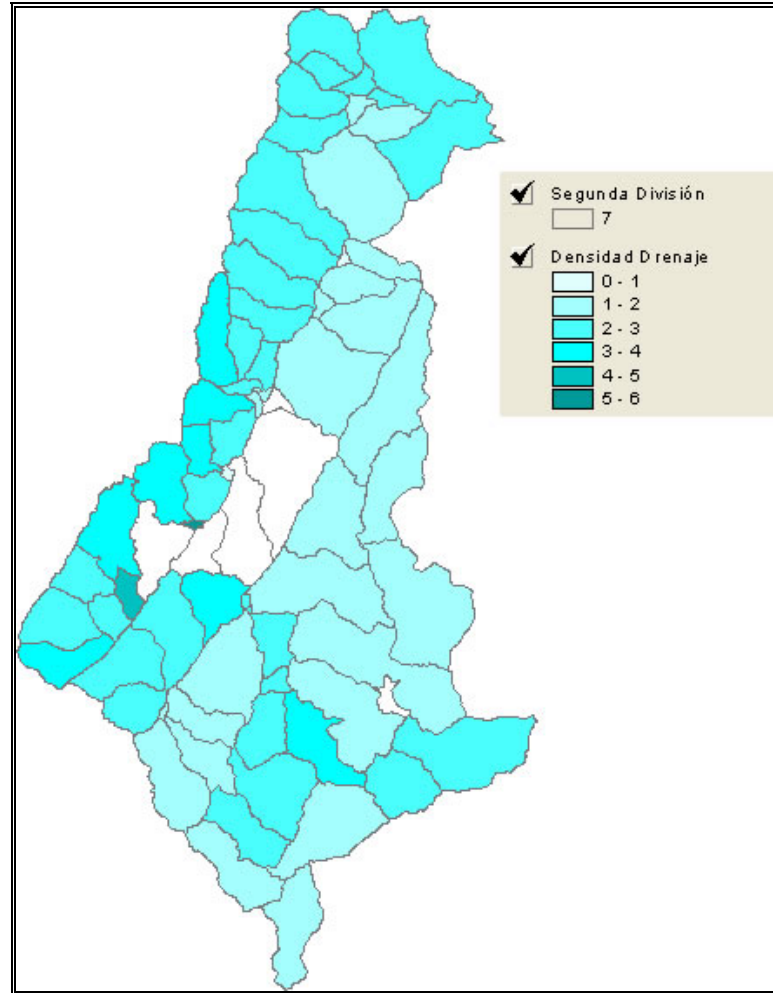
El coeficiente de masividad representa la relación entre la elevación media de la cuenca y su superficie. En la figura 64 se muestra la distribución de este valor concentrado entre los valores de 10 - 50 es un indicativo que demuestra la existencia de cuencas de alta montaña. Aun así hay que tener en cuenta que hay valores cercanos a 900 en las cuencas de pequeña área,

Figura 64. Distribución espacial del coeficiente de masividad de la cuenca baja del río Suárez



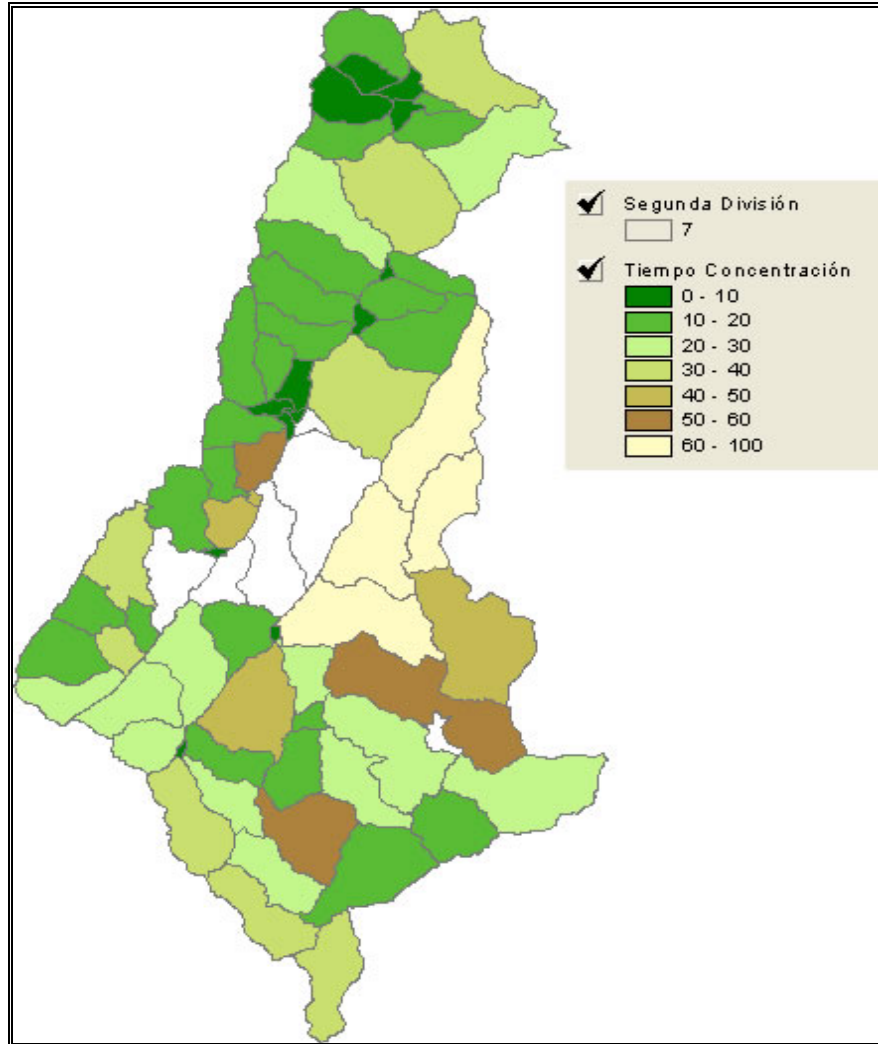
En términos de densidad de drenaje (Ver figura 65) se observa que más de la mitad de las cuencas presenta valores entre 1 - 2 Km / Km<sup>2</sup>. Esto significa a nivel general que la cuenca del río Suárez es una extensión bien drenada. Se puede observar que en la zona oeste de la cuenca presentan valores más altos de densidad de drenaje.

Figura 65. Distribución espacial de la densidad de drenaje de la cuenca baja del río Suárez



Los tiempos de concentración de las cuencas, calculados por el método de Kirpich, se ven representados por duraciones menores de 30 minutos (Ver figura 66). En la zona este, se presentan duraciones mayores a una hora. Este valor entre más bajo sea, presentara una respuesta rápida de la cuenca en la evacuación de las aguas lluvia.

Figura 66. Distribución espacial del tiempo de concentración de la cuenca baja del río Suárez



La cuenca del río Suárez se cataloga de orden 6, este valor representa el alto grado de ramificación de la red de drenaje de la cuenca y por ende las buenas condiciones de respuesta ante un evento de lluvia.

## Construcción de la base de datos

La información obtenida requiere de una organización especial que facilite su inventario, administración, edición y publicación, teniendo en cuenta la gran cantidad de datos para las cuencas principales, cuencas de primera división y cuencas de segunda división, y su relación entre sí. Esta organización es posible mediante un sistema de base de datos, que garantiza además de un manejo rápido y eficiente, la seguridad, integridad, y funcionalidad de la información.

A continuación se describe el proceso de construcción de la base de datos aplicada al desarrollo de este proyecto. Para ello, se considera necesario enunciar en primer lugar algunos conceptos básicos relacionados. Como observación particular, se aclara al lector la intención de usar un lenguaje moderadamente técnico con el fin de facilitar la lectura y comprensión del tema.

**6.2.1 Conceptos básicos.** Una base de datos es una “colección o depósito de datos integrados, con redundancia controlada y con una estructura que refleje las interrelaciones y restricciones existentes en el mundo real; los datos, que han de ser compartidos por diferentes usuarios y aplicaciones, deben mantenerse independientes de éstas, y su definición y descripción, únicas para cada tipo de datos, han de estar almacenadas junto con los mismos. Los procedimientos de actualización y recuperación, comunes y bien determinados, habrán de ser capaces de conservar la integridad, seguridad y confidencialidad del conjunto de datos.”<sup>7</sup>

De acuerdo con la definición anterior, una base de datos se caracteriza por tener independencia de los datos sin redundancia lógica, resultados coherentes, mejor acceso y administración y mayor organización y seguridad de la información, mayor capacidad de entrega de resultados y flexibilidad para hacer cambios en su contenido sin alterar su estructura lógica y/o física.

Por otro lado, un sistema de gestión de la base de datos o SGBD corresponde a un “conjunto coordinado de programas, procedimientos, lenguajes, etc. que suministra, tanto a los usuarios no informáticos como a los analistas, programadores o al administrador, los

---

<sup>7</sup> CASTAÑO, Miguel y PIATTINI Mario Gerardo. Concepción y diseño de base de datos del modelo E/R al modelo relacional. J. Barcelona : 1993. p.37

medios necesarios para describir, recuperar y manipular los datos almacenados en la base, manteniendo su integridad, seguridad y confidencialidad.”<sup>8</sup>

**6.2.2 Diseño de la base de datos.** El diseño de una base de datos requiere de dos partes indispensables: el nivel conceptual en el que se obtiene la estructura lógica sin implementarla en el SGBD, que consiste en describir la base de datos en un lenguaje natural, construir el modelo entidad relación y elegir el modelo de datos; y el nivel físico en el que se realiza la implementación y comprende la conversión del modelo entidad relación al modelo relacional ( creación de las tablas ), la eliminación de defectos propios del diseño, y la optimización de acuerdo a su manejo y almacenamiento interno.

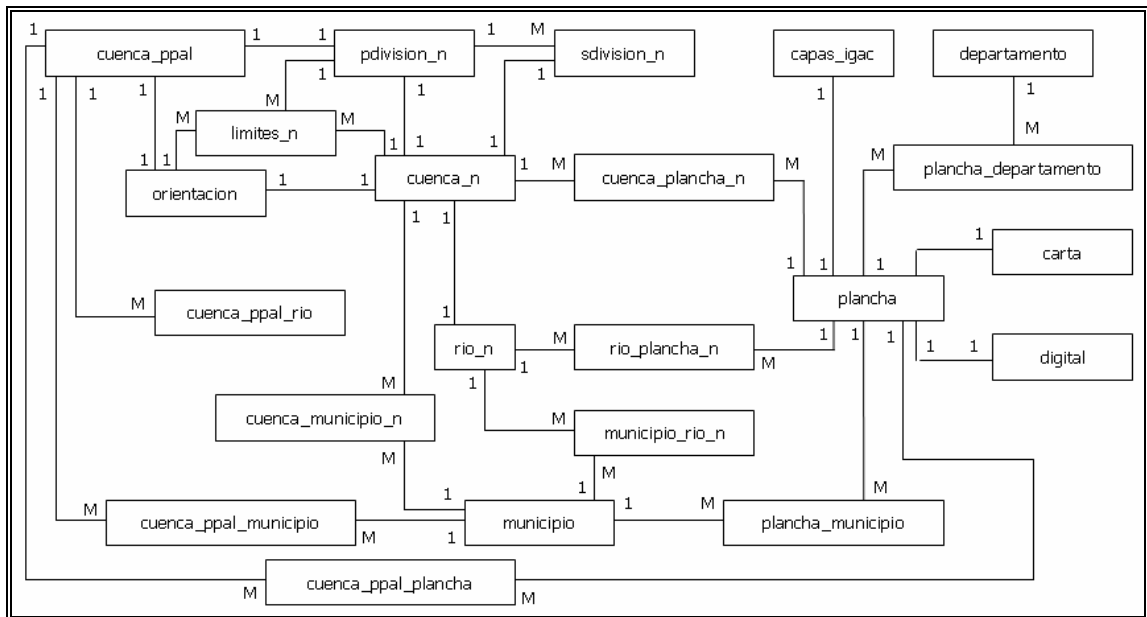
El modelo entidad relación constituye la esencia lógica de una base de datos. Sus elementos fundamentales son las entidades y las relaciones. Una entidad es una unidad de almacenamiento de información, con nombre y contenido definidos. Una relación es una asociación entre dos entidades que obedece a una cardinalidad, es decir, la cantidad recíproca de elementos que pueden relacionarse entre entidades, la cual se puede representar en cuatro formas diferentes: uno a uno (1 a 1), uno a muchos (1 a M), muchos a uno (M a 1), y muchos a muchos (M a M). Todas las entidades de una base de datos se identifican a partir de una llave principal o primaria que hace parte del conjunto de atributos que contienen y es la que permite que las entidades se relacionen entre sí. Cuando varias entidades se relacionan de la forma M a M, es necesario crear una entidad intermedia representada por dos o más llaves primarias, las cuales reciben simultáneamente el nombre de llaves foráneas. Las entidades en un modelo entidad relación pueden ser fuertes cuando no dependen de ninguna otra entidad o débiles cuando dependen de una o varias entidades.

El modelo entidad relación de la base de datos de este proyecto (Ver figura 67) obedece estrictamente a la relación que guardan entre sí las planchas IGAC y las cuencas hidrográficas, y a las condiciones y restricciones de la información.

Figura 67. Modelo entidad relación de la base de datos aplicada al proyecto

---

<sup>8</sup> Ibid., p. 85



A continuación se describen cada una de las entidades propuestas. El indicador n representa el número que identifica las diferentes cuencas principales.

- Capas\_igac : guarda el registro las capas digitalizadas a nivel de planchas IGAC.
- Carta: contiene los tipos de carta existentes para las planchas IGAC.
- Cuenca\_n: contiene el inventario de las cuencas de primera y segunda división con información de orientación, río o quebrada que representa y en la cual desemboca, división asignada, atributo o característica particular de la cuenca, y código de referencia de acuerdo con el IDEAM.
- Cuenca\_municipio\_n: relaciona la entidad cuenca con la entidad municipio.
- Cuenca\_plancha\_n: relaciona la entidad cuenca con la entidad plancha.
- Cuenca\_ppal: contiene información general sobre todas las cuenca principales.
- Cuenca\_ppal\_municipio: relaciona la cobertura de municipios del departamento de Santander con las cuencas principales.
- Cuenca\_ppal\_plancha: relaciona la cobertura de planchas IGAC con las cuencas principales.
- Cuenca\_ppal\_rio: contiene los ríos relacionados de una cuenca principal.
- Departamento : contiene el listado de los departamentos relacionados con las planchas IGAC registradas.
- Digital : contiene diferentes opciones sobre la obtención de la versión digital de las planchas IGAC.
- Limites\_n: relaciona entre si las cuencas de primera división con las cuatro direcciones norte, sur, este, oeste.
- Modelo : contiene las características y observaciones del modelo digital de elevación de cada una de las cuencas.
- Municipio: contiene la lista de los 87 municipios del Departamento de Santander.

- Municipio\_rio\_n: relaciona los municipios del departamento de Santander con los ríos de una cuenca principal.
- Orientación: contiene las cuatro direcciones principales y ocho adicionales en otros sentidos (n, s, e, w, ns, ne, nw, sn, se, sw, ew, we).
- Pdivision\_n: contiene información de las cuencas de primera división para una cuenca principal determinada.
- Plancha: contiene información de las planchas IGAC.
- Plancha\_departamento: relaciona las planchas IGAC con los departamentos registrados.
- Plancha\_municipio: relaciona las planchas IGAC con los municipios del departamento de Santander.
- Rio\_n: contiene el inventario ordenado alfabéticamente de los principales ríos de la cuenca principal.
- Rio\_plancha\_n: relaciona los ríos de una cuenca principal determinada con las planchas IGAC.
- Sdivision\_n: contiene información de las cuencas de segunda división para una cuenca principal determinada.
- Tipo\_cuenca : almacena información relacionada con la clasificación de cuencas según su área subsidiaria.

Existen otras dos entidades que no se relacionan directamente con la información anterior. Estas corresponden a las entidades “seguridad” que almacena el nombre de usuario y contraseña del administrador de la base de datos y “vinculo” que guarda el código html de algunos enlaces importantes del sitio web.

**6.2.3 Creación de la base de datos.** La implementación del nivel físico de la base de datos en un SGBD requiere del uso del lenguaje SQL ( Structured Query Language – Lenguaje Estructurado de Consultas ) para manejar las instrucciones de creación de la base de datos, creación, llenado y edición de las tablas ( representadas por las entidades ), y consultas a la información, mediante un sistema de administración de base de datos ( DBMS ). El DBMS es el programa que facilita la interacción de la base de datos con el administrador que corresponde, para este proyecto, al servidor MySQL.

Una vez la información se encuentre totalmente lista y organizada para cada uno de los grupos que representan las cuencas principales, se dispone a crear y actualizar la base de datos, y hacer diferentes pruebas que ayuden a detectar errores de diseño y facilitar tareas de optimización.

La base de datos lleva el nombre de “hidroatlas” y contiene en su interior 80 tablas instaladas en un servidor web bajo la edición y administración final del grupo de investigación en Geomática.

### **Diseño y creación del sitio web.**

El diseño de sitios web dinámicos orientados a la publicación de grandes cantidades de información mediante los sistemas tradicionales estáticos soportados en el uso de códigos html se ve representado en la construcción de numerosas páginas sometidas a restricciones y limitaciones en su edición y actualización. La necesidad de manejar y consultar la información de manera práctica y sencilla implica el uso de lenguajes de programación en internet adecuados para realizar diferentes tareas y desarrollar diferentes instrucciones que permitan tener comunicación con bases de datos y desenvolver todo tipo de información en un medio de amplia navegabilidad, reduciendo considerablemente su tiempo de construcción.

Los sitios web dinámicos son ampliamente aceptados por su versatilidad debido a que están sujetos a adoptar cualquier necesidad por parte del webmaster o del administrador mediante la variación automática de imágenes, texto, animaciones, formularios, vínculos, colores, etc., y resumen ampliamente el número de páginas a comparación de los sitios web estáticos.

Las bases de datos conectadas a sitios web dinámicos representan una ayuda de gran importancia para las tareas de edición y mantenimiento. En operaciones de agregar, eliminar y modificar de la información, la conexión permite actualizar instantáneamente el sitio web sin necesidad de editar directamente los datos contenidos en las páginas.

En conclusión, los lenguajes de programación en internet y las bases de datos son herramientas altamente capaces de desarrollar múltiples funciones dirigidas a todo tipo de aplicaciones, las cuales hacen de los sitios web dinámicos la mejor opción para crear sistemas de información masiva.

**6.3.1 Uso de PHP y MySQL** Existen diferentes lenguajes de programación aplicables como PHP, CGI, ASP, y JSP, y sistemas de gestión de bases de datos como Oracle, Informix, MySQL, y Postgresql. Para la construcción del sitio web de este proyecto se han empleado las herramientas PHP y MySQL, ya que son las más reconocidas y utilizadas.

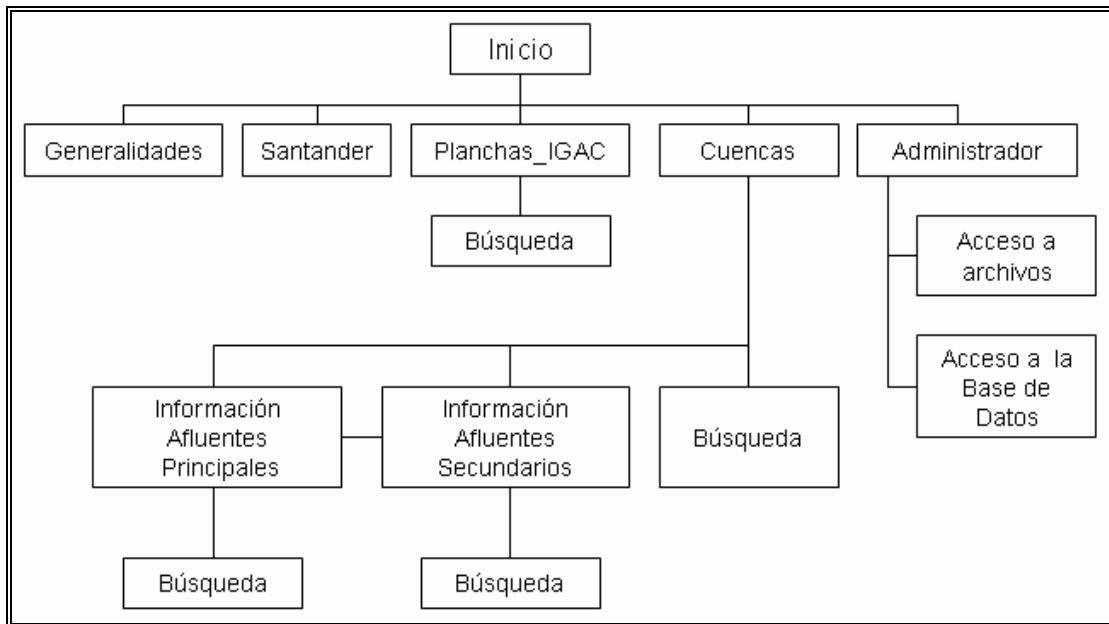
PHP es un lenguaje de programación de hipertexto que facilita la creación de código html, la conexión con la base de datos, la generación de gráficos e imágenes, y la impresión de documentos en formato pdf, entre muchas otras funciones. MySQL es un programa que

interpreta el lenguaje estructurado de consultas SQL y permite la administración y edición de la base de datos.

El ejercicio de estas dos herramientas requiere de un servidor de internet que interprete el código PHP y lo vincule con la base de datos. El sitio web de este proyecto utilizó el servidor “apache”, de distribución libre, en el cual se simuló el sitio mediante una red local, y el servidor “albatros” de propiedad de la escuela de ingeniería civil, en el que se implementó finalmente el sitio una vez terminado. La construcción del sitio fue realizada con el editor de páginas web Macromedia Dreamweaver MX junto con el editor de bases de datos Phpmyadmin soportado en MySQL.

**6.3.2 Descripción del sitio web** El sitio web de este proyecto recibe el nombre de “HidroAtlas – Departamento de Santander” y se divide en dos partes fundamentales correspondientes a información y administración. La información está distribuida en cuatro partes: planchas IGAC, cuencas principales, y cuencas de afluentes principales y secundarios, cada una de ellas con opciones de búsqueda y consulta. La administración consiste en el acceso a archivos restringidos y a la edición de la base de datos. Además, se incluye información sobre generalidades del proyecto y la descripción geográfica, topográfica, climatológica, hidrográfica, política del departamento de Santander. En la Figura 68 se muestra el mapa del sitio que contiene la distribución de las páginas y su relación entre si.

Figura 68. Mapa del sitio Web “HidroAtlas – Departamento de Santander”.



El sitio destaca por la distribución de la información en cada una de sus partes, la presencia de mapas e imágenes de planchas IGAC y cuencas, el uso de formularios como herramienta práctica para aumentar su navegabilidad en operaciones de búsqueda y consulta, los enlaces a otras páginas Web y a software libre necesario para visualizar los mapas, y la opción de enviar comentarios y sugerencias.

**6.3.3 Distribución, edición y mantenimiento.** La información general a nivel de planchas IGAC y cuencas es de libre distribución para todo tipo de usuarios, los mapas disponibles corresponden a archivos en extensión dwf de carácter no editable, y los archivos editables con extensión dwg de AutoCAD quedan finalmente a disposición del administrador con acceso mediante nombre de usuario y contraseña.

Una vez terminado el sitio en su totalidad durante la realización de este proyecto se entrega toda la información correspondiente a archivos relacionados con la base de datos, mapas de planchas IGAC y cuencas, figuras, y las páginas Web editables al grupo de investigación en Geomática – Gestión y optimización en sistemas, quien asume los derechos de edición y mantenimiento para lo cual el sitio Web cuenta con la capacidad de recibir posteriores actualizaciones que incluyan la inserción de nueva información y la expansión hacia otras zonas de estudio.



## **OBSERVACIONES**

- El proceso realizado de estructuración y adecuación de la cartografía básica del IGAC escala 1:25.000, es exigente debido a la cantidad de información contenida en cada una de las planchas y a la digitalización de 31 de 223 planchas utilizadas.
- De acuerdo con la información obtenida y teniendo en cuenta la extensión del departamento de Santander, las cuencas de los ríos Fonce y Opón fueron cubiertas en un 100% con respecto al área real, a diferencia de las cuencas de los ríos Chicamocha (47.6%), Suárez (52.8%), Carare (45.3%) y Sogamoso (89.5%).
- La información cartográfica en formato digital constituye una gran ventaja para su manejo, edición, reproducción, e interacción con otros sistemas informáticos.
- La división hidrológica de las cuencas principales se basa en el trazado de afluentes principales y secundarios, lo cual exige una codificación especial para su inventario, tratamiento y organización.
- A partir de la división hidrológica del departamento de Santander realizada en 6 cuencas principales, se tienen 79 cuencas de afluentes principales y 264 cuencas de afluentes secundarios.
- Los MDT, implementados en SIG y representados mediante estructuras de datos vectorial y raster, son una herramienta fundamental para la generación de nueva información mediante la aplicación de algoritmos numéricos.

- La creación de los MDE parte de los datos del relieve de la superficie cuya calidad y precisión depende de la escala de la información.
- Los MDT constituyen una representación parcial de la realidad que facilitan la simulación y observación de diferentes procesos físicos mediante la distribución espacial de todo tipo de variables, convirtiéndose en la versión moderna de la cartografía temática.
- La diversidad de información y resultados obtenidos permite realizar finalmente una caracterización general de la cuenca principal en función de sus parámetros físicos e hidrográficos más importantes.
- Dada la gran cantidad de información recolectada al nivel de planchas IGAC y cuencas es necesario almacenarla en un sistema de base de datos para facilitar su organización, edición y administración.

## CONCLUSIONES

- La mayor parte del tiempo invertido en la realización de la caracterización física de la zona estudiada está relacionado con el proceso de adecuación cartográfica de las planchas IGAC y la digitalización de las versiones digitales no disponibles, ya que este incluye revisión, depuración, corrección y unión de todos los elementos presentes.
- El proceso de digitalización manual forma parte de una de las etapas más importantes para la adecuación de la cartografía básica digital y la creación de los MDE, ya que exige la mayor coherencia posible de la información con respecto a las versiones originales impresas, el cumplimiento de las normas y lineamientos del IGAC, y personal capacitado que minimice los errores inherentes a este proceso.
- El manejo de grandes cantidades de información a nivel de archivos y datos requiere de un conjunto de reglas estrictas que incluya una nomenclatura y codificación especial acorde con las necesidades de identificación, inventario y organización.
- Los MDT son un gran adelanto para la representación de cartografía temática en formato digital en la que se desee mostrar la distribución espacial de cualquier propiedad o variable física. La ventaja de ser manejados con interfaz gráfica facilita su interpretación y la posibilidad de poderlos integrar con diferentes herramientas informáticas permite generar información que resultaría difícil de obtener a través de otros métodos y sistemas.
- El uso de los SIG es un concepto que debe hacer parte de la formación básica en ingeniería e induce a ir de los programas reconocidos y aplicaciones comunes a estudiar campos de acción que enfrenten nuevas situaciones y vincular otras tecnologías relacionadas.
- El proceso de caracterización física del terreno a partir de las herramientas implementadas en el SIG exige cuidado y control en la definición de los mapas y en el cálculo de valores representativos, con el fin de detectar errores inherentes en la información y limitaciones propias del sistema.
- El presente estudio aplicado a la caracterización física de zonas bajas requiere de información cartográfica con una resolución más adecuada con respecto a la utilizada, es decir, con una escala que permita obtener un nivel de detalle más amplio del terreno.

- Las bases de datos son una herramienta muy funcional para administrar sistemas de información masiva ya que garantizan una mayor organización, seguridad, integridad y resultados coherentes.
- La codificación de la información es una ventaja para su tratamiento en sistemas de base de datos y su publicación en sitios Web dinámicos, ya que permiten agilizar los procedimientos de búsqueda y consulta.
- El diseño y construcción de sitios Web dinámicos constituyen la tendencia moderna de diferentes aplicaciones en Internet que rompen la cultura tradicional de los sitios estáticos. Su versatilidad, rapidez de construcción, y actualización automática hacen de esta alternativa una buena opción para crear sistemas de información masiva. Además requiere de herramientas sencillas de distribución libre y de fácil acceso y manejo, lo cual estimula la promoción y extensión de su uso en todo tipo de disciplinas.
- La información obtenida unida al sistema de información en Internet está dirigida a servir como herramienta básica de consulta y como plataforma para realizar estudios posteriores en los que se evalúen nuevos conceptos y tecnologías, y se apliquen a otras áreas de desempeño en ingeniería.
- Con el presente estudio se llama la atención de las personas y entes interesados como gobernación del departamento, corporaciones autónomas regionales, IDEAM, alcaldías, ministerio del medio ambiente, empresas de servicios públicos, constructoras, universidades, oficinas de prevención y atención de desastres, en continuar y ampliar esta investigación y en extender el uso de los MDT, de los SIG, y de los sitios Web dinámicos en otras aplicaciones.
- Se propone hacia el futuro como continuación de este proyecto la validación de los Modelos Digitales del Terreno en el departamento de Santander en el que se confirmen los resultados obtenidos con la realidad.
- Los proyectos de grado en grupo, a partir de la filosofía de trabajo colectivo, brindan mayores resultados al usar metodologías comunes y procesos simultáneos, lo que permite la creación de un producto final de mayor escala y reconocimiento.
- Como experiencia personal del proyecto sobresale la adquisición de conocimientos adicionales no adquiridos durante la etapa de pregrado, representada como un valor agregado del saber en el uso de nuevos sistemas informáticos, en el cambio conceptual de teorías y aplicaciones, en la experimentación de producción y calidad, y en la dirección y coordinación de grupo.

## BIBLIOGRAFÍA

CAPACHO, Luís Alberto. Modelamiento espacialmente distribuido de cuencas hidrográficas soportado sobre SIG. Bucaramanga, 2003, 174 p. Tesis de maestría (M.Sc).UIS. Escuela de Ingeniería Civil. Área de hidrología.

CARMONA, Álvaro y MONSALVE, Jhon Jairo. Sistemas de Información Geográfica [online]. Nov. 2003. Disponible en internet: <URL: <http://www.monografias.com/trabajos/gis/gis.shtml> >.

CASTAÑO, Miguel y PIATTINI VELTHIUS, Mario Gerardo. Concepción y diseño de base de datos del modelo E/R al modelo relacional. Barcelona : RA-MA, 1993. 989 p.

CLAS-CROMIC. Programa de Manejo Integral de Cuencas. [online]. Disponible en internet <URL: <http://www.zeon.com.tw/> >.

COMELLAS ANGELES, Nuri. Servicios de información geográfica en una biblioteca digital [online]. Puebla(México), ene. 2003. Disponible en internet <URL: [http://mail.udlap.mx/~tesis/msp/comellas\\_a\\_n/capitulo1.pdf](http://mail.udlap.mx/~tesis/msp/comellas_a_n/capitulo1.pdf) >.

CORPES CENTRO–ORIENTE, GOBERNACIÓN DE SANTANDER. Atlas ambiental del departamento de Santander. Bucaramanga: 1991. 148 p.

FELICÍSIMO, Ángel Manuel. Modelos digitales del terreno: Introducción y aplicaciones en las ciencias ambientales [online]. Asturias (España), mar. 1994, Disponible en Internet <URL: <http://www.etsimo.uniovi.es/feli/> >.

FRANCO, Rodolfo. Curso de Sistemas de Información Geográfica [online]. Santa Fe de Bogotá, sep. 2003. Disponible en Internet. <URL: [http://gemini.udistrital.edu.co/comunidad/profesores/rfranco/vector\\_raster](http://gemini.udistrital.edu.co/comunidad/profesores/rfranco/vector_raster)>.

GAVILÁN LEÓN, Germán Eduardo. Especialización en Asfaltos y Pavimentos: Curso de drenaje y subdrenaje. Escuela de Ingeniería Civil. Universidad Industrial de Santander. Bucaramanga, 2001. 147 p.

GOBERNACIÓN DE SANTANDER [online]. Bucaramanga, nov. 2003. Disponible en internet < URL: [http://www.gobernaciondesantander.gov.co/seccion.asp?id\\_seccion=24](http://www.gobernaciondesantander.gov.co/seccion.asp?id_seccion=24) >.

JENSON, S. K. y DOMINGUE, O. Extracting Topographic Structure from Digital Elevation Data for Geographic Information System Analysis, Photogrammetric Engineering and Remote Sensing. Vol. 54, No. 11, November 1988, pp. 1593-1600.

OLAYA FERRERO, Víctor y ROBREDO SANCHEZ, José Carlos. Integración de modelos computacionales, geomorfológicos, hidrológicos y selvícolas para el desarrollo de soluciones SIG específicas en hidrología forestal de pequeñas y medianas cuencas vertientes españolas. Escuela Técnica Superior de Ingenieros de Montes de Madrid, Madrid, 2002 p.194.

OLIVERA, Francisco, REED, Sean y MAIDMENT David. Hec-Prepro v.2.0 An ArcView Pre-Processor for HEC's Hydrologic Modeling System. [online] University of Texas at Austin Center for Research in Water Resources. ESRI User's Conference, 1998. Disponible en internet <URL: <http://www.ce.utexas.edu/prof/olivera/esri98/p400.htm>>.






RAMÍREZ OSORIO, Jorge Mario. Extracción automática de redes de drenaje a partir de modelos digitales de terreno. Universidad Nacional de Colombia Facultad de Minas Medellín septiembre – 2002 Director Jaime Ignacio Vélez Upegui. I.C., M. Sc, Ph. D. SOPDE. Área de Sistemas de Información Geográfica [online]. Andalucía (España), oct. 2003. Disponible en Internet: <URL: <http://gis.sopde.es/cursosgis/DHTML/home.html>>.






UNISIG. Unidad de Sistemas de Información Geográfica [online]. Bogotá, nov. 2003. Disponible en Internet: < URL: <http://araneus.humboldt.org.co/sig/index.html> >.

## ANEXO A

















Anexos A Tabla de distribución de capas según los lineamientos del IGAC.

















Tabla N 4 TABLA DE DISTRIBUCION DE CAPAS

layer	Nombre del objeto	Representacion Grafica del objeto	Tipo de linea	Color layer		Calibre Grafica	Estilo de texto utilizado	Representacion texto	Color texto		Calibre texto
				Car	Salida				Car	Salida	
1101	Punto Geodésico			7	7	0.15	New05	30-T-14	7	7	0.15
1102	Punto Nivelación			7	7	0.15	New05	20A	7	7	0.15
1000	Elem topograficos Otros en Mayus Otros en Mayúscula			48	7	0.2	STYM08/08 CENT09/09 CENT08	<i>Flo / Flo</i> LLANO / LLANO Terreno sujeto a inundacion	48	7	0.2
2108	Sector			48	7		Cent06/08	SECTOR SECTOR	48	7	0.20
2109	Región			48	7		Cent06/08	REGION REGION	48	7	0.20
2108	Parcelación			48	7		Cent06/08	PARCELACION PARCELACION	48	7	0.20
2108	Comunidad			48	7		Cent06/08	COMUNIDAD COMUNIDAD	48	7	0.20
2109	Sabana			48	7		Cent06/08	SABANA SABANA	48	7	0.20
2108	Vereda			48	7		Cent06/08	MIRAFLORES MIRAFLORES	48	7	0.20
2120_2121	Capital de País			29	7		Cent08/10	CARACAS CARACAS	29	7	0.25
2120_2122	Capital de Departamentos			29	7		Cent08/10	BUCARAMANGA BUCARAMANGA	29	7	0.25
2120_2123	Municipio (Cabecera Municipal)		Continuas	48	7	0.20	Cent08/08	LA PAZ LA PAZ	48	7	0.20
2120_2123 hatch	Acturado		Patrón ANS031 Esc. 100 Ang. 0	7	7	Hatch 0.13					
2120_2124	Corregimiento		Continuas	48	7	0.20	Cent08/08	Pelaya Pelaya	48	7	0.20
2120_2124 hatch	Acturado		Patrón ANS031 Esc. 100 Ang. 0	7	7	Hatch 0.13					

Layer	Nombre del objeto	Representación Grafica del objeto	Tipo de línea	Color layer		Calibra Grafica	Estilo de texto utilizado	Representación texto	Color texto		Calibre texto
				Cad	Salida				Cad	Salida	
2120_2125	Inyección de Poltón		Continuous	48	7	0.20	Cent00	El Diamante	48	7	0.20
2120_2125 hatch	Achurada		Patrón ANSI31 Esc. 1/8" Ang. 0	7	7	Hatch 0.13					
2120_2126	Casario		Continuous	48	7	0.20	Cent05	Santa Inés	48	7	0.20
2120_2126 hatch	Achurada		Patrón ANSI31 Esc. 1/8" Ang. 0	7	7	Hatch 0.13					
2120_2127	Grta			45	7		Cent06	Fortuna	48	7	0.20
2120_2128	Barrío			48	7		Cent06	VALENCIA	48	7	0.20
2301	Edificacion hasta de 5 pisos	•		18	7	0.18	News05	Primavera	7	7	0.13
2301	Bodega	•		18	7	0.18	News06	El Palmer	7	7	0.13
2301	Escuela o Colegio	†		16	7	0.16	News08	La Cachama	7	7	0.13
2301	Hospital	⊙		18	7	0.18	News09	San Luis	7	7	0.13
2301	Iglesia		2301_4129	16	7	0.16	News08	Torcorama	7	7	0.13
2301	Industria	•		18	7	0.18	News06	Golfejer	7	7	0.13
2301	Cementerio		2301_3688	7	7	0.13	News08	Los Olivos	7	7	0.13
2302	Instalaciones para Minería	⊗		18	7	0.18	News06	San Jose	7	7	0.13
2303	Refinería	⊞		18	7	0.18	News06	Cartagena	7	7	0.13
2304	Central de Energía	⊥		7	7	0.13	News06	Rio Zulia	7	7	0.13

layer	Nombre del objeto	Representacion Grafica del objeto	Tipo de linea	Color layer		Calibre Grafica	Estilo de texto utilizado	Representacion texto	Color texto		Calibre texto
				Cad	Salida				Cad	Salida	
2322	Silba	*		7	7	0.12	News00	Santa Rosa	7	7	0.12
2322	Tanque	*		7	7	0.12	News00	La Iglesia	7	7	0.12
2322	Fozo	*		7	7	0.12	News00	Cantelera	7	7	0.12
3101_1302	Via en Construcción	-----	3101_1302	250	7	0.25	Copp08 Copp04	LA SUPERVA o Viregare	48	7	0.20
3101_2381	Via Pavimentada 2 o mas vias	=====	Continuous	18	7	0.20	Copp08 Copp04	INTER ANDINA o Bucaramanga	48	7	0.20
3101_2382	Via Sin Pavimentar 2 o mas vias	-----	3101_2382	18	7	0.20	Copp08 Copp04	VIA IBERIA o Páez Barrios	48	7	0.20
3101_2383	Via Pavimentada Angosta	=====	Continuous	28	7	0.25	Copp08 Copp04	VIA SAN ROQUE o Transilva	48	7	0.20
3101_2384	Via Sin Pavimentar Angosta	-----	3101_2384	28	7	0.25	Copp08 Copp04	VIA SABANA o San Roque	48	7	0.20
3101_3000	Via Transitable en Tiempo Seco	=====	Continuous	250	7	0.30	Copp08 Copp04	VIA LA TIERRA o Sucre	48	7	0.20
3102	Camino de herradura	-----	3102_2410	18	7	0.18	Copp08 Copp04	VANEGAS o El Cantón	48	7	0.20
3103	Via Ferrea	-----	3103	7	7	0.12	Copp08 Copp04	FERROCARRILES NACIONALES o San Alberto	48	7	0.20
3201	Aeropuerto	✈		18	7	0.18	News00	Palo Negro	7	7	0.12
3202	Pista de Atarizaje	=====	Continuous	7	7	0.12	News00	Pista de atarizaje	7	7	0.12
3203	Helipuerto	✈		7	7	0.12	News00	Helipuerto	7	7	0.12
3301	Puerto	*		7	7	0.12	News00	Buenaventura	7	7	0.12
3402	Pesaje	*		7	7	0.12	News00	Morricon	7	7	0.12

layer	Nombre del objeto	Representacion Grafica del objeto	Tipo de linea	Color layer		Calibre Grafica	Estilo de texto utilizado	Representacion texto	Color texto		Calibre texto
				Cad	Salida				Cad	Salida	
3410	Túnel		3410	7	7	0.13	News09	El Oscuro	7	7	0.13
3411	Puente Festonal			7	7	0.13	News09	La Flora	7	7	0.13
3412	Puente Fémico			7	7	0.13	News09	La Flora	7	7	0.13
3413	Puente Vehicular			7	7	0.13	News09	La Flora	7	7	0.13
3413	Faro			7	7	0.13	News09	Faro	7	7	0.13
3414	Cable		3414	7	7	0.13	Copp09	ALTA TENSION	7	7	0.13
3415	Tubería		Continuosa	1	1	0.5	Copp09	TRASANDINO	48	7	0.20
3417	Torre			7	7	0.13	News08	Torre del Cambio	7	7	0.13
3419	Otros ductos		Continuosa	48	7	0.2	Copp09	Coleducto	48	7	0.20
5101	Drenaje Doble Ancho Bre Doble Estrecho		Continuosa	172	5	Borde 0.18	Clear09/10 Clear25	<i>RIO N. RIO N. RIO NEGRO</i>	172	5	0.18
5101_hatch	Achurado		Patron Ancl31 Esc. 1/25 Ang. 90	5	5	Hatch 0.13					
5102	Canal Doble		Continuosa	172	5	Borde 0.18	Clear08	<i>Canal del Norte</i>	172	5	0.18
5102_hatch	Achurado		Patron Ancl31 Esc. 1/25 Ang. 90	5	5	Hatch 0.13					
5103	Canal Sencillo Acoquina		Continuosa	170	5	0.25	Clear25	<i>Acoquina Cantina</i>	172	5	0.18
5105	Manantial			5	5	0.13	Clear08	<i>Manantial</i>	172	5	0.18
5112	Laguna		Continuosa	172	5	Borde 0.18	Clear08/10	<i>Laguna Laguna</i>	172	5	0.18

layer	Nombre del objeto	Representación Grafica del objeto	Tipo de línea	Color layer		Gefbre Grafica	Estilo de texto utilizado	Representacion texto	Color texto		Gefbre texto
				Cad	Salida				Cad	Salida	
5102_hatch	Achurado		Patrón Ancl31 Esc. 120 Ang. 90	5	5	Hatch 0.13					
5103	Embalse		Continuous	172	5	Borde 0.18	Clear06/08/10	<i>Embalse Embalse</i>	172	5	0.18
5103_hatch	Achurado		Patrón Ancl31 Esc. 120 Ang. 90	5	5	Hatch 0.13					
5114_4121	Ciénaga		Continuous	172	5	Borde 0.18	Clear06/08/10	<i>Ciénaga Ciénaga</i>	172	5	0.18
5114_4121_hatch	Achurado		Patrón Ancl31 Esc. 120 Ang. 90	5	5	Hatch 0.13					
5114_4122	Pantano		5114_4122	172	5	Borde 0.18	Clear06/08/10	<i>Pantano Pantano</i>	172	5	0.18
5114_4122_hatch	Achurado		Patrón Grass Esc. 120 Ang. 0	5	5	Hatch 0.13					
5118	Jagüey / Pozo		Continuous	172	5	Borde 0.18	Clear06	<i>Jagüey Pozo</i>	172	5	0.18
5118_hatch	Achurado		Patrón Ancl31 Esc. 120 Ang. 90	5	5	Hatch 0.13					
5124_4123	Drenaje Sencillo Permanente		Continuous	170	5	0.25	Clear06	<i>Drenaje permanente</i>	172	5	0.18
5124_4124	Drenaje Sencillo Intermitente		5124_4124	170	5	0.25	Clear06	<i>Drenaje intermitente</i>	172	5	0.18
5201	Banco de Arena		5201	7	7	Borde 0.13					
5201_hatch	Achurado		Pat. ar_sand Esc. 20 Ang. 0	7	7	Hatch 0.13					
5205	Banco de Roca		5205	7	7	Borde 0.13					
5205_hatch	Achurado		P. Bots E 400 A 0 A 0 E 300 P. Cross	7	7	Hatch 0.13					
5206	Isla		Continuous	28	7	0.25	Clear06	<i>Isla del Encanto</i>	18	7	0.18

layer	Nombre del objeto	Representacion Grafica del objeto	Tipo de línea	Color layer		Calibre Grafica	Estilo de texto utilizado	Representacion texto	Color texto		Calibre texto
				Cad	Salida				Cad	Salida	
6001_1000	Curva de Nivel indice		Continuas	34	34	0.35	News06	100	34	34	0.35
6001_1001	Curva de Nivel indice Aproximada		6001_1001	34	34	0.35	News06	150	34	34	0.35
6001_1010	Curva de Nivel Intermedia		Continuas	35	34	0.13	News06	125	35	34	0.13
6001_1011	Curva de Nivel Intermedia Aprox.		6001_1011	35	34	0.13	News06	125	35	34	0.13
7150_1000	Límite de Nación		7150_1000	36	7	0.50	Cent12	<b>COLOMBIA</b>	29	7	0.25
7150_1000	Límite de Departamento		7150_1000	36	7	0.50	Cent10	<b>SANTANDER</b>	29	7	0.25
7150_1070	Límite de Municipio		7150_1070	260	7	0.35	Cent08	<b>BARICHARA</b>	48	7	0.20
7403	Area de inundaciones		7403	18	7	Borde 0.10					
7403_hatch	Achurado		Patrón Dash Esc. 200 Ang. 0	7	7	Hatch 0.13					
Coordenadas	Guadrícula		Continuas	7	7	0.13	Copp06	<u>1'278.350 m.N.</u>	48	7	0.20
Restriccion	Líneas de Restriccion		Continuas	29	7	0.25					
			3101_2384								

• Nota: Para colocar en las vías "a Cochab"

#### ABREVIATURAS

Ay	• Arroyo	D	• Guatrade
Bra	• Brazo	R	• Rio
Cnd	• Canchales	Car	• Carretera
Cn	• Cano	Cla	• Cuchilla
Cga	• Ciénaga	I	• Isla
Emb	• Embalse	Nev	• Nevado
Ent	• Ensenada	Pla	• Playa
Lag	• Laguna	V	• Volcan

## ANEXO B

Anexos B División hidrológica de la cuenca baja del Río Suárez.

**CUENCA RÍO SUÁREZ**

<b>PRIMERA DIVISIÓN</b>	<b>SEGUNDA DIVISIÓN</b>
Quebrada Pao	Quebrada Pao - Zona Alta
	Quebrada Del Medio
	Quebrada Pao - Zona Baja
Río Suárez - Desembocadura	Río Suárez - Municipio de Zapatocha
Quebrada Chiriviti	Quebrada Vigueche
	Quebrada Chiriviti - Zona Alta
	Quebrada Chiriviti - Zona Baja
Río Suárez - Municipios de Galán y Barichara	Río Suárez - Quebrada Chinantoca
Quebrada La Vega	Río Suárez - Quebrada Honda
	Quebrada La Vega - Zona Alta
	Quebrada Cinco Mil
Río Suárez - Municipio de Cabrera	Quebrada La Vega - Zona Baja
Quebrada Santa Rosa	Río Suárez - Inspección de Policía El Diamante
	Quebrada Santa Rosa - Zona Alta
	Quebrada Guamatá
Río Suárez - Municipio de Socorro	Quebrada Santa Rosa - Zona Baja
	Río Suárez - Municipio de Palmas
	Río Suárez - Escuela Vereda Tamacara
Río Suárez - Municipio de Chima	Río Suárez - Vereda Caraocha
	Río Suárez - Municipio de Guapota
Río Oibita	Río Suárez - Municipio de Chima
	Río Oibita - Inspección de Policía Virolin
	Río Santuario
	Río Oibita - Quebrada Aguaidi
	Quebrada Guayana
Río Lenguaruco	Río Oibita - Municipio de Guadalupe
	Río Tolotá - Zona Alta
	Río Tolotá - Zona Baja
	Río Palermo
	Río Chino Teno
	Río Huertas - Vereda El Palmar
	Río Gámbita - Zona Alta
	Quebrada Las Delicias
	Río Gámbita - Zona Baja
	Río Huertas - Municipio de Gambita
	Río Riachuelo
	Río Lenguaruco - Vereda Simeon
	Río Lenguaruco - Municipios de Santana y Suaita
	Laguna El Palmar - Cuenca Endorreica
	Río El Valle
Río Uvasa	Río Chuqueque
	Río Uvasa - Río La Palma
	Río Uvasa - Unión con el Río Chuqueque
	Río Togui
	Río Uvasa - Municipio de Togui - Boyacá
	Río Arcabuco - Zona Alta
	Río Arcabuco - Zona Baja
	Río Pomeca
	Río Uvasa - Desembocadura
	Río Suárez - Municipio de Guepsa
Río Suárez - Municipio de San Benito	Río Suárez - Municipio de San José de Pare
Río Suárez - Quebradas La Chorrera y La Chapa	Río Suárez - Municipio de Santana
	Río Suárez - Quebrada La Chapa
	Río Suárez - Municipio de Aguada
Río Suárez - Vereda San Antonio	Río Suárez - Vereda El Helechal
Quebrada Agua Fria	Quebrada Agua Fria - Vereda Alto del Tigre
	Río Suárez - Municipio de Guadalupe
	Río Suárez - Región Santa Manga
	Río Suárez - Escuela Sabaneta
	Río Suárez - Casa El Coco
Río Suárez - Municipio de Contratación - Guadalupe	Quebrada Ropero - Municipio de Velez
	Quebrada Atilera
	Quebrada Tormenta
	Quebrada Ropero - Vereda San Isidro
	Quebrada Gran Cura
	Quebrada Ropero - Alto El Picacho
	Quebrada Ropero - Municipio de San Benito
Quebrada Alférez	Quebrada Alférez - Vereda San Antonio
Quebrada Macaligua	Quebrada Macaligua - Quebrada Morreno
	Quebrada Chimera - Vereda San Antonio de la Piedra
Quebrada Chimera	Quebrada La Colorada
	Quebrada Sardinias
	Quebrada Chimera - Vereda Piedras
	Quebrada Chimera - Batallón Ingenieros Baraya
Quebrada La Pava	-
Quebrada Barichara	Quebrada Barichara - Municipios de Barichara y Villanueva

## ANEXO C

Anexos C Parámetros morfométricos relacionados con la cuenca para las segundas divisiones de la cuenca baja del Río Suárez.

CUENCA RÍO SUÁREZ										
Segunda División	Área [Km <sup>2</sup> ]	Perimetro [Km]	Elevación [msnm]				K <sub>f</sub>	K <sub>c</sub>	K <sub>m</sub>	T <sub>c</sub>
			Max.	Min.	Mediana	Media				
Quebrada Pao - Zona Alta	58,56	34,91	2880,29	700,00	1785,95	1797,42	0,2745	1,2869	30,6927	14,27
Quebrada Del Medio	21,10	20,32	2726,03	700,00	1523,60	1528,87	0,2536	1,2480	72,4669	7,64
Quebrada Pao - Zona Baja	13,10	20,02	1800,00	400,00	837,15	873,80	0,1941	1,5604	66,7051	7,26
Río Suárez - Municipio de Zapatoca	116,04	53,68	2050,00	350,00	1069,84	1051,74	0,3300	1,4057	9,0600	39,50
Quebrada Vigueche	44,25	28,56	3050,00	800,00	1844,91	1873,91	0,2951	1,2111	42,3459	9,61
Quebrada Chiriviti - Zona Alta	41,60	32,05	3200,00	800,00	1997,14	1961,66	0,2027	1,4018	47,1504	11,41
Quebrada Chiriviti - Zona Baja	9,21	14,57	1250,00	450,00	807,71	816,78	0,1596	1,3538	88,6656	7,22
Río Suárez - Quebrada Chinantoca	7,54	15,27	1301,92	410,45	713,72	736,77	0,2020	1,5687	97,6105	10,02
Río Suárez - Quebrada Honda	34,65	26,95	1600,00	450,00	931,10	929,93	0,2711	1,2915	26,8364	16,14
Quebrada La Vega - Zona Alta	102,05	54,10	3300,00	756,81	2097,97	2073,23	0,2029	1,5107	20,3143	20,86
Quebrada Cinco Mil	77,43	43,25	3400,00	750,00	1925,67	1930,32	0,2108	1,3865	24,9292	15,54
Quebrada La Vega - Zona Baja	2,58	8,16	1300,00	695,30	805,35	812,47	0,2091	1,4331	314,8364	3,55
Río Suárez - Inspección de Policía El Diamante	139,19	49,96	2789,62	500,00	1020,12	1130,46	0,4500	1,1946	8,1200	32,48
Quebrada Santa Rosa - Zona Alta	65,03	39,21	3400,00	837,71	2050,95	2018,60	0,2163	1,3716	31,0393	13,97
Quebrada Guamatá	42,39	34,66	3278,90	831,12	1791,04	1814,30	0,1589	1,5017	42,7900	13,77
Quebrada Santa Rosa - Zona Baja	6,80	12,57	1500,00	750,00	911,92	920,12	0,3156	1,3598	135,2880	8,20
Río Suárez - Municipio de Palmas	79,67	40,93	1800,00	750,00	1438,67	1367,76	0,3100	1,2936	17,1700	14,20
Río Suárez - Escuela Vereda Tamacara	36,43	26,04	1600,00	700,00	1002,28	1026,73	0,3800	1,2170	28,1700	17,56
Río Suárez - Vereda Caraota	28,27	27,65	1800,00	650,00	1121,60	1164,95	0,1700	1,4670	41,1800	12,05
Río Suárez - Municipio de Guapota	142,06	52,03	1800,00	750,00	1282,46	1267,44	0,3164	1,2314	8,9220	31,10
Río Obिता - Inspección de Policía Virolin	153,19	60,72	3400,00	1600,76	2057,60	2116,20	0,2136	1,3839	13,8139	44,67
Río Santuario	78,20	45,92	2200,00	1600,00	1802,85	1805,21	0,1819	1,4650	23,0838	60,77
Río Obिता - Quebrada Aguaidi	99,47	47,55	2000,00	1350,00	1606,57	1592,50	0,2524	1,3449	16,0092	95,54
Quebrada Guayana	137,63	68,19	1950,00	1350,00	1695,66	1667,16	0,1716	1,6397	12,1136	63,72
Río Obिता - Municipio de Guadalupe	136,62	55,31	1950,00	950,00	-	-	-	-	-	-
Río Tolotá - Zona Alta	163,43	77,62	3400,00	1650,00	2226,69	2239,75	0,1442	1,7128	13,7045	51,19
Río Tolotá - Zona Baja	126,56	58,44	2600,00	1450,00	1757,62	1749,25	0,2021	1,4655	13,8215	61,12
Río Palermo	130,62	54,63	3850,00	2050,00	2857,83	2859,98	0,2600	1,3484	21,9000	25,37
Río Chino Teno	63,53	33,60	3650,00	2050,00	2754,83	2720,20	0,5000	1,1892	42,8200	11,34
Río Huertas - Vereda El Palmar	114,20	58,23	3350,00	1600,00	2192,41	2137,19	0,2400	1,5371	18,7100	29,69
Río Gámbita - Zona Alta	48,30	30,27	2900,00	1650,00	2208,78	2184,73	0,2700	1,2287	45,2300	17,69
Quebrada Las Delicias	68,24	46,19	3350,00	1650,00	2228,35	2214,60	0,2000	1,5773	32,4500	23,71
Río Gámbita - Zona Baja	10,37	14,43	2300,00	1600,00	1814,52	1839,40	0,3300	1,2641	177,4500	14,37
Río Huertas - Municipio de Gambita	38,05	31,30	2186,00	1450,00	1772,15	1747,39	0,2300	1,4314	45,8700	23,83
Río Riachuelo	103,02	46,06	2784,15	1450,00	1827,68	1844,78	0,2400	1,2801	17,9000	42,31
Río Lenguaruco - Vereda Simeon	51,85	33,17	2000,00	1050,00	1537,92	1514,98	0,3300	1,2995	29,2200	16,95
Río Lenguaruco - Municipios de Santana y Suaita	1,96	5,81	1900,00	1450,00	1625,95	1600,83	0,4600	1,1707	802,1700	3,28
Laguna El Palmar - Cuenca Endorreica	10,81	20,19	-	-	-	-	-	-	-	-
Río El Valle	103,55	50,68	3700,00	2250,00	3022,73	3014,89	0,3900	1,4049	29,1100	14,60
Río Chuqueque	57,11	38,59	3700,00	2100,00	2508,66	2612,91	0,2800	1,4405	45,7400	25,27
Río Uvasa - Río La Palma	85,72	45,25	3600,00	2100,00	2304,86	2409,76	0,5050	1,3787	28,1090	59,62
Río Uvasa - Unión con el Río Chuqueque	41,45	36,15	2850,00	1617,96	2169,60	2150,87	0,1504	1,5839	26,8364	22,83
Río Togui	41,44	32,70	2900,00	1616,16	2055,49	2125,74	0,2500	1,4330	51,2900	17,15
Río Uvasa - Municipio de Togui - Boyacá	1,88	6,50	1800,00	1600,00	1656,01	1640,19	0,3600	1,3373	873,6000	6,55
Río Arcabuco - Zona Alta	73,74	44,71	3730,54	2900,00	3098,98	3104,08	0,3600	1,4688	42,1000	31,95
Río Arcabuco - Zona Baja	68,95	43,02	3750,00	2450,00	2770,30	2859,48	0,1965	1,4615	41,4718	30,74
Río Pomeca	82,94	43,06	2800,00	1600,00	2157,56	2156,17	0,2037	1,3338	25,9946	32,46
Río Uvasa - Desembocadura	41,32	25,98	2136,79	1500,00	1757,95	1747,76	0,3185	1,1401	42,2926	27,94
Río Suárez - Municipio de San José de Pare	68,61	39,48	2100,00	1250,00	1630,64	1629,59	0,2478	1,3446	23,7532	21,10
Río Suárez - Municipio de Santana	77,42	42,83	2150,00	1050,00	1488,36	1507,74	0,2200	1,3731	19,4700	27,38
Río Suárez - Quebrada La Chapa	34,94	29,75	-	-	-	-	-	-	-	-
Río Suárez - Municipio de Aguada	2,50	8,16	1600,00	1000,00	1116,56	1136,06	0,3300	1,4558	455,2200	3,68
Río Suárez - Vereda El Helechal	30,56	22,58	2250,00	1000,00	1290,15	1376,45	0,5975	1,1521	45,0474	47,04
Quebrada Agua Fria - Vereda Alto del Tigre	26,80	24,68	2550,00	1000,00	1737,56	1714,24	0,2251	1,3445	63,9553	13,33
Río Suárez - Municipio de Guadalupe	2,44	6,78	1400,00	950,00	1081,11	1097,45	0,4300	1,2244	450,3500	48,36
Río Suárez - Región Santa Manga	30,95	25,97	2100,00	950,00	1221,58	1247,39	0,5100	1,3169	40,3000	54,78
Río Suárez - Escuela Sabaneta	3,75	9,87	1550,00	950,00	1029,83	1055,93	1,5100	1,4378	281,2500	7,63
Río Suárez - Casa El Coco	8,08	14,45	-	-	-	-	-	-	-	-
Quebrada Roper - Municipio de Velez	48,45	34,64	2750,00	1300,00	1842,03	1849,17	0,1700	1,4039	38,1600	21,95
Quebrada Atilera	59,09	31,67	2750,00	1300,00	1905,07	1970,99	0,3500	1,1622	33,3500	14,47
Quebrada Tormenta	37,90	27,62	2550,00	1250,00	1842,47	1859,51	0,2600	1,2656	49,0600	13,23
Quebrada Roper - Vereda San Isidro	23,14	19,78	1850,00	1250,00	1446,90	1469,04	0,3700	1,1600	63,4900	30,61
Quebrada Gran Cura	71,26	46,50	2200,00	1200,00	1915,66	1892,70	0,2200	1,5539	26,5600	32,52
Quebrada Roper - Alto El Picacho	16,56	19,38	1900,00	1200,00	1463,57	1481,16	0,2900	1,3434	89,4700	17,11
Quebrada Roper - Municipio de San Benito	58,34	40,45	-	-	-	-	-	-	-	-
Quebrada Alférez - Vereda San Antonio	59,64	37,76	2550,00	1000,00	1951,70	1869,38	0,2169	1,3793	31,3455	17,84
Quebrada Macaligu - Quebrada Morreno	37,12	28,06	2750,00	950,00	1784,66	1780,45	0,2587	1,2994	47,9695	13,76
Quebrada Chimera - Vereda San Antonio de la Piedra	56,50	39,93	3400,00	1150,00	2460,23	2354,08	0,1600	1,4985	41,6300	16,51
Quebrada La Colorada	25,68	23,32	3030,94	1150,00	2048,70	2027,72	0,1400	1,2982	78,9500	13,24
Quebrada Sardinias	18,07	20,41	2150,00	950,00	1485,56	1465,68	0,2500	1,3544	81,0200	8,28
Quebrada Chimera - Vereda Piedras	7,86	15,69	2300,00	950,00	1382,02	1428,10	0,1800	1,5787	181,6200	6,72
Quebrada Chimera - Batallón Ingenieros Baraya	2,65	8,46	1300,00	950,00	1021,92	1028,80	0,8400	1,4660	388,1300	5,78
Quebrada La Pava	45,96	79,72	2000,00	950,00	-	-	-	-	-	-
Quebrada Barichara - Mun. Barichara y Villanueva	102,14	54,81	1800,00	500,00	1514,35	1438,31	0,2100	1,5299	14,0800	27,73

## ANEXO D

Anexos D Parámetros morfométricos relacionados con la red de drenaje para las segundas divisiones de la cuenca baja del Río Suárez.

CUENCA RÍO SUÁREZ										
Segunda División	Long. [Km]	Recorrido Max. [Km]	Pte Cuenca [%]		Orden	Long Red. [Km]	Densidad	Alejam.	Pte Cauce [%]	
			Media	Alvord					Ext.	Taylor
Quebrada Pao - Zona Alta	13,05	14,40	46,84	54,30	5	164,85	2,81	1,71	16,25	7,50
Quebrada Del Medio	8,58	9,05	50,72	59,80	4	62,94	2,98	1,87	21,16	14,99
Quebrada Pao - Zona Baja	7,61	7,93	29,44	39,80	3	37,18	2,84	2,10	15,77	13,15
Río Suárez - Municipio de Zapatoca	12,16	20,15	27,55	33,10	5	337,33	2,91	1,13	0,51	0,38
Quebrada Vigueche	11,29	11,64	51,90	58,90	4	105,74	2,39	1,70	19,42	13,66
Quebrada Chiriviti - Zona Alta	12,49	13,68	56,00	63,30	4	88,18	2,12	1,94	17,58	12,10
Quebrada Chiriviti - Zona Baja	6,79	7,24	26,10	33,70	2	12,98	1,41	2,24	11,51	11,13
Río Suárez - Quebrada Chinantoca	3,42	6,04	29,97	35,00	4	20,61	2,73	1,25	14,46	4,82
Río Suárez - Quebrada Honda	5,62	11,61	22,05	26,10	3	61,76	1,78	0,95	9,44	3,79
Quebrada La Vega - Zona Alta	22,93	22,99	48,56	56,90	5	268,64	2,63	2,27	10,29	7,09
Quebrada Cinco Mil	18,09	18,74	49,19	58,10	4	174,95	2,26	2,06	14,39	9,49
Quebrada La Vega - Zona Baja	1,84	3,48	16,09	19,80	1	1,84	0,71	1,15	4,88	4,55
Río Suárez - Inspección de Policía El Diamante	14,27	17,56	28,61	33,20	5	255,92	1,84	1,21	0,96	0,87
Quebrada Santa Rosa - Zona Alta	16,64	17,20	52,74	62,40	5	183,33	2,82	2,06	13,62	10,59
Quebrada Guamatá	16,13	16,22	45,00	54,40	4	101,54	2,40	2,48	14,69	10,32
Quebrada Santa Rosa - Zona Baja	3,30	5,62	19,81	26,40	2	9,26	1,36	1,27	2,11	1,66
Río Suárez - Municipio de Palmas	4,08	17,67	14,80	21,08	5	149,06	1,87	0,46	0,61	0,61
Río Suárez - Escuela Vereda Tamacara	6,12	8,59	20,03	24,00	4	53,86	1,48	1,01	1,02	0,79
Río Suárez - Vereda Carota	3,73	13,34	19,11	24,50	3	36,63	1,30	0,70	1,00	0,78
Río Suárez - Municipio de Guapota	20,34	20,70	17,68	23,90	5	269,53	1,90	1,71	4,58	2,05
Río Oibita - Inspección de Policía Virolin	27,56	28,34	28,32	33,80	5	175,97	1,15	2,23	5,44	1,50
Río Santuario	22,04	23,25	14,30	23,60	4	123,89	1,58	2,49	1,19	0,45
Río Oibita - Quebrada Aguaidi	22,72	23,31	16,08	24,70	5	161,76	1,63	2,28	2,20	0,14
Quebrada Guayana	33,18	31,89	15,54	25,40	5	227,79	1,66	2,83	1,44	0,75
Río Oibita - Municipio de Guadalupe	25,66	-	-	-	4	-	-	2,20	-	-
Río Tolotá - Zona Alta	36,75	38,05	25,99	32,40	4	189,84	1,16	2,87	3,14	1,90
Río Tolotá - Zona Baja	30,99	31,36	16,15	24,20	5	207,77	1,64	2,75	2,77	0,81
Río Palermo	22,80	24,21	40,78	48,80	5	281,30	2,15	1,99	7,78	4,22
Río Chino Teno	10,47	11,63	48,88	57,80	5	164,66	2,59	1,31	15,52	7,21
Río Huertas - Vereda El Palmar	20,38	22,93	27,74	36,20	4	219,04	1,92	1,91	2,45	2,24
Río Gámbita - Zona Alta	14,16	15,26	26,97	34,70	5	112,48	2,33	2,04	5,80	4,15
Quebrada Las Delicias	19,87	20,00	22,19	32,10	4	225,56	3,31	2,41	8,03	3,82
Río Gámbita - Zona Baja	4,89	7,03	24,21	31,70	3	23,47	2,26	1,52	1,02	0,85
Río Huertas - Municipio de Gambita	13,69	14,78	26,40	35,40	4	91,52	2,41	2,22	3,62	1,79
Río Riachuelo	26,50	27,09	20,76	29,40	4	182,83	1,77	2,61	3,87	1,51
Río Lenguaruco - Vereda Simeon	10,06	12,45	18,82	25,70	3	155,89	3,01	1,40	3,58	2,34
Río Lenguaruco - Municipios de Santana y Suaita	1,15	2,74	25,24	31,90	4	4,85	2,47	0,82	2,18	2,18
Laguna El Palmar - Cuenca Endorreica	3,77	-	-	-	-	-	-	1,15	-	-
Río El Valle	14,06	15,81	47,11	54,80	4	130,23	1,26	1,38	8,49	6,74
Río Chuqueque	14,94	15,24	36,68	43,40	5	120,58	2,11	1,98	9,40	1,83
Río Uvasa - Río La Palma	15,43	15,93	28,42	35,60	5	207,19	2,42	1,67	0,97	0,21
Río Uvasa - Unión con el Río Chuqueque	16,08	16,08	29,76	37,60	4	76,86	1,85	2,50	2,07	2,76
Río Togui	11,85	13,84	24,85	33,40	3	60,46	1,46	1,84	6,58	3,15
Río Uvasa - Municipio de Togui - Boyacá	2,35	2,96	9,96	16,90	2	3,14	1,67	1,71	2,26	1,51
Río Arcabuco - Zona Alta	14,05	16,38	19,30	25,80	4	85,77	1,16	1,64	1,42	0,88
Río Arcabuco - Zona Baja	19,58	20,06	33,79	40,70	5	122,19	1,77	2,36	2,42	1,89
Río Pomeca	22,15	24,07	17,07	25,40	5	136,51	1,65	2,43	3,67	2,10
Río Uvasa - Desembocadura	10,75	13,12	16,92	24,10	5	105,57	2,55	1,67	0,83	0,73
Río Suárez - Municipio de San José de Pare	15,80	15,70	15,69	21,00	5	188,02	2,74	1,91	4,99	3,23
Río Suárez - Municipio de Santana	15,79	18,89	16,79	22,80	5	166,03	2,14	1,79	1,84	1,66
Río Suárez - Quebrada La Chapa	-	-	-	-	-	-	-	-	-	-
Río Suárez - Municipio de Aguada	1,38	2,69	20,71	32,00	4	13,17	5,27	0,87	2,72	2,33
Río Suárez - Vereda El Helechal	8,50	9,30	34,38	42,10	5	83,92	2,75	1,54	3,74	0,14
Quebrada Agua Fria - Vereda Alto del Tigre	9,10	10,87	50,08	60,50	4	88,40	3,30	1,76	8,87	5,10
Río Suárez - Municipio de Guadalupe	37,71	2,34	23,85	28,60	3	1,58	0,65	24,14	3,17	2,16
Río Suárez - Región Santa Manga	10,45	12,01	38,87	47,20	4	83,13	2,69	1,88	0,12	0,12
Río Suárez - Escuela Sabaneta	1,76	3,58	25,39	34,10	3	6,84	1,82	0,91	0,57	0,57
Río Suárez - Casa El Coco	4,18	-	-	-	-	-	-	1,47	-	-
Quebrada Ropero - Municipio de Velez	18,94	19,15	17,20	22,60	5	182,00	3,76	2,72	7,31	4,24
Quebrada Atilera	13,36	13,86	21,35	27,00	5	170,57	2,89	1,74	9,65	6,23
Quebrada Tormenta	12,90	12,80	24,62	33,40	4	93,00	2,45	2,10	10,32	7,33
Quebrada Ropero - Vereda San Isidro	9,18	11,11	22,44	31,10	4	63,98	2,76	1,91	0,54	0,42
Quebrada Gran Cura	20,96	21,27	20,99	35,00	5	240,36	3,37	2,48	4,23	1,87
Quebrada Ropero - Alto El Picacho	5,49	8,27	27,18	37,60	5	68,42	4,13	1,35	0,91	0,68
Quebrada Ropero - Municipio de San Benito	12,36	-	-	-	-	-	-	1,62	-	-
Quebrada Alférez - Vereda San Antonio	16,21	16,42	33,49	41,70	4	188,67	3,16	2,10	9,25	5,46
Quebrada Macaligua - Quebrada Morreno	11,43	12,59	44,64	51,60	4	112,90	3,04	1,88	8,42	6,30
Quebrada Chimera - Vereda San Antonio de la Piedra	19,34	19,61	55,37	63,00	5	224,69	3,98	2,57	10,78	9,26
Quebrada La Colorada	14,01	14,22	50,94	58,30	4	70,35	2,74	2,76	12,72	8,63
Quebrada Sardinias	7,57	8,46	39,73	48,60	4	45,00	2,49	1,78	12,42	8,52
Quebrada Chimera - Vereda Piedras	3,97	7,61	57,78	64,20	3	19,51	2,48	1,42	4,40	4,03
Quebrada Chimera - Batallón Ingenieros Baraya	1,49	3,13	21,93	29,40	2	3,55	1,34	0,92	0,84	0,84
Quebrada La Pava	-	-	-	-	-	-	-	-	-	-
Quebrada Barichara - Mun. Barichara y Villanueva	22,18	22,95	12,07	19,40	5	242,96	2,38	2,19	5,72	3,20